

Rapports de modélisation

Scénarios dans l'ordre :

- Incendies (logiciel FLUMILOG) :
 - I1 : benne de carton
 - I2 : benne de plastique
 - I3 : stockage de déchets verts
 - I4 : stockage de bois A
 - I5 : stockage de bois B
 - I6 : stockage de plastique
 - I7 : stockage de DEEE
 - I8 : stockage de DAE et d'encombrants
 - I9 : ressourcerie
 - I10 : plateforme PAM
 - I11 : stock de charbon actif usagé
 - I12 : stock de charbon actif neuf
 - I13 : container moteur de valorisation biogaz
 - I14 : casier en cours d'exploitation
 - I15 : plateforme de compostage
- Jet enflammé (logiciel PHAST) :
 - J1 : fuite sur les canalisations en surpression de l'unité VBTL
- Fumées d'incendie (logiciel PHAST) :
 - F1 : fumées d'incendie de la déchèterie et de la ressourcerie
 - F2 : fumées d'incendie sur la plateforme PAM
 - F3 : fumées d'incendie sur le casier en exploitation
- Rejets toxiques (logiciel PHAST) :
 - T1 : rupture guillotine d'une canalisation extérieure de biogaz
 - T2 : dysfonctionnement de la torchère
- Explosions (logiciel PHAST) :
 - E1 : rupture guillotine d'une canalisation extérieure de biogaz
 - E2 : fuite d'une canalisation de biogaz
 - E3 : dysfonctionnement de la torchère

Note n°1 : les rapports complets des modélisations PHAST étant très importants (plusieurs centaines de page), il n'est renseigné ici que les rapports des données d'entrée de chaque scénario.

Note n°2 : les deux derniers scénarios d'explosion (E4 et E5) ont été modélisés via des outils de calcul internes intégrant des modèles reconnus. Il n'y a pas de rapport de modélisation disponible.



Interface graphique v.5.3.1.1

Outil de calculV5.3

Flux Thermiques

Détermination des distances d'effets

| | |
|--|---|
| Utilisateur : | |
| Société : | EODD |
| Nom du Projet : | I1-Carton_1 |
| Cellule : | Compacteur carton déchèterie |
| Commentaire : | |
| Création du fichier de données d'entrée : | 27/01/2020 à 13:47:28 avec l'interface graphique v. 5.3.1.1 |
| Date de création du fichier de résultats : | 27/1/20 |

I. DONNEES D'ENTREE :

Donnée Cible

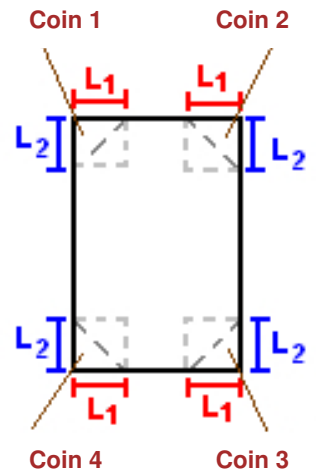
Hauteur de la cible : **1.8** m

Stockage à l'air libre

Oui

Géométrie Cellule1

| Nom de la Cellule :Cellule n°1 | | | | |
|--|--------------------|------------|------------|--|
| Longueur maximum de la zone de stockage(m) | | 5.4 | | |
| Largeur maximum de la zone de stockage (m) | | 2.5 | | |
| Coin 1 | non tronqué | L1 (m) | 0.0 | |
| | | L2 (m) | 0.0 | |
| Coin 2 | non tronqué | L1 (m) | 0.0 | |
| | | L2 (m) | 0.0 | |
| Coin 3 | non tronqué | L1 (m) | 0.0 | |
| | | L2 (m) | 0.0 | |
| Coin 4 | non tronqué | L1 (m) | 0.0 | |
| | | L2 (m) | 0.0 | |



Stockage de la cellule : Cellule n°1

Mode de stockage

Masse

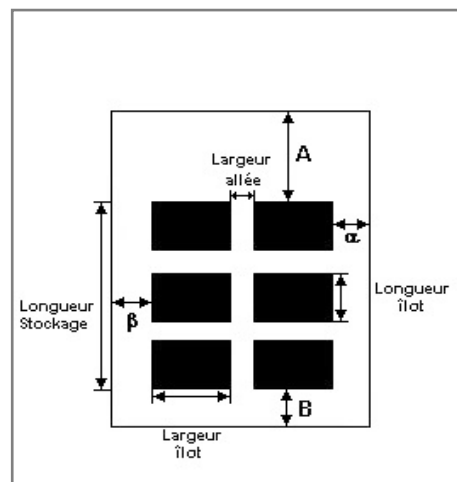
Dimensions

Longueur de préparation A 0.0 m

Longueur de préparation B 0.0 m

Déport latéral α 0.0 m

Déport latéral β 0.0 m



Stockage en masse

Nombre d'îlots dans le sens de la longueur 1

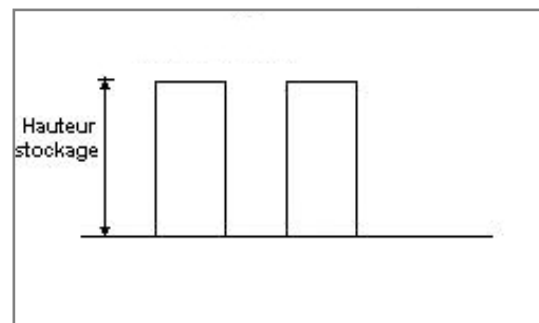
Nombre d'îlots dans le sens de la largeur 1

Largeur des îlots 2.5 m

Longueur des îlots 5.4 m

Hauteur des îlots 1.5 m

Largeur des allées entre îlots 0.0 m



Palette type de la cellule Cellule n°1

Dimensions Palette

Longueur de la palette : 2.5 m

Largeur de la palette : 5.4 m

Hauteur de la palette : 1.5 m

Volume de la palette : 20.3 m³

Nom de la palette :

Poids total de la palette : 11135.0 kg

Composition de la Palette (Masse en kg)

| | | | | | | |
|---------|-----|-----|-----|-----|-----|-----|
| Carton | NC | NC | NC | NC | NC | NC |
| 11135.0 | 0.0 | 0.0 | 0.0 | 0.0 | 0.0 | 0.0 |

| | | | | | | |
|-----|-----|-----|-----|-----|-----|-----|
| NC | NC | NC | NC | NC | NC | NC |
| 0.0 | 0.0 | 0.0 | 0.0 | 0.0 | 0.0 | 0.0 |

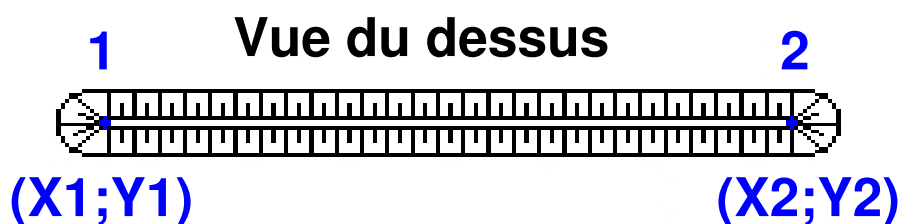
| | | | |
|-----|-----|-----|-----|
| NC | NC | NC | NC |
| 0.0 | 0.0 | 0.0 | 0.0 |

Données supplémentaires

Durée de combustion de la palette : 180.0 min

Puissance dégagée par la palette : 4336.9 kW

Merlons



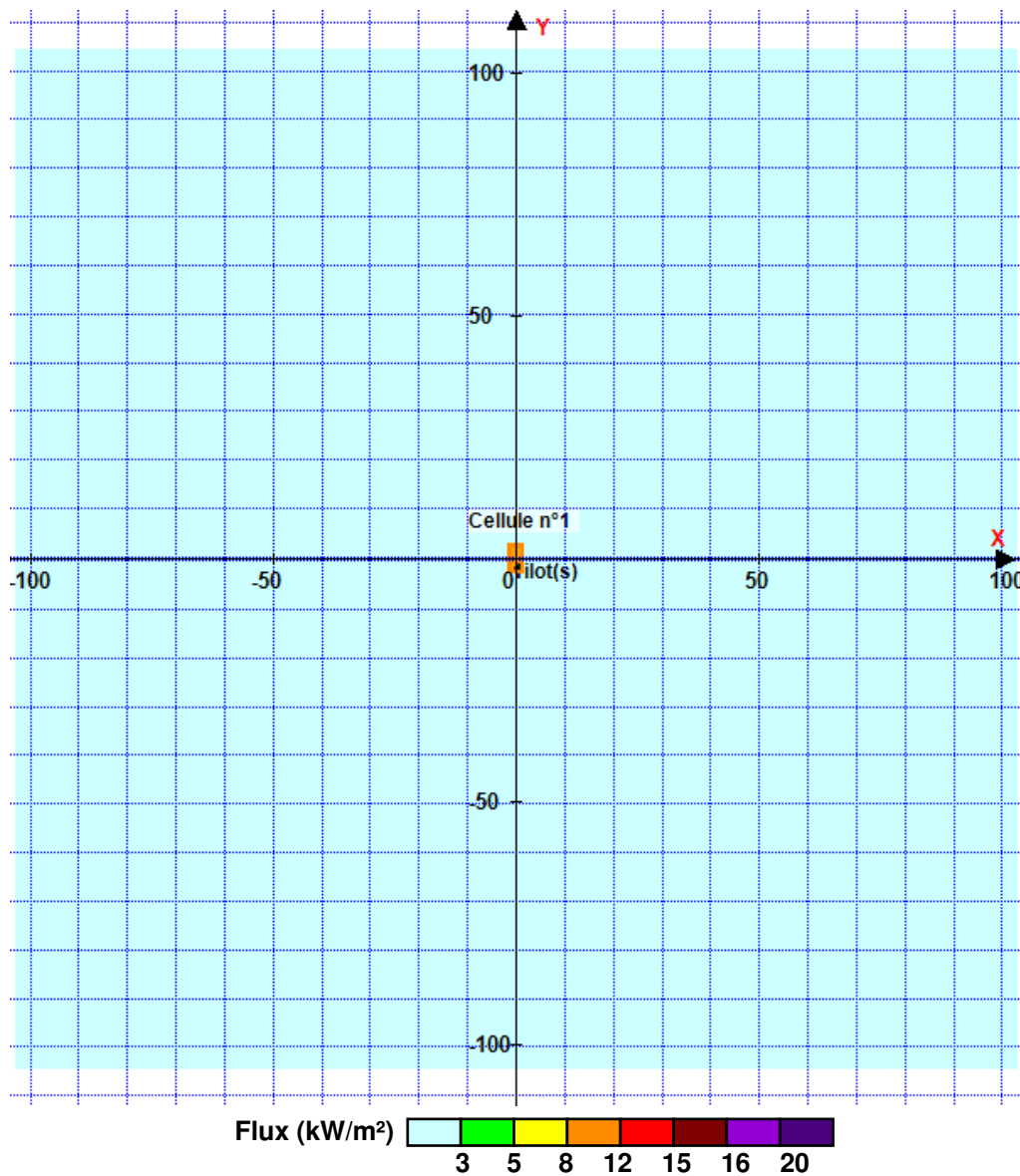
| Merlon n° | Hauteur (m) | Coordonnées du premier point | | Coordonnées du deuxième point | |
|-----------|-------------|------------------------------|--------|-------------------------------|--------|
| | | X1 (m) | Y1 (m) | X2 (m) | Y2 (m) |
| 1 | 0.0 | 0.0 | 0.0 | 0.0 | 0.0 |
| 2 | 0.0 | 0.0 | 0.0 | 0.0 | 0.0 |
| 3 | 0.0 | 0.0 | 0.0 | 0.0 | 0.0 |
| 4 | 0.0 | 0.0 | 0.0 | 0.0 | 0.0 |
| 5 | 0.0 | 0.0 | 0.0 | 0.0 | 0.0 |
| 6 | 0.0 | 0.0 | 0.0 | 0.0 | 0.0 |
| 7 | 0.0 | 0.0 | 0.0 | 0.0 | 0.0 |
| 8 | 0.0 | 0.0 | 0.0 | 0.0 | 0.0 |
| 9 | 0.0 | 0.0 | 0.0 | 0.0 | 0.0 |
| 10 | 0.0 | 0.0 | 0.0 | 0.0 | 0.0 |
| 11 | 0.0 | 0.0 | 0.0 | 0.0 | 0.0 |
| 12 | 0.0 | 0.0 | 0.0 | 0.0 | 0.0 |
| 13 | 0.0 | 0.0 | 0.0 | 0.0 | 0.0 |
| 14 | 0.0 | 0.0 | 0.0 | 0.0 | 0.0 |
| 15 | 0.0 | 0.0 | 0.0 | 0.0 | 0.0 |
| 16 | 0.0 | 0.0 | 0.0 | 0.0 | 0.0 |
| 17 | 0.0 | 0.0 | 0.0 | 0.0 | 0.0 |
| 18 | 0.0 | 0.0 | 0.0 | 0.0 | 0.0 |
| 19 | 0.0 | 0.0 | 0.0 | 0.0 | 0.0 |
| 20 | 0.0 | 0.0 | 0.0 | 0.0 | 0.0 |

II. RESULTATS :

Départ de l'incendie dans la cellule : **Cellule n°1**

Durée de l'incendie dans la cellule : Cellule n°1 **184.0** min

Distance d'effets des flux maximum



Pour information : Dans l'environnement proche de la flamme, le transfert convectif de chaleur ne peut être négligé. Il est donc préconisé pour de faibles distances d'effets comprises entre 1 et 5 m de retenir une distance d'effets de 5 m et pour celles comprises entre 6 m et 10 m de retenir 10 m.



Interface graphique v.5.3.1.1

Outil de calcul V5.3

Flux Thermiques

Détermination des distances d'effets

| | |
|--|---|
| Utilisateur : | |
| Société : | EODD |
| Nom du Projet : | I2-Papier_1 |
| Cellule : | Compacteur papier déchèterie |
| Commentaire : | |
| Création du fichier de données d'entrée : | 27/01/2020 à 18:02:09 avec l'interface graphique v. 5.3.1.1 |
| Date de création du fichier de résultats : | 27/1/20 |

I. DONNEES D'ENTREE :

Donnée Cible

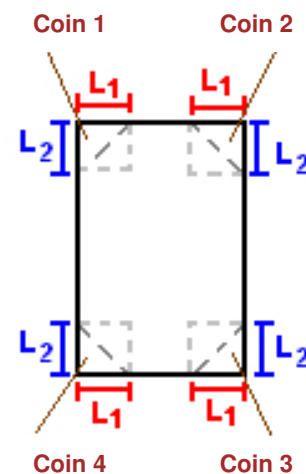
Hauteur de la cible : **1.8** m

Stockage à l'air libre

Oui

Géométrie Cellule1

| Nom de la Cellule :Cellule n°1 | | | | |
|--|--------------------|------------|------------|--|
| Longueur maximum de la zone de stockage(m) | | 5.4 | | |
| Largeur maximum de la zone de stockage (m) | | 2.5 | | |
| Coin 1 | non tronqué | L1 (m) | 0.0 | |
| | | L2 (m) | 0.0 | |
| Coin 2 | non tronqué | L1 (m) | 0.0 | |
| | | L2 (m) | 0.0 | |
| Coin 3 | non tronqué | L1 (m) | 0.0 | |
| | | L2 (m) | 0.0 | |
| Coin 4 | non tronqué | L1 (m) | 0.0 | |
| | | L2 (m) | 0.0 | |



Stockage de la cellule : Cellule n°1

Mode de stockage

Masse

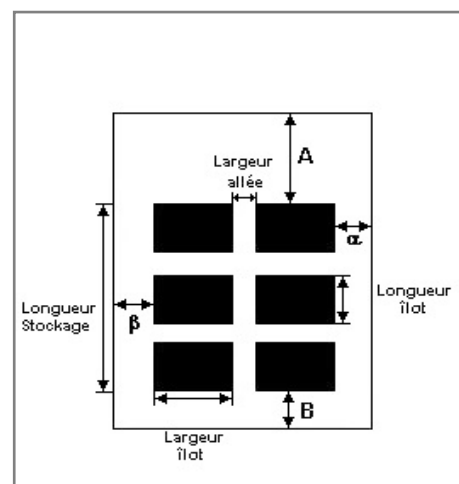
Dimensions

Longueur de préparation A 0.0 m

Longueur de préparation B 0.0 m

Déport latéral α 0.0 m

Déport latéral β 0.0 m



Stockage en masse

Nombre d'îlots dans le sens de la longueur 1

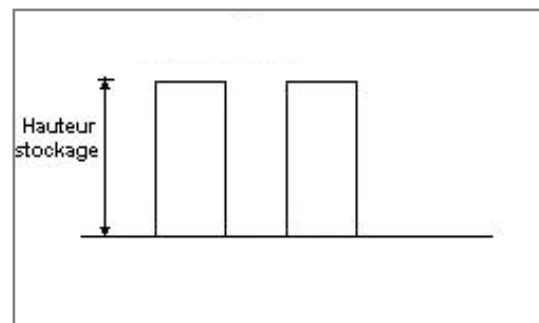
Nombre d'îlots dans le sens de la largeur 1

Largeur des îlots 2.5 m

Longueur des îlots 5.4 m

Hauteur des îlots 1.5 m

Largeur des allées entre îlots 0.0 m



Palette type de la cellule Cellule n°1

Dimensions Palette

Longueur de la palette : 2.5 m

Largeur de la palette : 5.4 m

Hauteur de la palette : 1.5 m

Volume de la palette : 20.3 m³

Nom de la palette :

Poids total de la palette : 11135.0 kg

Composition de la Palette (Masse en kg)

| | | | | | | |
|---------|-----|-----|-----|-----|-----|-----|
| Carton | NC | NC | NC | NC | NC | NC |
| 11135.0 | 0.0 | 0.0 | 0.0 | 0.0 | 0.0 | 0.0 |

| | | | | | | |
|-----|-----|-----|-----|-----|-----|-----|
| NC | NC | NC | NC | NC | NC | NC |
| 0.0 | 0.0 | 0.0 | 0.0 | 0.0 | 0.0 | 0.0 |

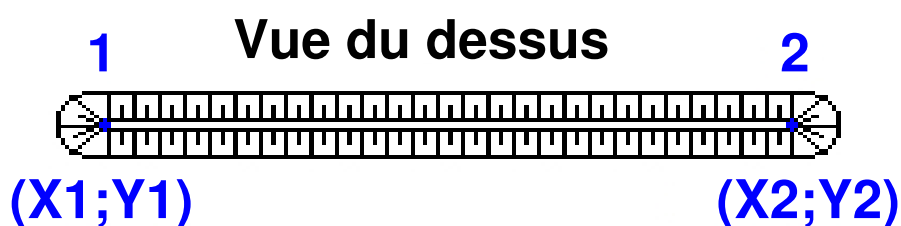
| | | | |
|-----|-----|-----|-----|
| NC | NC | NC | NC |
| 0.0 | 0.0 | 0.0 | 0.0 |

Données supplémentaires

Durée de combustion de la palette : 180.0 min

Puissance dégagée par la palette : 4336.9 kW

Merlons



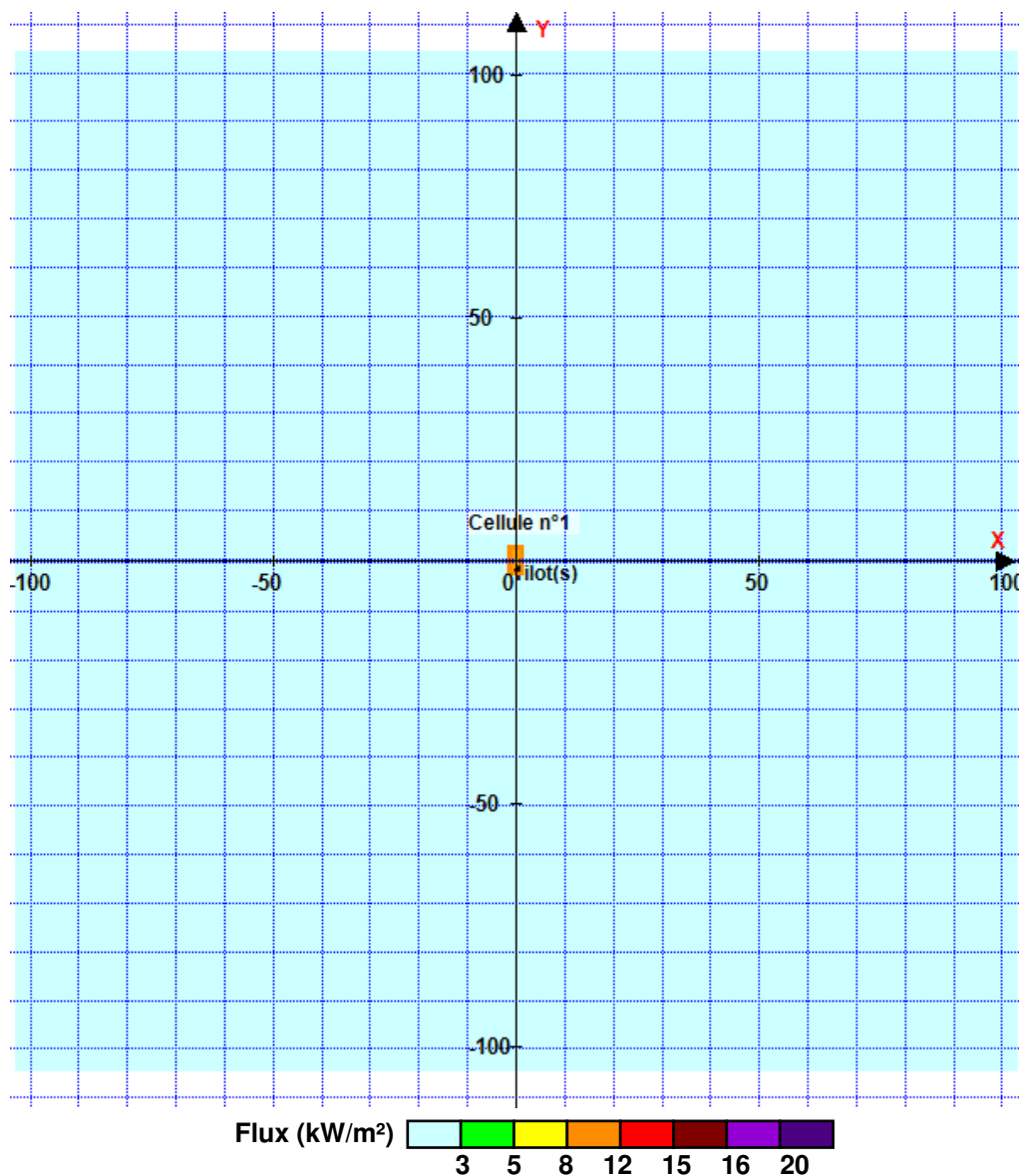
| Merlon n° | Hauteur (m) | Coordonnées du premier point | | Coordonnées du deuxième point | |
|-----------|-------------|------------------------------|--------|-------------------------------|--------|
| | | X1 (m) | Y1 (m) | X2 (m) | Y2 (m) |
| 1 | 0.0 | 0.0 | 0.0 | 0.0 | 0.0 |
| 2 | 0.0 | 0.0 | 0.0 | 0.0 | 0.0 |
| 3 | 0.0 | 0.0 | 0.0 | 0.0 | 0.0 |
| 4 | 0.0 | 0.0 | 0.0 | 0.0 | 0.0 |
| 5 | 0.0 | 0.0 | 0.0 | 0.0 | 0.0 |
| 6 | 0.0 | 0.0 | 0.0 | 0.0 | 0.0 |
| 7 | 0.0 | 0.0 | 0.0 | 0.0 | 0.0 |
| 8 | 0.0 | 0.0 | 0.0 | 0.0 | 0.0 |
| 9 | 0.0 | 0.0 | 0.0 | 0.0 | 0.0 |
| 10 | 0.0 | 0.0 | 0.0 | 0.0 | 0.0 |
| 11 | 0.0 | 0.0 | 0.0 | 0.0 | 0.0 |
| 12 | 0.0 | 0.0 | 0.0 | 0.0 | 0.0 |
| 13 | 0.0 | 0.0 | 0.0 | 0.0 | 0.0 |
| 14 | 0.0 | 0.0 | 0.0 | 0.0 | 0.0 |
| 15 | 0.0 | 0.0 | 0.0 | 0.0 | 0.0 |
| 16 | 0.0 | 0.0 | 0.0 | 0.0 | 0.0 |
| 17 | 0.0 | 0.0 | 0.0 | 0.0 | 0.0 |
| 18 | 0.0 | 0.0 | 0.0 | 0.0 | 0.0 |
| 19 | 0.0 | 0.0 | 0.0 | 0.0 | 0.0 |
| 20 | 0.0 | 0.0 | 0.0 | 0.0 | 0.0 |

II. RESULTATS :

Départ de l'incendie dans la cellule : **Cellule n°1**

Durée de l'incendie dans la cellule : Cellule n°1 **184.0** min

Distance d'effets des flux maximum



Pour information : Dans l'environnement proche de la flamme, le transfert convectif de chaleur ne peut être négligé. Il est donc préconisé pour de faibles distances d'effets comprises entre 1 et 5 m de retenir une distance d'effets de 5 m et pour celles comprises entre 6 m et 10 m de retenir 10 m.



Interface graphique v.5.3.1.1

Outil de calculV5.3

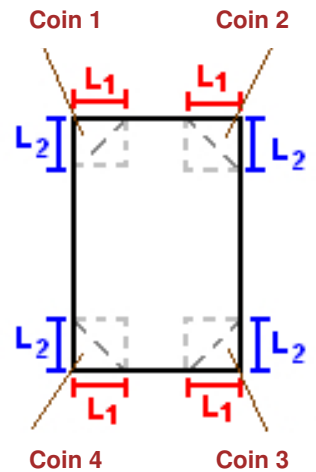
Flux Thermiques

Détermination des distances d'effets

| | |
|--|---|
| Utilisateur : | |
| Société : | EODD |
| Nom du Projet : | I3-Dechets_verts_ss_mur_1 |
| Cellule : | Incendie de déchets verts sur la déchèterie |
| Commentaire : | Scénario sans les murs CF |
| Création du fichier de données d'entrée : | 06/03/2020 à 13:44:26 avec l'interface graphique v. 5.3.1.1 |
| Date de création du fichier de résultats : | 6/3/20 |

I. DONNEES D'ENTREE :**Donnée Cible**Hauteur de la cible : **1.8** m**Stockage à l'air libre****Oui****Géométrie Cellule1**

| Nom de la Cellule :Cellule n°1 | | | | |
|--|--------------------|------------|------------|--|
| Longueur maximum de la zone de stockage(m) | | 7.5 | | |
| Largeur maximum de la zone de stockage (m) | | 4.4 | | |
| Coin 1 | non tronqué | L1 (m) | 0.0 | |
| | | L2 (m) | 0.0 | |
| Coin 2 | non tronqué | L1 (m) | 0.0 | |
| | | L2 (m) | 0.0 | |
| Coin 3 | non tronqué | L1 (m) | 0.0 | |
| | | L2 (m) | 0.0 | |
| Coin 4 | non tronqué | L1 (m) | 0.0 | |
| | | L2 (m) | 0.0 | |



Stockage de la cellule : Cellule n°1

Mode de stockage

Masse

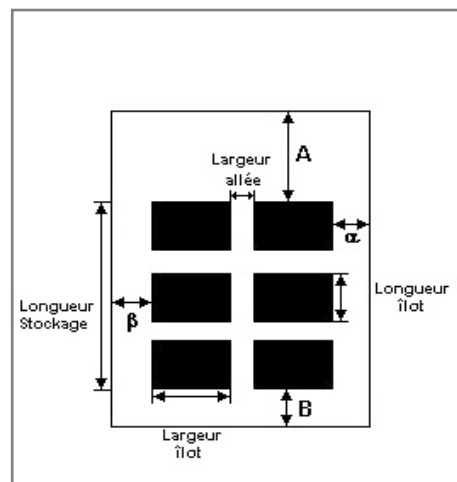
Dimensions

Longueur de préparation A 0.0 m

Longueur de préparation B 0.0 m

Déport latéral α 0.0 m

Déport latéral β 0.0 m



Stockage en masse

Nombre d'îlots dans le sens de la longueur 1

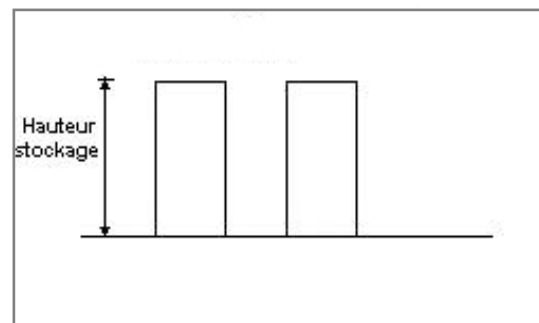
Nombre d'îlots dans le sens de la largeur 1

Largeur des îlots 4.4 m

Longueur des îlots 7.5 m

Hauteur des îlots 3.0 m

Largeur des allées entre îlots 0.0 m



Palette type de la cellule Cellule n°1

Dimensions Palette

Longueur de la palette : 2.0 m

Largeur de la palette : 2.0 m

Hauteur de la palette : 3.0 m

Volume de la palette : 12.0 m³

Nom de la palette :

Poids total de la palette : 5500.0 kg

Composition de la Palette (Masse en kg)

| Bois | Eau | NC | NC | NC | NC | NC |
|--------|-------|-----|-----|-----|-----|-----|
| 5000.0 | 500.0 | 0.0 | 0.0 | 0.0 | 0.0 | 0.0 |

| NC | NC | NC | NC | NC | NC | NC |
|-----|-----|-----|-----|-----|-----|-----|
| 0.0 | 0.0 | 0.0 | 0.0 | 0.0 | 0.0 | 0.0 |

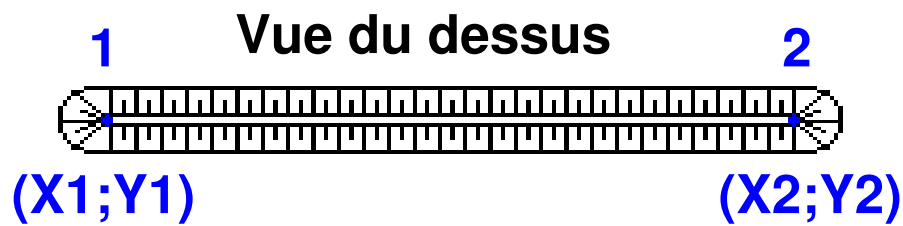
| NC | NC | NC | NC |
|-----|-----|-----|-----|
| 0.0 | 0.0 | 0.0 | 0.0 |

Données supplémentaires

Durée de combustion de la palette : 105.0 min

Puissance dégagée par la palette : 1164.8 kW

Merlons



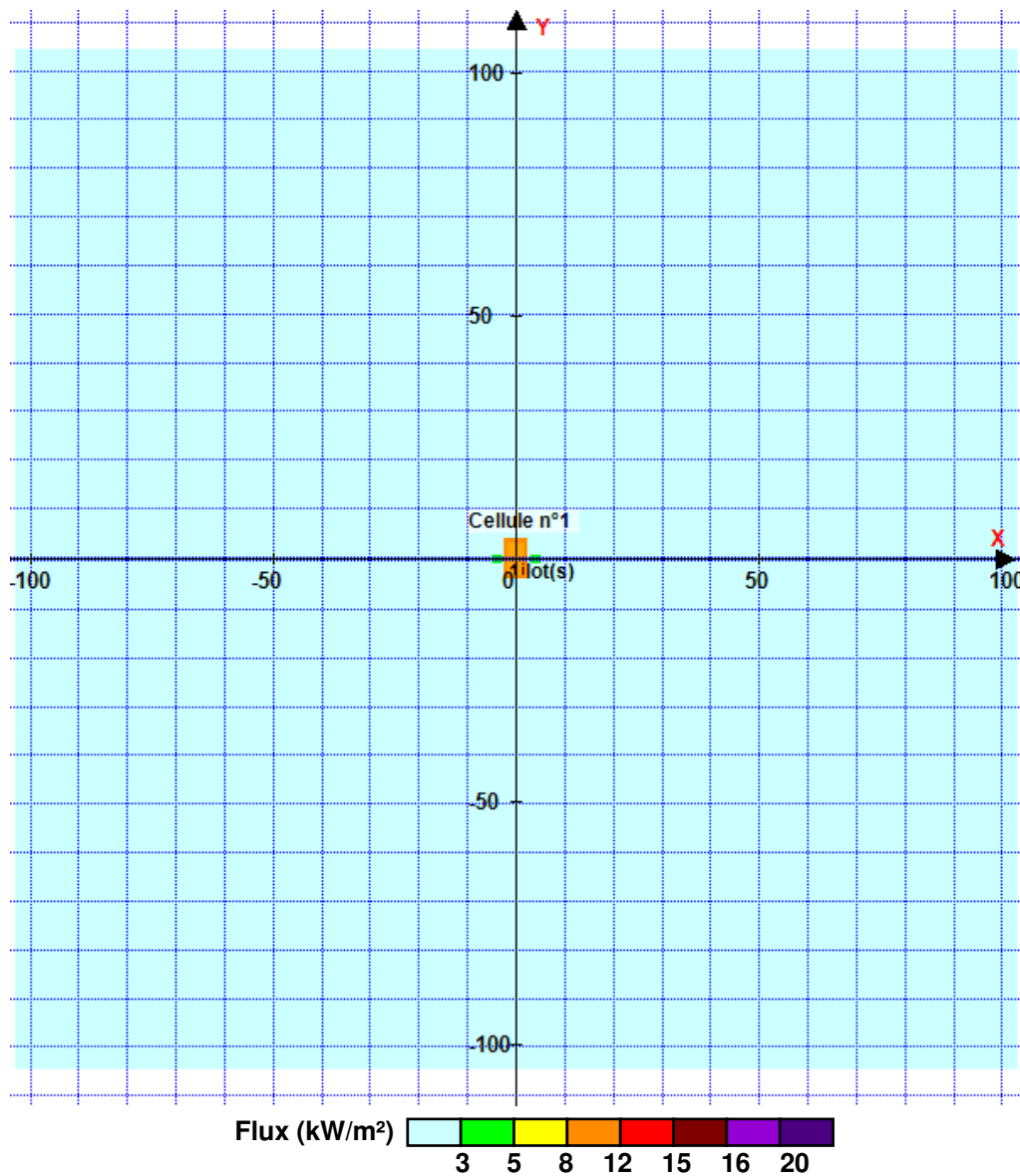
| Merlon n° | Hauteur (m) | Coordonnées du premier point | | Coordonnées du deuxième point | |
|-----------|-------------|------------------------------|--------|-------------------------------|--------|
| | | X1 (m) | Y1 (m) | X2 (m) | Y2 (m) |
| 1 | 0.0 | 0.0 | 0.0 | 0.0 | 0.0 |
| 2 | 0.0 | 0.0 | 0.0 | 0.0 | 0.0 |
| 3 | 0.0 | 0.0 | 0.0 | 0.0 | 0.0 |
| 4 | 0.0 | 0.0 | 0.0 | 0.0 | 0.0 |
| 5 | 0.0 | 0.0 | 0.0 | 0.0 | 0.0 |
| 6 | 0.0 | 0.0 | 0.0 | 0.0 | 0.0 |
| 7 | 0.0 | 0.0 | 0.0 | 0.0 | 0.0 |
| 8 | 0.0 | 0.0 | 0.0 | 0.0 | 0.0 |
| 9 | 0.0 | 0.0 | 0.0 | 0.0 | 0.0 |
| 10 | 0.0 | 0.0 | 0.0 | 0.0 | 0.0 |
| 11 | 0.0 | 0.0 | 0.0 | 0.0 | 0.0 |
| 12 | 0.0 | 0.0 | 0.0 | 0.0 | 0.0 |
| 13 | 0.0 | 0.0 | 0.0 | 0.0 | 0.0 |
| 14 | 0.0 | 0.0 | 0.0 | 0.0 | 0.0 |
| 15 | 0.0 | 0.0 | 0.0 | 0.0 | 0.0 |
| 16 | 0.0 | 0.0 | 0.0 | 0.0 | 0.0 |
| 17 | 0.0 | 0.0 | 0.0 | 0.0 | 0.0 |
| 18 | 0.0 | 0.0 | 0.0 | 0.0 | 0.0 |
| 19 | 0.0 | 0.0 | 0.0 | 0.0 | 0.0 |
| 20 | 0.0 | 0.0 | 0.0 | 0.0 | 0.0 |

II. RESULTATS :

Départ de l'incendie dans la cellule : **Cellule n°1**

Durée de l'incendie dans la cellule : Cellule n°1 **124.0** min

Distance d'effets des flux maximum



Pour information : Dans l'environnement proche de la flamme, le transfert convectif de chaleur ne peut être négligé. Il est donc préconisé pour de faibles distances d'effets comprises entre 1 et 5 m de retenir une distance d'effets de 5 m et pour celles comprises entre 6 m et 10 m de retenir 10 m.



Interface graphique v.5.3.1.1

Outil de calculV5.3

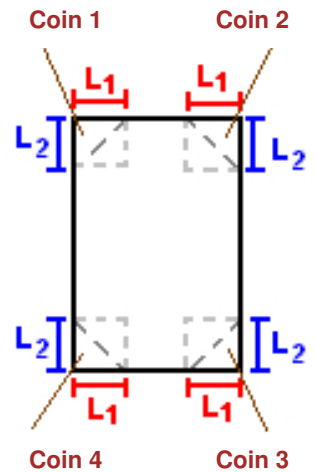
Flux Thermiques

Détermination des distances d'effets

| | |
|--|---|
| Utilisateur : | |
| Société : | EODD |
| Nom du Projet : | I4-Bois_A_ss_mur_1 |
| Cellule : | Incendie de déchets verts sur la déchèterie |
| Commentaire : | Scénario sans les murs CF |
| Création du fichier de données d'entrée : | 06/03/2020 à 13:46:11 avec l'interface graphique v. 5.3.1.1 |
| Date de création du fichier de résultats : | 6/3/20 |

I. DONNEES D'ENTREE :**Donnée Cible**Hauteur de la cible : **1.8** m**Stockage à l'air libre****Oui****Géométrie Cellule1**

| Nom de la Cellule :Cellule n°1 | | | | |
|--|--------------------|------------|------------|--|
| Longueur maximum de la zone de stockage(m) | | 7.5 | | |
| Largeur maximum de la zone de stockage (m) | | 4.4 | | |
| Coin 1 | non tronqué | L1 (m) | 0.0 | |
| | | L2 (m) | 0.0 | |
| Coin 2 | non tronqué | L1 (m) | 0.0 | |
| | | L2 (m) | 0.0 | |
| Coin 3 | non tronqué | L1 (m) | 0.0 | |
| | | L2 (m) | 0.0 | |
| Coin 4 | non tronqué | L1 (m) | 0.0 | |
| | | L2 (m) | 0.0 | |



Stockage de la cellule : Cellule n°1

Mode de stockage

Masse

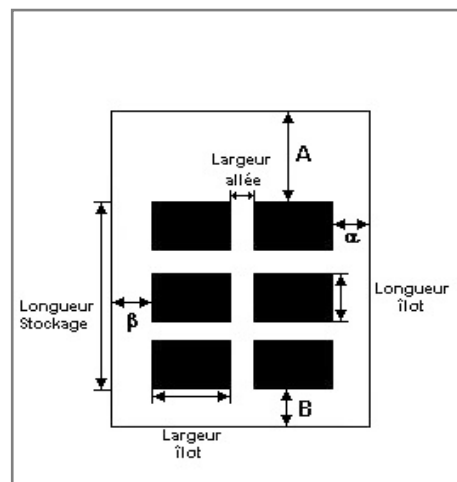
Dimensions

Longueur de préparation A 0.0 m

Longueur de préparation B 0.0 m

Déport latéral α 0.0 m

Déport latéral β 0.0 m



Stockage en masse

Nombre d'îlots dans le sens de la longueur 1

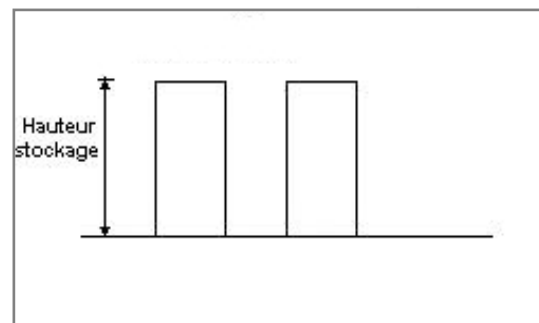
Nombre d'îlots dans le sens de la largeur 1

Largeur des îlots 4.4 m

Longueur des îlots 7.5 m

Hauteur des îlots 3.0 m

Largeur des allées entre îlots 0.0 m



Palette type de la cellule Cellule n°1

Dimensions Palette

Longueur de la palette : 2.0 m

Largeur de la palette : 2.0 m

Hauteur de la palette : 3.0 m

Volume de la palette : 12.0 m³

Nom de la palette :

Poids total de la palette : 6600.0 kg

Composition de la Palette (Masse en kg)

| Palette Bois | NC | NC | NC | NC | NC | NC |
|--------------|-----|-----|-----|-----|-----|-----|
| 6600.0 | 0.0 | 0.0 | 0.0 | 0.0 | 0.0 | 0.0 |

| NC | NC | NC | NC | NC | NC | NC |
|-----|-----|-----|-----|-----|-----|-----|
| 0.0 | 0.0 | 0.0 | 0.0 | 0.0 | 0.0 | 0.0 |

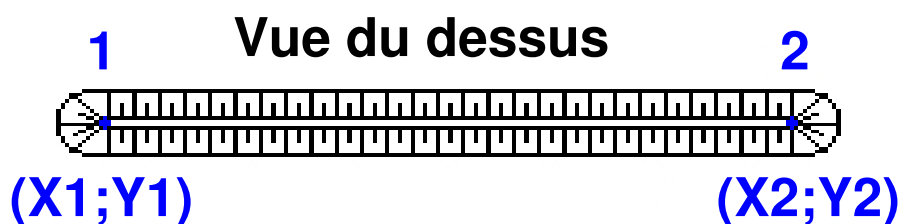
| NC | NC | NC | NC |
|-----|-----|-----|-----|
| 0.0 | 0.0 | 0.0 | 0.0 |

Données supplémentaires

Durée de combustion de la palette : 180.0 min

Puissance dégagée par la palette : 3545.4 kW

Merlons



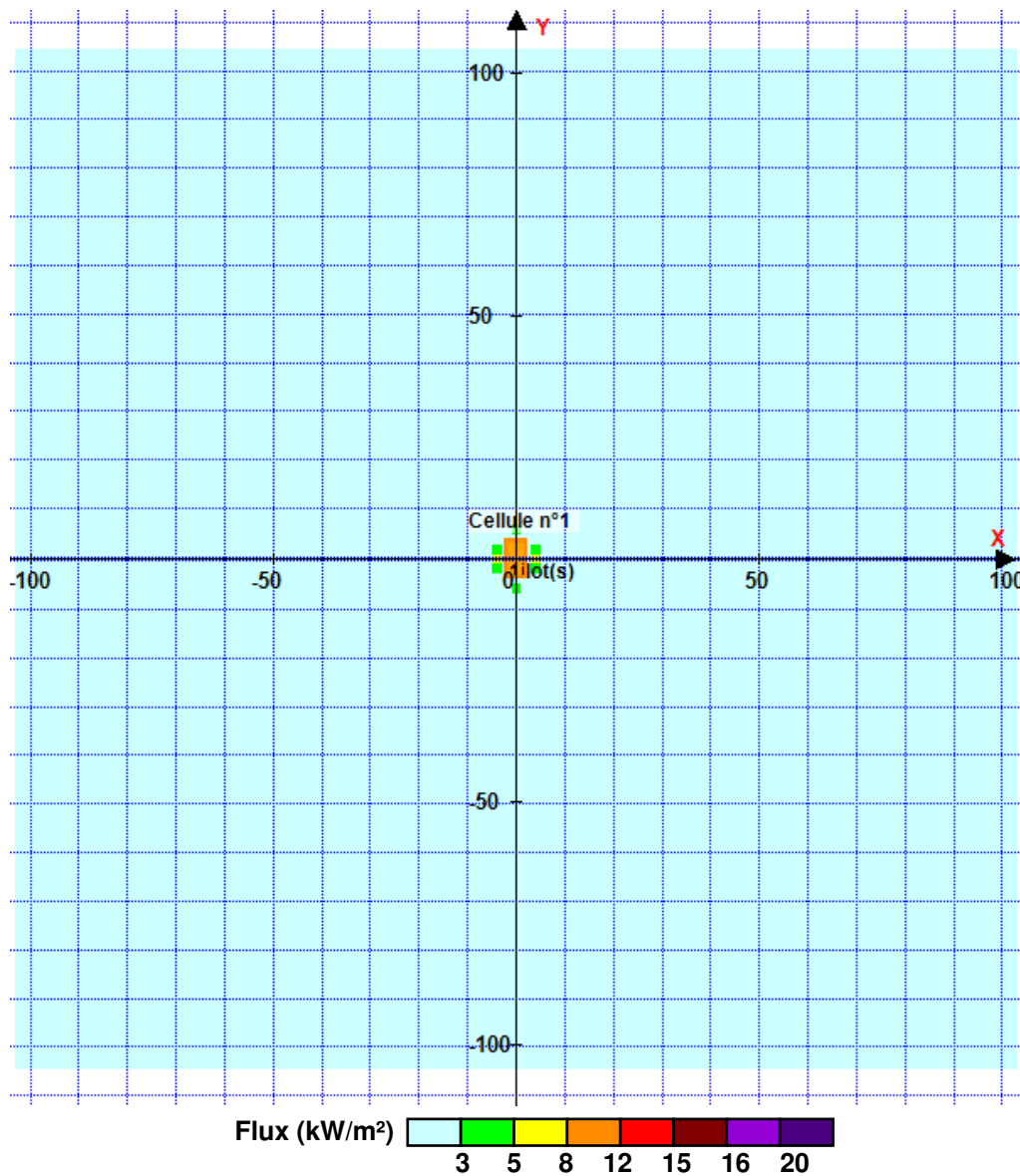
| Merlon n° | Hauteur (m) | Coordonnées du premier point | | Coordonnées du deuxième point | |
|-----------|-------------|------------------------------|--------|-------------------------------|--------|
| | | X1 (m) | Y1 (m) | X2 (m) | Y2 (m) |
| 1 | 0.0 | 0.0 | 0.0 | 0.0 | 0.0 |
| 2 | 0.0 | 0.0 | 0.0 | 0.0 | 0.0 |
| 3 | 0.0 | 0.0 | 0.0 | 0.0 | 0.0 |
| 4 | 0.0 | 0.0 | 0.0 | 0.0 | 0.0 |
| 5 | 0.0 | 0.0 | 0.0 | 0.0 | 0.0 |
| 6 | 0.0 | 0.0 | 0.0 | 0.0 | 0.0 |
| 7 | 0.0 | 0.0 | 0.0 | 0.0 | 0.0 |
| 8 | 0.0 | 0.0 | 0.0 | 0.0 | 0.0 |
| 9 | 0.0 | 0.0 | 0.0 | 0.0 | 0.0 |
| 10 | 0.0 | 0.0 | 0.0 | 0.0 | 0.0 |
| 11 | 0.0 | 0.0 | 0.0 | 0.0 | 0.0 |
| 12 | 0.0 | 0.0 | 0.0 | 0.0 | 0.0 |
| 13 | 0.0 | 0.0 | 0.0 | 0.0 | 0.0 |
| 14 | 0.0 | 0.0 | 0.0 | 0.0 | 0.0 |
| 15 | 0.0 | 0.0 | 0.0 | 0.0 | 0.0 |
| 16 | 0.0 | 0.0 | 0.0 | 0.0 | 0.0 |
| 17 | 0.0 | 0.0 | 0.0 | 0.0 | 0.0 |
| 18 | 0.0 | 0.0 | 0.0 | 0.0 | 0.0 |
| 19 | 0.0 | 0.0 | 0.0 | 0.0 | 0.0 |
| 20 | 0.0 | 0.0 | 0.0 | 0.0 | 0.0 |

II. RESULTATS :

Départ de l'incendie dans la cellule : **Cellule n°1**

Durée de l'incendie dans la cellule : Cellule n°1 **199.0** min

Distance d'effets des flux maximum



Pour information : Dans l'environnement proche de la flamme, le transfert convectif de chaleur ne peut être négligé. Il est donc préconisé pour de faibles distances d'effets comprises entre 1 et 5 m de retenir une distance d'effets de 5 m et pour celles comprises entre 6 m et 10 m de retenir 10 m.



Interface graphique v.5.3.1.1

Outil de calculV5.3

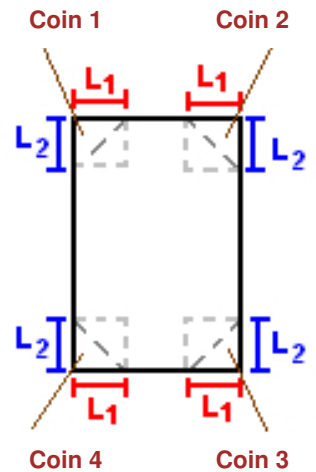
Flux Thermiques

Détermination des distances d'effets

| | |
|--|---|
| Utilisateur : | |
| Société : | EODD |
| Nom du Projet : | I5-Bois_B_ss_mur_1 |
| Cellule : | Incendie de déchets de bois de type B sur la déchèterie |
| Commentaire : | Scénario sans les murs CF |
| Création du fichier de données d'entrée : | 06/03/2020 à 13:48:13 avec l'interface graphique v. 5.3.1.1 |
| Date de création du fichier de résultats : | 6/3/20 |

I. DONNEES D'ENTREE :**Donnée Cible**Hauteur de la cible : **1.8** m**Stockage à l'air libre****Oui****Géométrie Cellule1**

| Nom de la Cellule :Cellule n°1 | | | | |
|--|--------------------|------------|------------|--|
| Longueur maximum de la zone de stockage(m) | | 7.5 | | |
| Largeur maximum de la zone de stockage (m) | | 4.4 | | |
| Coin 1 | non tronqué | L1 (m) | 0.0 | |
| | | L2 (m) | 0.0 | |
| Coin 2 | non tronqué | L1 (m) | 0.0 | |
| | | L2 (m) | 0.0 | |
| Coin 3 | non tronqué | L1 (m) | 0.0 | |
| | | L2 (m) | 0.0 | |
| Coin 4 | non tronqué | L1 (m) | 0.0 | |
| | | L2 (m) | 0.0 | |



Stockage de la cellule : Cellule n°1

Mode de stockage

Masse

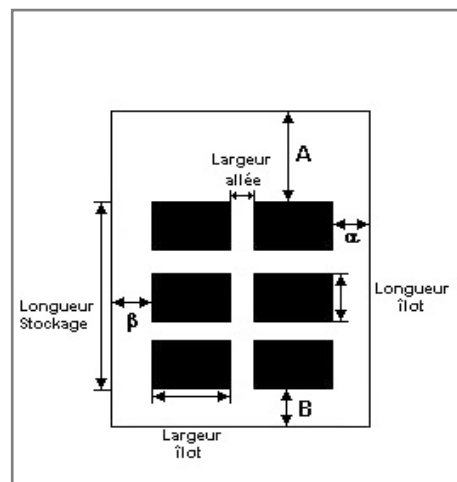
Dimensions

Longueur de préparation A 0.0 m

Longueur de préparation B 0.0 m

Déport latéral α 0.0 m

Déport latéral β 0.0 m



Stockage en masse

Nombre d'îlots dans le sens de la longueur 1

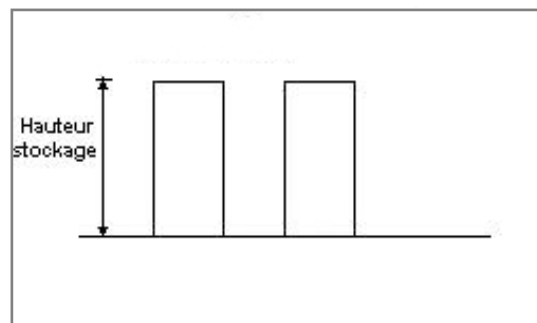
Nombre d'îlots dans le sens de la largeur 1

Largeur des îlots 4.4 m

Longueur des îlots 7.5 m

Hauteur des îlots 3.0 m

Largeur des allées entre îlots 0.0 m



Palette type de la cellule Cellule n°1

Dimensions Palette

Longueur de la palette : 2.0 m

Largeur de la palette : 2.0 m

Hauteur de la palette : 3.0 m

Volume de la palette : 12.0 m³

Nom de la palette :

Poids total de la palette : 5000.0 kg

Composition de la Palette (Masse en kg)

| | | | | | | |
|--------|-----|-----|-----|-----|-----|-----|
| Bois | NC | NC | NC | NC | NC | NC |
| 5000.0 | 0.0 | 0.0 | 0.0 | 0.0 | 0.0 | 0.0 |

| | | | | | | |
|-----|-----|-----|-----|-----|-----|-----|
| NC | NC | NC | NC | NC | NC | NC |
| 0.0 | 0.0 | 0.0 | 0.0 | 0.0 | 0.0 | 0.0 |

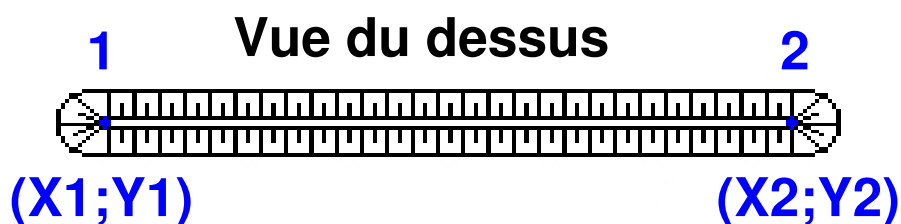
| | | | |
|-----|-----|-----|-----|
| NC | NC | NC | NC |
| 0.0 | 0.0 | 0.0 | 0.0 |

Données supplémentaires

Durée de combustion de la palette : 180.0 min

Puissance dégagée par la palette : 1621.7 kW

Merlons



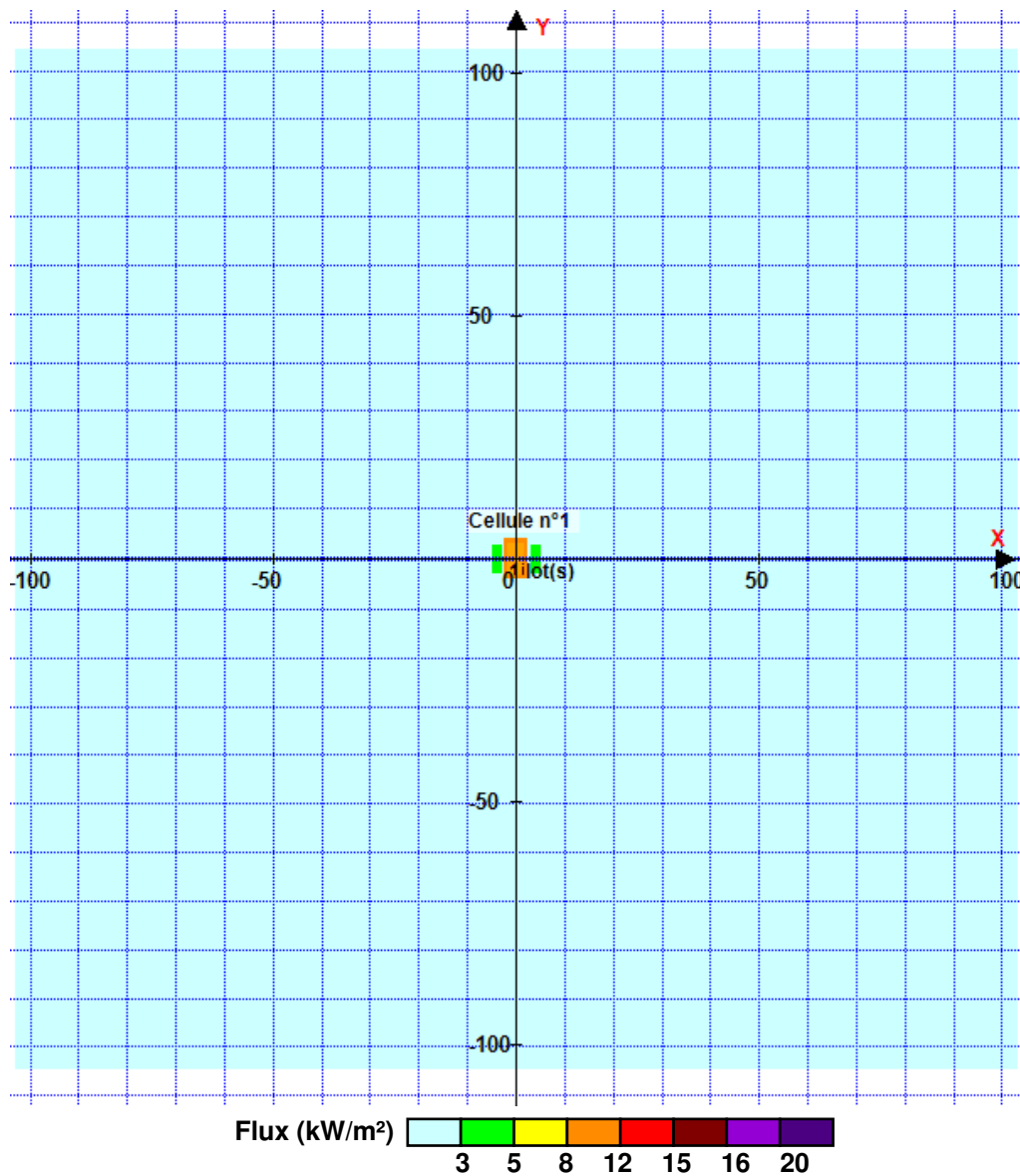
| Merlon n° | Hauteur (m) | Coordonnées du premier point | | Coordonnées du deuxième point | |
|-----------|-------------|------------------------------|--------|-------------------------------|--------|
| | | X1 (m) | Y1 (m) | X2 (m) | Y2 (m) |
| 1 | 0.0 | 0.0 | 0.0 | 0.0 | 0.0 |
| 2 | 0.0 | 0.0 | 0.0 | 0.0 | 0.0 |
| 3 | 0.0 | 0.0 | 0.0 | 0.0 | 0.0 |
| 4 | 0.0 | 0.0 | 0.0 | 0.0 | 0.0 |
| 5 | 0.0 | 0.0 | 0.0 | 0.0 | 0.0 |
| 6 | 0.0 | 0.0 | 0.0 | 0.0 | 0.0 |
| 7 | 0.0 | 0.0 | 0.0 | 0.0 | 0.0 |
| 8 | 0.0 | 0.0 | 0.0 | 0.0 | 0.0 |
| 9 | 0.0 | 0.0 | 0.0 | 0.0 | 0.0 |
| 10 | 0.0 | 0.0 | 0.0 | 0.0 | 0.0 |
| 11 | 0.0 | 0.0 | 0.0 | 0.0 | 0.0 |
| 12 | 0.0 | 0.0 | 0.0 | 0.0 | 0.0 |
| 13 | 0.0 | 0.0 | 0.0 | 0.0 | 0.0 |
| 14 | 0.0 | 0.0 | 0.0 | 0.0 | 0.0 |
| 15 | 0.0 | 0.0 | 0.0 | 0.0 | 0.0 |
| 16 | 0.0 | 0.0 | 0.0 | 0.0 | 0.0 |
| 17 | 0.0 | 0.0 | 0.0 | 0.0 | 0.0 |
| 18 | 0.0 | 0.0 | 0.0 | 0.0 | 0.0 |
| 19 | 0.0 | 0.0 | 0.0 | 0.0 | 0.0 |
| 20 | 0.0 | 0.0 | 0.0 | 0.0 | 0.0 |

II. RESULTATS :

Départ de l'incendie dans la cellule : **Cellule n°1**

Durée de l'incendie dans la cellule : Cellule n°1 **199.0** min

Distance d'effets des flux maximum



Pour information : Dans l'environnement proche de la flamme, le transfert convectif de chaleur ne peut être négligé. Il est donc préconisé pour de faibles distances d'effets comprises entre 1 et 5 m de retenir une distance d'effets de 5 m et pour celles comprises entre 6 m et 10 m de retenir 10 m.



Interface graphique v.5.3.1.1

Outil de calculV5.3

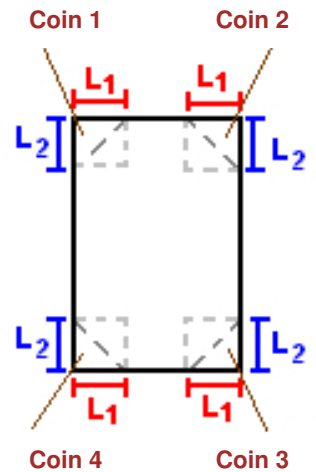
Flux Thermiques

Détermination des distances d'effets

| | |
|--|---|
| Utilisateur : | |
| Société : | EODD |
| Nom du Projet : | I6-Plastiques_1 |
| Cellule : | Incendie de déchets de plastique sur la déchèterie |
| Commentaire : | |
| Création du fichier de données d'entrée : | 06/03/2020 à 13:19:59 avec l'interface graphique v. 5.3.1.1 |
| Date de création du fichier de résultats : | 6/3/20 |

I. DONNEES D'ENTREE :**Donnée Cible**Hauteur de la cible : **1.8** m**Stockage à l'air libre****Oui****Géométrie Cellule1**

| Nom de la Cellule :Cellule n°1 | | | | |
|--|--------------------|------------|------------|--|
| Longueur maximum de la zone de stockage(m) | | 7.5 | | |
| Largeur maximum de la zone de stockage (m) | | 4.4 | | |
| Coin 1 | non tronqué | L1 (m) | 0.0 | |
| | | L2 (m) | 0.0 | |
| Coin 2 | non tronqué | L1 (m) | 0.0 | |
| | | L2 (m) | 0.0 | |
| Coin 3 | non tronqué | L1 (m) | 0.0 | |
| | | L2 (m) | 0.0 | |
| Coin 4 | non tronqué | L1 (m) | 0.0 | |
| | | L2 (m) | 0.0 | |



Stockage de la cellule : Cellule n°1

Mode de stockage

Masse

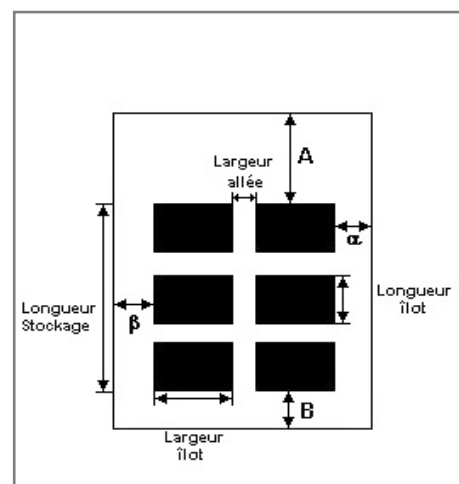
Dimensions

Longueur de préparation A 0.0 m

Longueur de préparation B 0.0 m

Déport latéral α 0.0 m

Déport latéral β 0.0 m



Stockage en masse

Nombre d'îlots dans le sens de la longueur 1

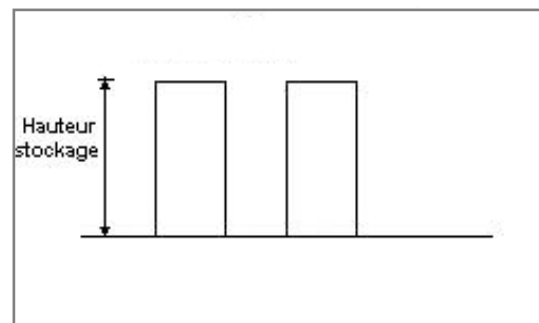
Nombre d'îlots dans le sens de la largeur 1

Largeur des îlots 4.4 m

Longueur des îlots 7.5 m

Hauteur des îlots 3.0 m

Largeur des allées entre îlots 0.0 m



Palette type de la cellule Cellule n°1

Dimensions Palette

Longueur de la palette : 2.0 m

Largeur de la palette : 2.0 m

Hauteur de la palette : 3.0 m

Volume de la palette : 12.0 m³

Nom de la palette :

Poids total de la palette : 960.0 kg

Composition de la Palette (Masse en kg)

| PE | NC | NC | NC | NC | NC | NC |
|-------|-----|-----|-----|-----|-----|-----|
| 960.0 | 0.0 | 0.0 | 0.0 | 0.0 | 0.0 | 0.0 |

| NC | NC | NC | NC | NC | NC | NC |
|-----|-----|-----|-----|-----|-----|-----|
| 0.0 | 0.0 | 0.0 | 0.0 | 0.0 | 0.0 | 0.0 |

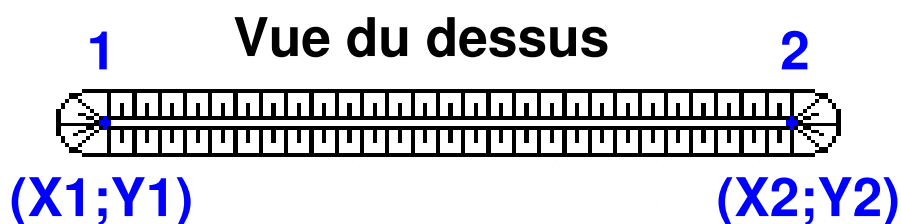
| NC | NC | NC | NC |
|-----|-----|-----|-----|
| 0.0 | 0.0 | 0.0 | 0.0 |

Données supplémentaires

Durée de combustion de la palette : 64.9 min

Puissance dégagée par la palette : 2317.2 kW

Merlons



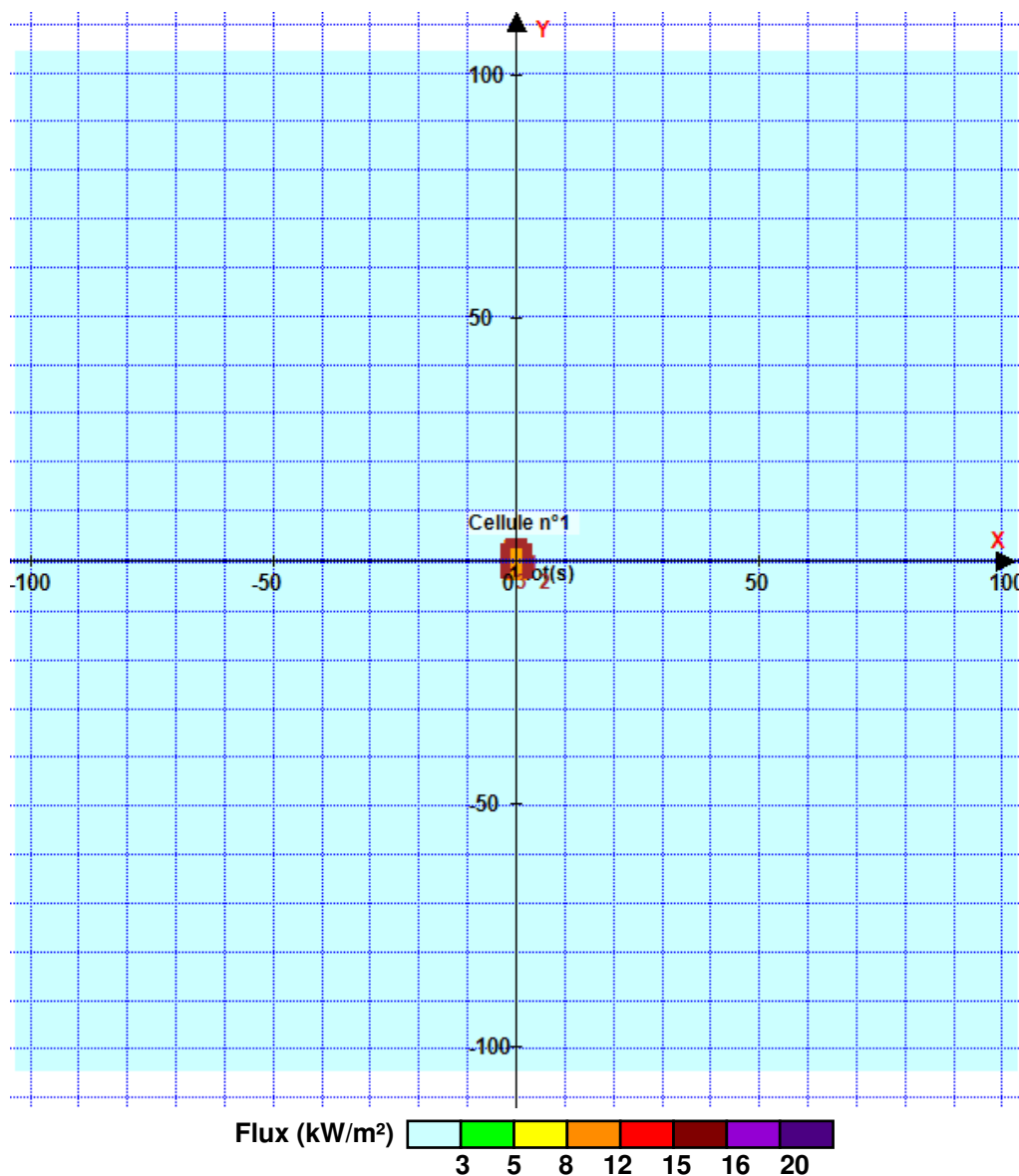
| Merlon n° | Hauteur (m) | Coordonnées du premier point | | Coordonnées du deuxième point | |
|-----------|-------------|------------------------------|--------|-------------------------------|--------|
| | | X1 (m) | Y1 (m) | X2 (m) | Y2 (m) |
| 1 | 3.2 | -2.3 | 3.8 | 2.3 | 3.8 |
| 2 | 3.2 | 2.3 | 3.8 | 2.3 | -3.8 |
| 3 | 3.2 | -2.3 | 3.8 | -2.3 | -3.8 |
| 4 | 0.0 | 0.0 | 0.0 | 0.0 | 0.0 |
| 5 | 0.0 | 0.0 | 0.0 | 0.0 | 0.0 |
| 6 | 0.0 | 0.0 | 0.0 | 0.0 | 0.0 |
| 7 | 0.0 | 0.0 | 0.0 | 0.0 | 0.0 |
| 8 | 0.0 | 0.0 | 0.0 | 0.0 | 0.0 |
| 9 | 0.0 | 0.0 | 0.0 | 0.0 | 0.0 |
| 10 | 0.0 | 0.0 | 0.0 | 0.0 | 0.0 |
| 11 | 0.0 | 0.0 | 0.0 | 0.0 | 0.0 |
| 12 | 0.0 | 0.0 | 0.0 | 0.0 | 0.0 |
| 13 | 0.0 | 0.0 | 0.0 | 0.0 | 0.0 |
| 14 | 0.0 | 0.0 | 0.0 | 0.0 | 0.0 |
| 15 | 0.0 | 0.0 | 0.0 | 0.0 | 0.0 |
| 16 | 0.0 | 0.0 | 0.0 | 0.0 | 0.0 |
| 17 | 0.0 | 0.0 | 0.0 | 0.0 | 0.0 |
| 18 | 0.0 | 0.0 | 0.0 | 0.0 | 0.0 |
| 19 | 0.0 | 0.0 | 0.0 | 0.0 | 0.0 |
| 20 | 0.0 | 0.0 | 0.0 | 0.0 | 0.0 |

II. RESULTATS :

Départ de l'incendie dans la cellule : **Cellule n°1**

Durée de l'incendie dans la cellule : Cellule n°1 **84.0** min

Distance d'effets des flux maximum



Pour information : Dans l'environnement proche de la flamme, le transfert convectif de chaleur ne peut être négligé. Il est donc préconisé pour de faibles distances d'effets comprises entre 1 et 5 m de retenir une distance d'effets de 5 m et pour celles comprises entre 6 m et 10 m de retenir 10 m.



Interface graphique v.5.3.1.1

Outil de calculV5.3

Flux Thermiques

Détermination des distances d'effets

| | |
|--|---|
| Utilisateur : | |
| Société : | EODD |
| Nom du Projet : | I7-DEEE_1 |
| Cellule : | Incendie de DEEE sur la déchèterie |
| Commentaire : | |
| Création du fichier de données d'entrée : | 06/03/2020 à 13:25:10 avec l'interface graphique v. 5.3.1.1 |
| Date de création du fichier de résultats : | 6/3/20 |

I. DONNEES D'ENTREE :

Donnée Cible

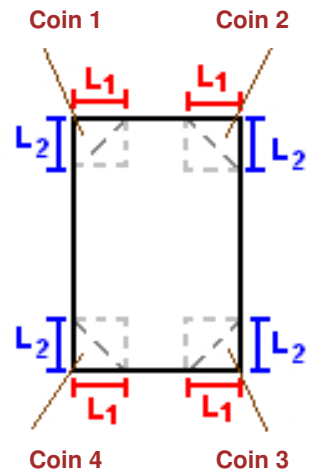
Hauteur de la cible : **1.8** m

Stockage à l'air libre

Oui

Géométrie Cellule1

| Nom de la Cellule :Cellule n°1 | | | | |
|--|--------------------|------------|------------|--|
| Longueur maximum de la zone de stockage(m) | | 7.5 | | |
| Largeur maximum de la zone de stockage (m) | | 4.4 | | |
| Coin 1 | non tronqué | L1 (m) | 0.0 | |
| | | L2 (m) | 0.0 | |
| Coin 2 | non tronqué | L1 (m) | 0.0 | |
| | | L2 (m) | 0.0 | |
| Coin 3 | non tronqué | L1 (m) | 0.0 | |
| | | L2 (m) | 0.0 | |
| Coin 4 | non tronqué | L1 (m) | 0.0 | |
| | | L2 (m) | 0.0 | |



Stockage de la cellule : Cellule n°1

Mode de stockage

Masse

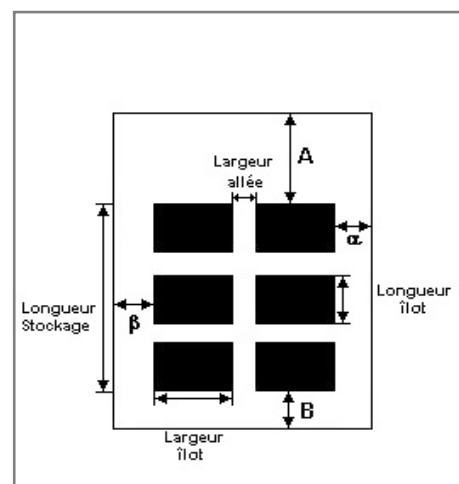
Dimensions

Longueur de préparation A 0.0 m

Longueur de préparation B 0.0 m

Déport latéral α 0.0 m

Déport latéral β 0.0 m



Stockage en masse

Nombre d'îlots dans le sens de la longueur 1

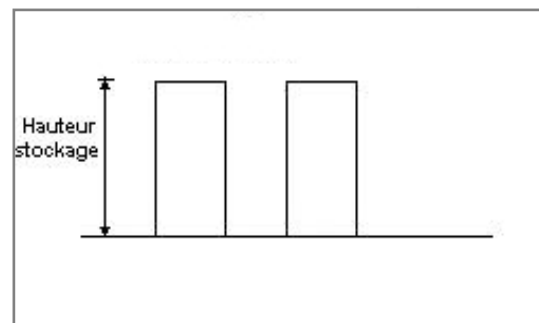
Nombre d'îlots dans le sens de la largeur 1

Largeur des îlots 4.4 m

Longueur des îlots 7.5 m

Hauteur des îlots 3.0 m

Largeur des allées entre îlots 0.0 m



Palette type de la cellule Cellule n°1

Dimensions Palette

Longueur de la palette : 2.0 m

Largeur de la palette : 2.0 m

Hauteur de la palette : 3.0 m

Volume de la palette : 12.0 m³

Nom de la palette :

Poids total de la palette : 3522.0 kg

Composition de la Palette (Masse en kg)

| Bois | PE | PVC | PU | Synthétique | Acier | Verre |
|------|-------|-------|------|-------------|--------|-------|
| 35.0 | 550.0 | 270.0 | 77.0 | 210.0 | 1800.0 | 320.0 |

| Aluminium | NC | NC | NC | NC | NC | NC |
|-----------|-----|-----|-----|-----|-----|-----|
| 260.0 | 0.0 | 0.0 | 0.0 | 0.0 | 0.0 | 0.0 |

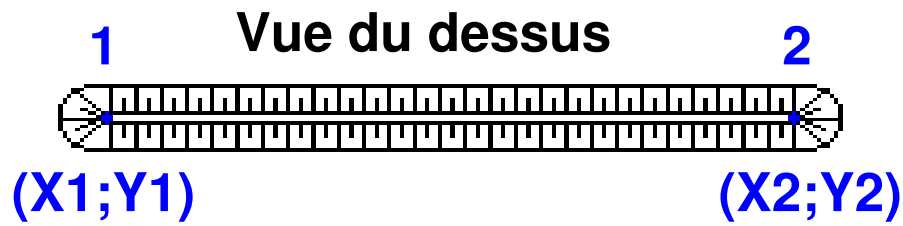
| NC | NC | NC | NC |
|-----|-----|-----|-----|
| 0.0 | 0.0 | 0.0 | 0.0 |

Données supplémentaires

Durée de combustion de la palette : 45.0 min

Puissance dégagée par la palette : 2717.0 kW

Merlons



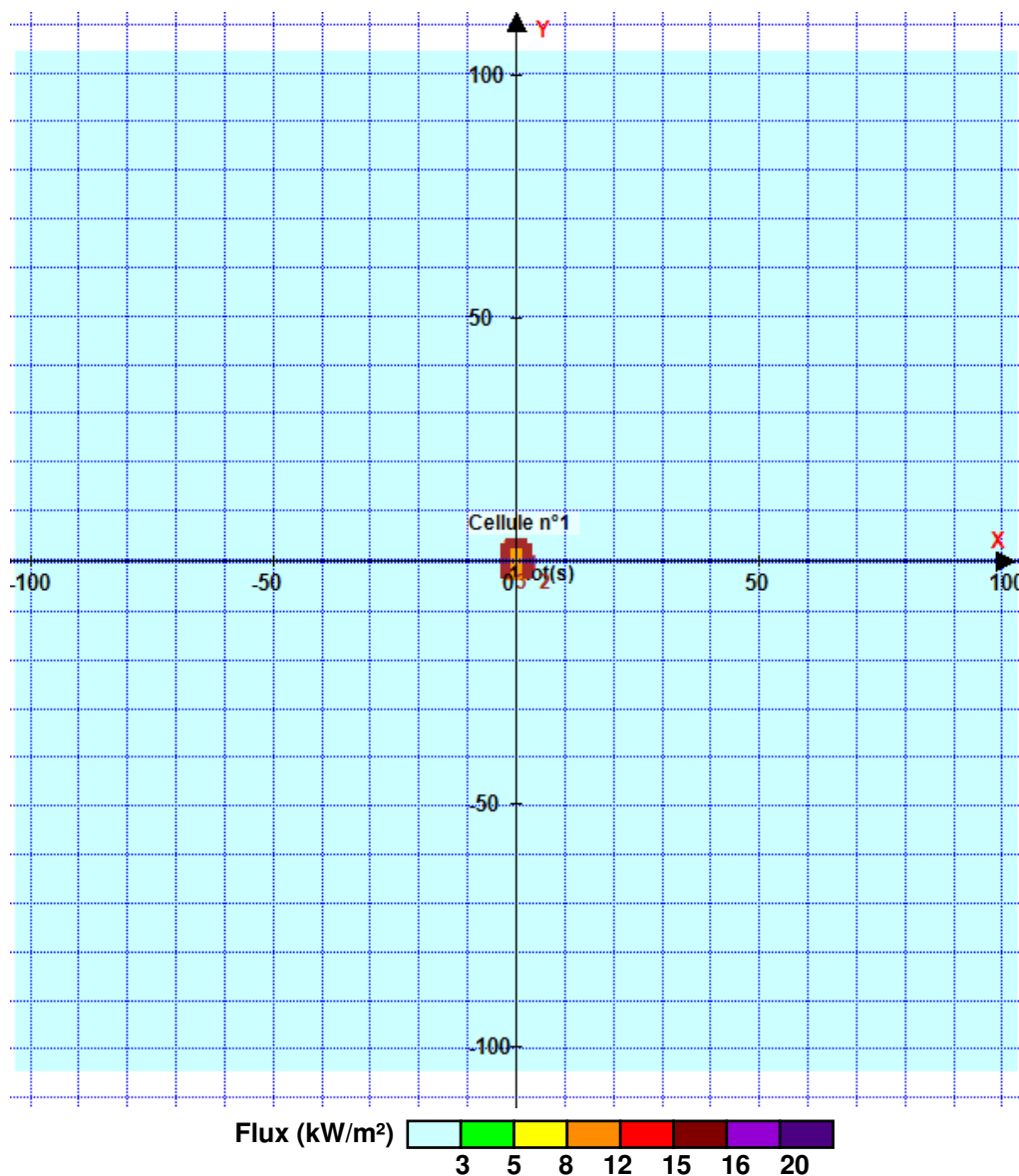
| Merlon n° | Hauteur (m) | Coordonnées du premier point | | Coordonnées du deuxième point | |
|-----------|-------------|------------------------------|--------|-------------------------------|--------|
| | | X1 (m) | Y1 (m) | X2 (m) | Y2 (m) |
| 1 | 3.2 | -2.3 | 3.8 | 2.3 | 3.8 |
| 2 | 3.2 | 2.3 | 3.8 | 2.3 | -3.8 |
| 3 | 3.2 | -2.3 | 3.8 | -2.3 | -3.8 |
| 4 | 0.0 | 0.0 | 0.0 | 0.0 | 0.0 |
| 5 | 0.0 | 0.0 | 0.0 | 0.0 | 0.0 |
| 6 | 0.0 | 0.0 | 0.0 | 0.0 | 0.0 |
| 7 | 0.0 | 0.0 | 0.0 | 0.0 | 0.0 |
| 8 | 0.0 | 0.0 | 0.0 | 0.0 | 0.0 |
| 9 | 0.0 | 0.0 | 0.0 | 0.0 | 0.0 |
| 10 | 0.0 | 0.0 | 0.0 | 0.0 | 0.0 |
| 11 | 0.0 | 0.0 | 0.0 | 0.0 | 0.0 |
| 12 | 0.0 | 0.0 | 0.0 | 0.0 | 0.0 |
| 13 | 0.0 | 0.0 | 0.0 | 0.0 | 0.0 |
| 14 | 0.0 | 0.0 | 0.0 | 0.0 | 0.0 |
| 15 | 0.0 | 0.0 | 0.0 | 0.0 | 0.0 |
| 16 | 0.0 | 0.0 | 0.0 | 0.0 | 0.0 |
| 17 | 0.0 | 0.0 | 0.0 | 0.0 | 0.0 |
| 18 | 0.0 | 0.0 | 0.0 | 0.0 | 0.0 |
| 19 | 0.0 | 0.0 | 0.0 | 0.0 | 0.0 |
| 20 | 0.0 | 0.0 | 0.0 | 0.0 | 0.0 |

II. RESULTATS :

Départ de l'incendie dans la cellule : **Cellule n°1**

Durée de l'incendie dans la cellule : Cellule n°1 **64.0** min

Distance d'effets des flux maximum



Pour information : Dans l'environnement proche de la flamme, le transfert convectif de chaleur ne peut être négligé. Il est donc préconisé pour de faibles distances d'effets comprises entre 1 et 5 m de retenir une distance d'effets de 5 m et pour celles comprises entre 6 m et 10 m de retenir 10 m.



Interface graphique v.5.3.1.1

Outil de calcul V5.3

Flux Thermiques

Détermination des distances d'effets

| | |
|--|---|
| Utilisateur : | |
| Société : | EODD |
| Nom du Projet : | I8-DIB_1 |
| Cellule : | Incendie de DIB et d'encombrants sur la déchèterie |
| Commentaire : | |
| Création du fichier de données d'entrée : | 05/03/2020 à 18:20:02 avec l'interface graphique v. 5.3.1.1 |
| Date de création du fichier de résultats : | 5/3/20 |

I. DONNEES D'ENTREE :

Donnée Cible

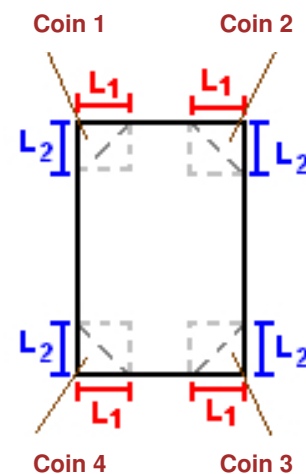
Hauteur de la cible : **1.8** m

Stockage à l'air libre

Oui

Géométrie Cellule1

| Nom de la Cellule :Cellule n°1 | | | | |
|--|--------------------|------------|------------|--|
| Longueur maximum de la zone de stockage(m) | | 7.5 | | |
| Largeur maximum de la zone de stockage (m) | | 4.4 | | |
| Coin 1 | non tronqué | L1 (m) | 0.0 | |
| | | L2 (m) | 0.0 | |
| Coin 2 | non tronqué | L1 (m) | 0.0 | |
| | | L2 (m) | 0.0 | |
| Coin 3 | non tronqué | L1 (m) | 0.0 | |
| | | L2 (m) | 0.0 | |
| Coin 4 | non tronqué | L1 (m) | 0.0 | |
| | | L2 (m) | 0.0 | |



Stockage de la cellule : Cellule n°1

Mode de stockage

Masse

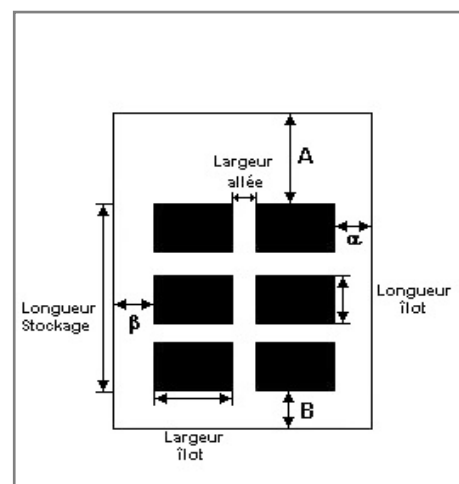
Dimensions

Longueur de préparation A 0.0 m

Longueur de préparation B 0.0 m

Déport latéral α 0.0 m

Déport latéral β 0.0 m



Stockage en masse

Nombre d'îlots dans le sens de la longueur 1

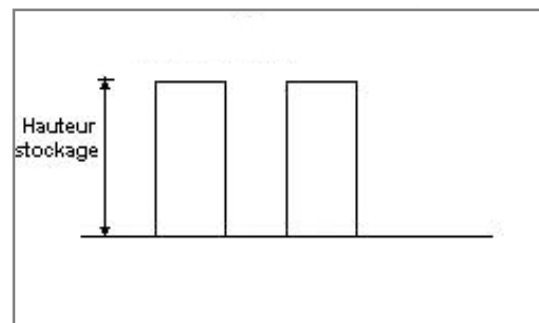
Nombre d'îlots dans le sens de la largeur 1

Largeur des îlots 4.4 m

Longueur des îlots 7.5 m

Hauteur des îlots 3.0 m

Largeur des allées entre îlots 0.0 m



Palette type de la cellule Cellule n°1

Dimensions Palette

Longueur de la palette : Adaptée aux dimensions de la palette

Largeur de la palette : Adaptée aux dimensions de la palette

Hauteur de la palette : Adaptée aux dimensions de la palette

Volume de la palette : Adaptée aux dimensions de la palette

Nom de la palette : Palette type 1510

Poids total de la palette : Par défaut

Composition de la Palette (Masse en kg)

| NC | NC | NC | NC | NC | NC | NC |
|-----|-----|-----|-----|-----|-----|-----|
| 0.0 | 0.0 | 0.0 | 0.0 | 0.0 | 0.0 | 0.0 |

| NC | NC | NC | NC | NC | NC | NC |
|-----|-----|-----|-----|-----|-----|-----|
| 0.0 | 0.0 | 0.0 | 0.0 | 0.0 | 0.0 | 0.0 |

| NC | NC | NC | NC |
|-----|-----|-----|-----|
| 0.0 | 0.0 | 0.0 | 0.0 |

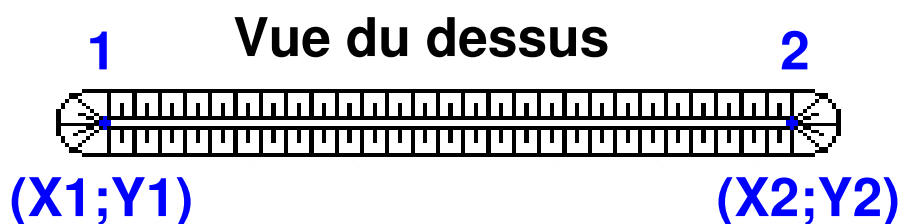
Données supplémentaires

Durée de combustion de la palette : 45.0 min

Puissance dégagée par la palette : Adaptée aux dimensions de la palette

Rappel : les dimensions standards d'une Palette type 1510 sont de 1,2 m * 0,8 m x 1,5 m, sa puissance est de 1525.0 kW

Merlons



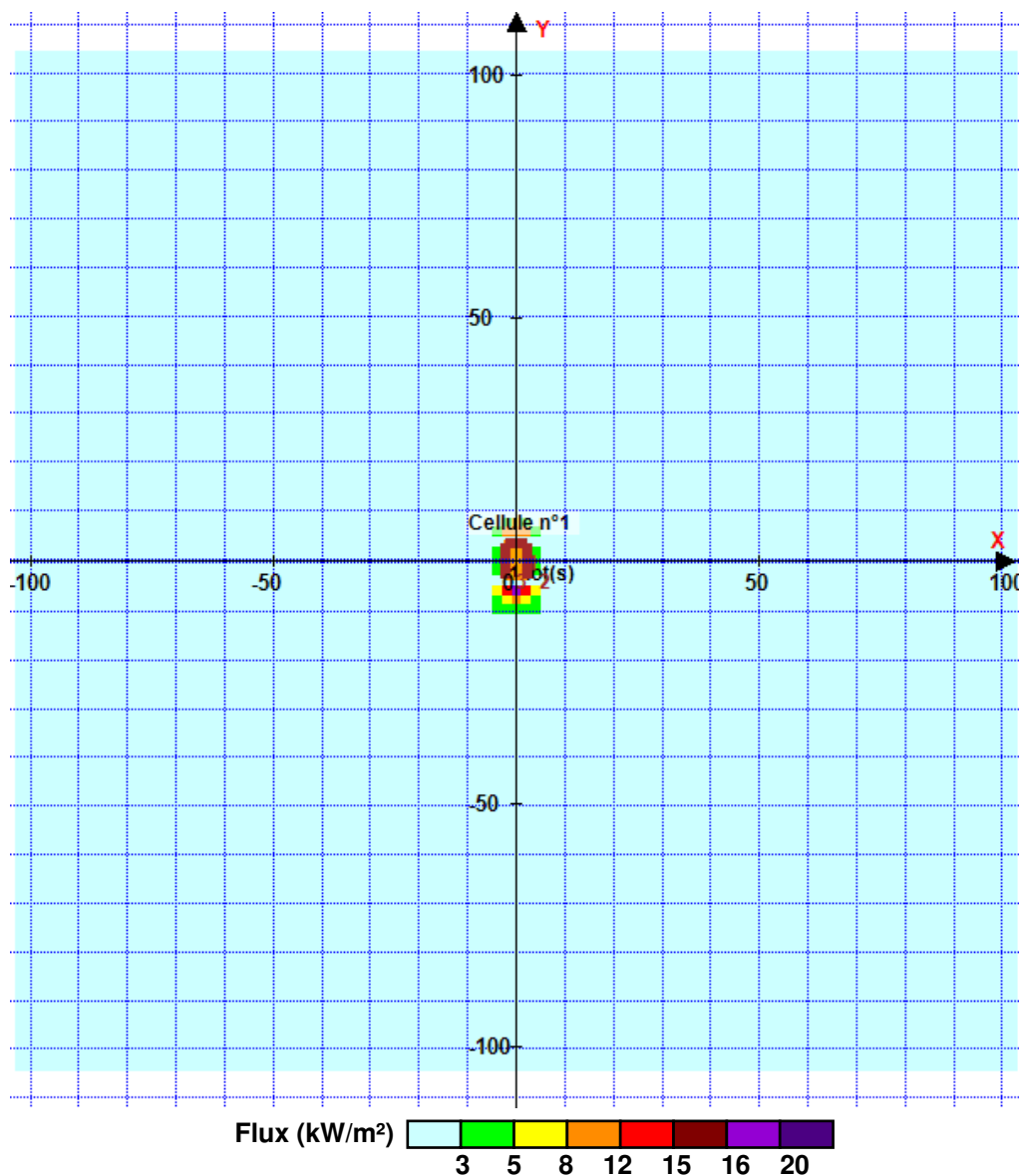
| Merlon n° | Hauteur (m) | Coordonnées du premier point | | Coordonnées du deuxième point | |
|-----------|-------------|------------------------------|--------|-------------------------------|--------|
| | | X1 (m) | Y1 (m) | X2 (m) | Y2 (m) |
| 1 | 3.2 | -2.3 | 3.8 | 2.3 | 3.8 |
| 2 | 3.2 | 2.3 | 3.8 | 2.3 | -3.8 |
| 3 | 3.2 | -2.3 | 3.8 | -2.3 | -3.8 |
| 4 | 0.0 | 0.0 | 0.0 | 0.0 | 0.0 |
| 5 | 0.0 | 0.0 | 0.0 | 0.0 | 0.0 |
| 6 | 0.0 | 0.0 | 0.0 | 0.0 | 0.0 |
| 7 | 0.0 | 0.0 | 0.0 | 0.0 | 0.0 |
| 8 | 0.0 | 0.0 | 0.0 | 0.0 | 0.0 |
| 9 | 0.0 | 0.0 | 0.0 | 0.0 | 0.0 |
| 10 | 0.0 | 0.0 | 0.0 | 0.0 | 0.0 |
| 11 | 0.0 | 0.0 | 0.0 | 0.0 | 0.0 |
| 12 | 0.0 | 0.0 | 0.0 | 0.0 | 0.0 |
| 13 | 0.0 | 0.0 | 0.0 | 0.0 | 0.0 |
| 14 | 0.0 | 0.0 | 0.0 | 0.0 | 0.0 |
| 15 | 0.0 | 0.0 | 0.0 | 0.0 | 0.0 |
| 16 | 0.0 | 0.0 | 0.0 | 0.0 | 0.0 |
| 17 | 0.0 | 0.0 | 0.0 | 0.0 | 0.0 |
| 18 | 0.0 | 0.0 | 0.0 | 0.0 | 0.0 |
| 19 | 0.0 | 0.0 | 0.0 | 0.0 | 0.0 |
| 20 | 0.0 | 0.0 | 0.0 | 0.0 | 0.0 |

II. RESULTATS :

Départ de l'incendie dans la cellule : **Cellule n°1**

Durée de l'incendie dans la cellule : Cellule n°1 **70.0** min

Distance d'effets des flux maximum



Pour information : Dans l'environnement proche de la flamme, le transfert convectif de chaleur ne peut être négligé. Il est donc préconisé pour de faibles distances d'effets comprises entre 1 et 5 m de retenir une distance d'effets de 5 m et pour celles comprises entre 6 m et 10 m de retenir 10 m.



Interface graphique v.5.3.1.1

Outil de calculV5.3

Flux Thermiques

Détermination des distances d'effets

| | |
|--|---|
| Utilisateur : | |
| Société : | EODD |
| Nom du Projet : | I9-Ressourcerie_1 |
| Cellule : | Incendie sur le ressourcerie |
| Commentaire : | |
| Création du fichier de données d'entrée : | 06/03/2020 à 10:19:38 avec l'interface graphique v. 5.3.1.1 |
| Date de création du fichier de résultats : | 6/3/20 |

I. DONNEES D'ENTREE :

Donnée Cible

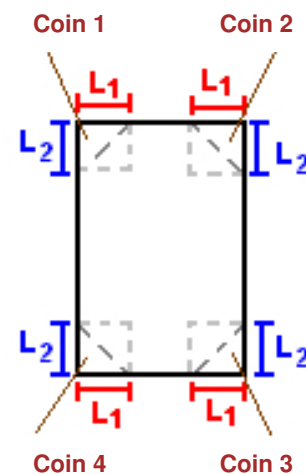
Hauteur de la cible : **1.8** m

Stockage à l'air libre

Oui

Géométrie Cellule1

| Nom de la Cellule :Cellule n°1 | | | | |
|--|--------------------|------------|------------|--|
| Longueur maximum de la zone de stockage(m) | | 2.4 | | |
| Largeur maximum de la zone de stockage (m) | | 5.9 | | |
| Coin 1 | non tronqué | L1 (m) | 0.0 | |
| | | L2 (m) | 0.0 | |
| Coin 2 | non tronqué | L1 (m) | 0.0 | |
| | | L2 (m) | 0.0 | |
| Coin 3 | non tronqué | L1 (m) | 0.0 | |
| | | L2 (m) | 0.0 | |
| Coin 4 | non tronqué | L1 (m) | 0.0 | |
| | | L2 (m) | 0.0 | |



Stockage de la cellule : Cellule n°1

Mode de stockage

Masse

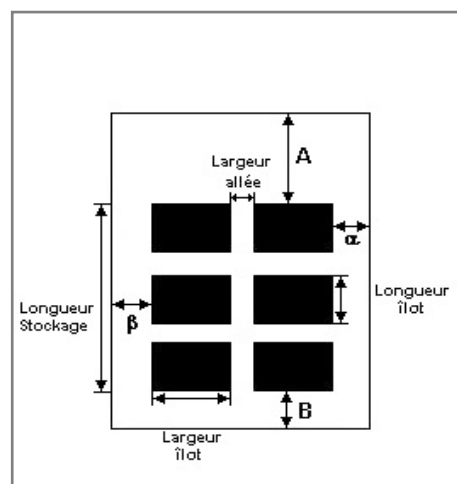
Dimensions

Longueur de préparation A 0.0 m

Longueur de préparation B 0.0 m

Déport latéral α 0.0 m

Déport latéral β 0.0 m



Stockage en masse

Nombre d'îlots dans le sens de la longueur 1

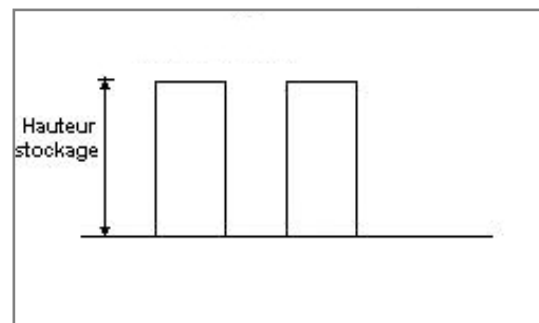
Nombre d'îlots dans le sens de la largeur 1

Largeur des îlots 5.9 m

Longueur des îlots 2.4 m

Hauteur des îlots 2.4 m

Largeur des allées entre îlots 0.0 m



Palette type de la cellule Cellule n°1

Dimensions Palette

Longueur de la palette : Adaptée aux dimensions de la palette

Largeur de la palette : Adaptée aux dimensions de la palette

Hauteur de la palette : Adaptée aux dimensions de la palette

Volume de la palette : Adaptée aux dimensions de la palette

Nom de la palette : Palette type 1510

Poids total de la palette : Par défaut

Composition de la Palette (Masse en kg)

| NC | NC | NC | NC | NC | NC | NC |
|-----|-----|-----|-----|-----|-----|-----|
| 0.0 | 0.0 | 0.0 | 0.0 | 0.0 | 0.0 | 0.0 |

| NC | NC | NC | NC | NC | NC | NC |
|-----|-----|-----|-----|-----|-----|-----|
| 0.0 | 0.0 | 0.0 | 0.0 | 0.0 | 0.0 | 0.0 |

| NC | NC | NC | NC |
|-----|-----|-----|-----|
| 0.0 | 0.0 | 0.0 | 0.0 |

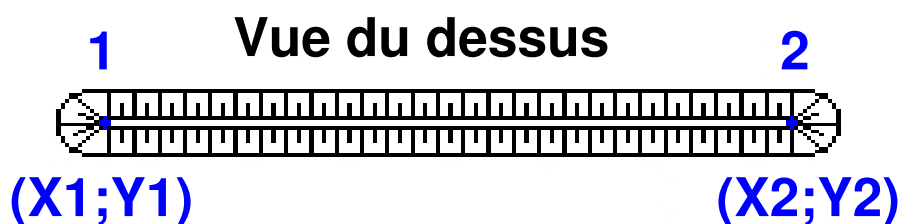
Données supplémentaires

Durée de combustion de la palette : 45.0 min

Puissance dégagée par la palette : Adaptée aux dimensions de la palette

Rappel : les dimensions standards d'une Palette type 1510 sont de 1,2 m * 0,8 m x 1,5 m, sa puissance est de 1525.0 kW

Merlons



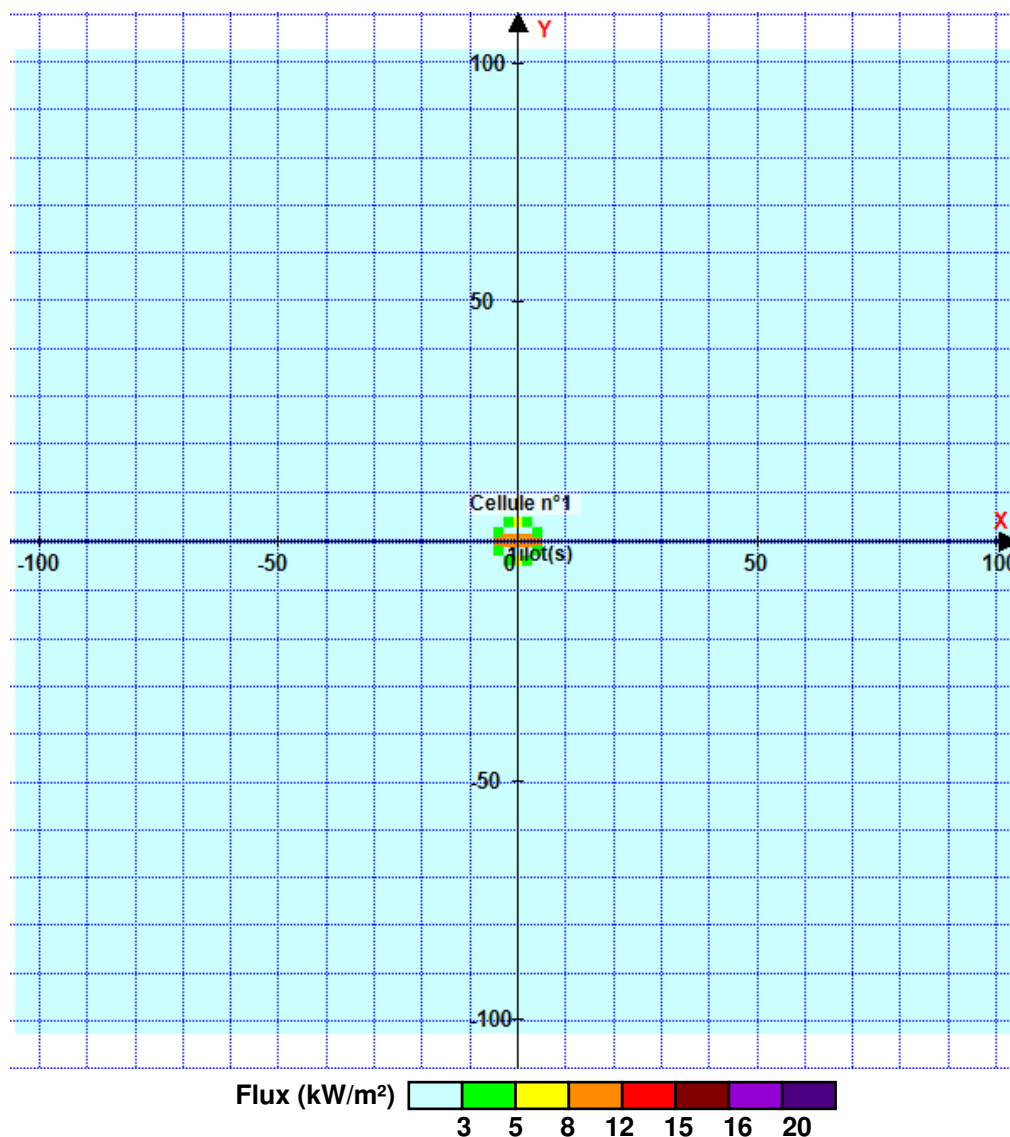
| Merlon n° | Hauteur (m) | Coordonnées du premier point | | Coordonnées du deuxième point | |
|-----------|-------------|------------------------------|--------|-------------------------------|--------|
| | | X1 (m) | Y1 (m) | X2 (m) | Y2 (m) |
| 1 | 0.0 | 0.0 | 0.0 | 0.0 | 0.0 |
| 2 | 0.0 | 0.0 | 0.0 | 0.0 | 0.0 |
| 3 | 0.0 | 0.0 | 0.0 | 0.0 | 0.0 |
| 4 | 0.0 | 0.0 | 0.0 | 0.0 | 0.0 |
| 5 | 0.0 | 0.0 | 0.0 | 0.0 | 0.0 |
| 6 | 0.0 | 0.0 | 0.0 | 0.0 | 0.0 |
| 7 | 0.0 | 0.0 | 0.0 | 0.0 | 0.0 |
| 8 | 0.0 | 0.0 | 0.0 | 0.0 | 0.0 |
| 9 | 0.0 | 0.0 | 0.0 | 0.0 | 0.0 |
| 10 | 0.0 | 0.0 | 0.0 | 0.0 | 0.0 |
| 11 | 0.0 | 0.0 | 0.0 | 0.0 | 0.0 |
| 12 | 0.0 | 0.0 | 0.0 | 0.0 | 0.0 |
| 13 | 0.0 | 0.0 | 0.0 | 0.0 | 0.0 |
| 14 | 0.0 | 0.0 | 0.0 | 0.0 | 0.0 |
| 15 | 0.0 | 0.0 | 0.0 | 0.0 | 0.0 |
| 16 | 0.0 | 0.0 | 0.0 | 0.0 | 0.0 |
| 17 | 0.0 | 0.0 | 0.0 | 0.0 | 0.0 |
| 18 | 0.0 | 0.0 | 0.0 | 0.0 | 0.0 |
| 19 | 0.0 | 0.0 | 0.0 | 0.0 | 0.0 |
| 20 | 0.0 | 0.0 | 0.0 | 0.0 | 0.0 |

II. RESULTATS :

Départ de l'incendie dans la cellule : **Cellule n°1**

Durée de l'incendie dans la cellule : Cellule n°1 **60.0** min

Distance d'effets des flux maximum



Pour information : Dans l'environnement proche de la flamme, le transfert convectif de chaleur ne peut être négligé. Il est donc préconisé pour de faibles distances d'effets comprises entre 1 et 5 m de retenir une distance d'effets de 5 m et pour celles comprises entre 6 m et 10 m de retenir 10 m.



Interface graphique v.5.4.0.4

Outil de calculV5.4

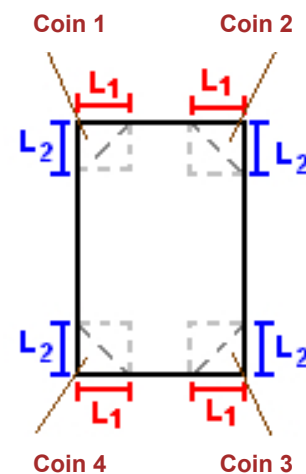
Flux Thermiques

Détermination des distances d'effets

| | |
|--|---|
| Utilisateur : | NMA |
| Société : | EODD |
| Nom du Projet : | EDD_PAM_Bois_1 |
| Cellule : | PAM_100%_bois |
| Commentaire : | Dimension 15 par 56 m |
| Création du fichier de données d'entrée : | 04/09/2020 à 10:50:41 avec l'interface graphique v. 5.4.0.4 |
| Date de création du fichier de résultats : | 4/9/20 |

I. DONNEES D'ENTREE :**Donnée Cible**Hauteur de la cible : **1,8** m**Stockage à l'air libre****Oui****Géométrie Cellule1**

| Nom de la Cellule :Cellule n°1 | | | | |
|--|--------------------|-------------|------------|--|
| Longueur maximum de la zone de stockage(m) | | 15,5 | | |
| Largeur maximum de la zone de stockage (m) | | 56,5 | | |
| Coin 1 | non tronqué | L1 (m) | 0,0 | |
| | | L2 (m) | 0,0 | |
| Coin 2 | non tronqué | L1 (m) | 0,0 | |
| | | L2 (m) | 0,0 | |
| Coin 3 | non tronqué | L1 (m) | 0,0 | |
| | | L2 (m) | 0,0 | |
| Coin 4 | non tronqué | L1 (m) | 0,0 | |
| | | L2 (m) | 0,0 | |



Stockage de la cellule : Cellule n°1

Mode de stockage

Masse

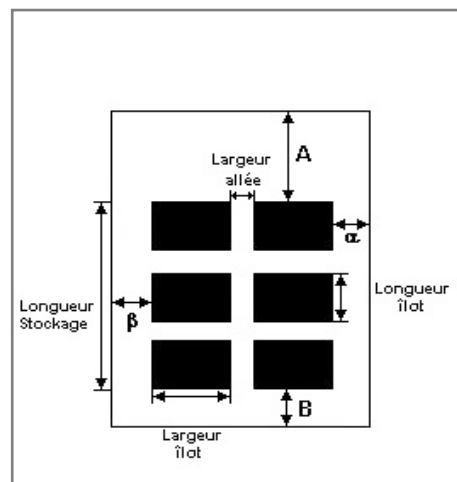
Dimensions

Longueur de préparation A 0,3 m

Longueur de préparation B 0,3 m

Déport latéral α 0,3 m

Déport latéral β 0,3 m



Stockage en masse

Nombre d'îlots dans le sens de la longueur 1

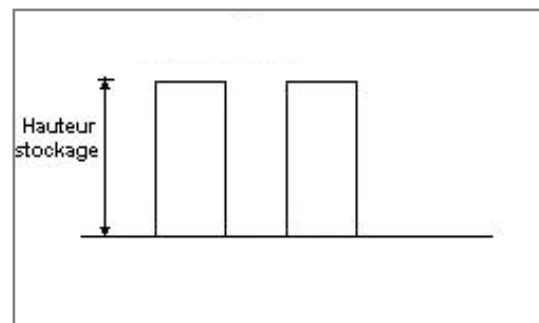
Nombre d'îlots dans le sens de la largeur 1

Largeur des îlots 56,0 m

Longueur des îlots 15,0 m

Hauteur des îlots 4,0 m

Largeur des allées entre îlots 0,0 m



Palette type de la cellule Cellule n°1

Dimensions Palette

Longueur de la palette : 56,0 m

Largeur de la palette : 15,0 m

Hauteur de la palette : 4,0 m

Volume de la palette : 3360,0 m³

Nom de la palette : Bois

Poids total de la palette : 333333,0 kg

Composition de la Palette (Masse en kg)

| Palette Bois | NC | NC | NC | NC | NC | NC |
|--------------|-----|-----|-----|-----|-----|-----|
| 333333,0 | 0,0 | 0,0 | 0,0 | 0,0 | 0,0 | 0,0 |

| NC | NC | NC | NC | NC | NC | NC |
|-----|-----|-----|-----|-----|-----|-----|
| 0,0 | 0,0 | 0,0 | 0,0 | 0,0 | 0,0 | 0,0 |

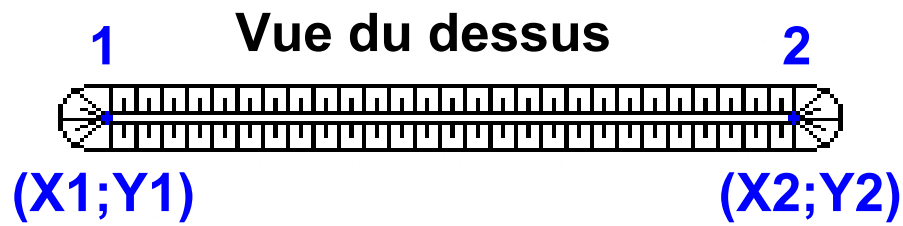
| NC | NC | NC | NC |
|-----|-----|-----|-----|
| 0,0 | 0,0 | 0,0 | 0,0 |

Données supplémentaires

Durée de combustion de la palette : 180,0 min

Puissance dégagée par la palette : 296664,0 kW

Merlons



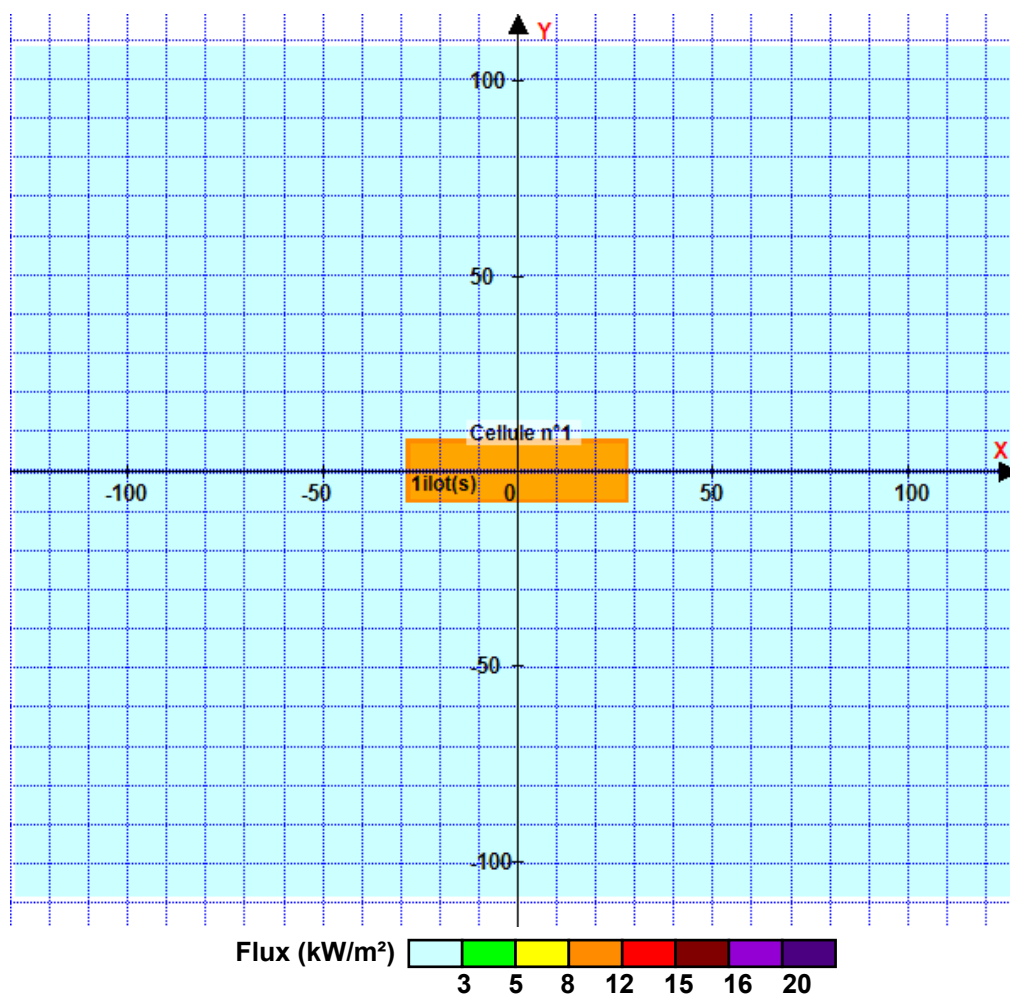
| Merlon n° | Hauteur (m) | Coordonnées du premier point | | Coordonnées du deuxième point | |
|-----------|-------------|------------------------------|--------|-------------------------------|--------|
| | | X1 (m) | Y1 (m) | X2 (m) | Y2 (m) |
| 1 | 0,0 | 0,0 | 0,0 | 0,0 | 0,0 |
| 2 | 0,0 | 0,0 | 0,0 | 0,0 | 0,0 |
| 3 | 0,0 | 0,0 | 0,0 | 0,0 | 0,0 |
| 4 | 0,0 | 0,0 | 0,0 | 0,0 | 0,0 |
| 5 | 0,0 | 0,0 | 0,0 | 0,0 | 0,0 |
| 6 | 0,0 | 0,0 | 0,0 | 0,0 | 0,0 |
| 7 | 0,0 | 0,0 | 0,0 | 0,0 | 0,0 |
| 8 | 0,0 | 0,0 | 0,0 | 0,0 | 0,0 |
| 9 | 0,0 | 0,0 | 0,0 | 0,0 | 0,0 |
| 10 | 0,0 | 0,0 | 0,0 | 0,0 | 0,0 |
| 11 | 0,0 | 0,0 | 0,0 | 0,0 | 0,0 |
| 12 | 0,0 | 0,0 | 0,0 | 0,0 | 0,0 |
| 13 | 0,0 | 0,0 | 0,0 | 0,0 | 0,0 |
| 14 | 0,0 | 0,0 | 0,0 | 0,0 | 0,0 |
| 15 | 0,0 | 0,0 | 0,0 | 0,0 | 0,0 |
| 16 | 0,0 | 0,0 | 0,0 | 0,0 | 0,0 |
| 17 | 0,0 | 0,0 | 0,0 | 0,0 | 0,0 |
| 18 | 0,0 | 0,0 | 0,0 | 0,0 | 0,0 |
| 19 | 0,0 | 0,0 | 0,0 | 0,0 | 0,0 |
| 20 | 0,0 | 0,0 | 0,0 | 0,0 | 0,0 |

II. RESULTATS :

Départ de l'incendie dans la cellule : **Cellule n°1**

Durée de l'incendie dans la cellule : Cellule n°1 **198,0 min**

Distance d'effets des flux maximum



Pour information : Dans l'environnement proche de la flamme, le transfert convectif de chaleur ne peut être négligé. Il est donc préconisé pour de faibles distances d'effets comprises entre 1 et 5 m de retenir une distance d'effets de 5 m et pour celles comprises entre 6 m et 10 m de retenir 10 m.



Interface graphique v.5.4.0.4

Outil de calculV5.4

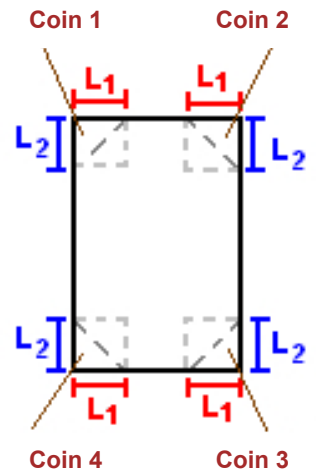
Flux Thermiques

Détermination des distances d'effets

| | |
|--|---|
| Utilisateur : | NMA |
| Société : | EODD |
| Nom du Projet : | EDD_PAM_Bois_21x40m_1 |
| Cellule : | PAM_100%_Bois |
| Commentaire : | Dimension 21 par 40 m |
| Création du fichier de données d'entrée : | 04/09/2020 à 11:32:41 avec l'interface graphique v. 5.4.0.4 |
| Date de création du fichier de résultats : | 4/9/20 |

I. DONNEES D'ENTREE :**Donnée Cible**Hauteur de la cible : **1,8** m**Stockage à l'air libre****Oui****Géométrie Cellule1**

| Nom de la Cellule :Cellule n°1 | | | | |
|--|--------------------|-------------|------------|--|
| Longueur maximum de la zone de stockage(m) | | 40,5 | | |
| Largeur maximum de la zone de stockage (m) | | 21,5 | | |
| Coin 1 | non tronqué | L1 (m) | 0,0 | |
| | | L2 (m) | 0,0 | |
| Coin 2 | non tronqué | L1 (m) | 0,0 | |
| | | L2 (m) | 0,0 | |
| Coin 3 | non tronqué | L1 (m) | 0,0 | |
| | | L2 (m) | 0,0 | |
| Coin 4 | non tronqué | L1 (m) | 0,0 | |
| | | L2 (m) | 0,0 | |



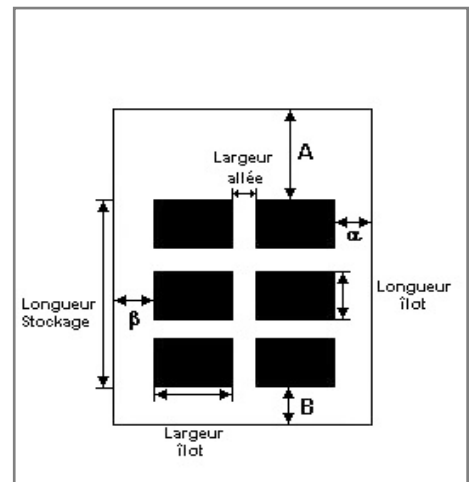
Stockage de la cellule : Cellule n°1

Mode de stockage

Masse

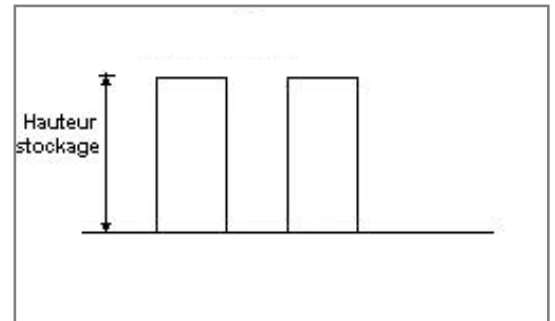
Dimensions

| | |
|---------------------------|-------|
| Longueur de préparation A | 0,3 m |
| Longueur de préparation B | 0,3 m |
| Déport latéral α | 0,3 m |
| Déport latéral β | 0,3 m |



Stockage en masse

| | |
|--|--------|
| Nombre d'îlots dans le sens de la longueur | 1 |
| Nombre d'îlots dans le sens de la largeur | 1 |
| Largeur des îlots | 21,0 m |
| Longueur des îlots | 40,0 m |
| Hauteur des îlots | 4,0 m |
| Largeur des allées entre îlots | 0,0 m |



Palette type de la cellule Cellule n°1

Dimensions Palette

| | |
|--------------------------|-----------------------|
| Longueur de la palette : | 21,0 m |
| Largeur de la palette : | 40,0 m |
| Hauteur de la palette : | 4,0 m |
| Volume de la palette : | 3360,0 m ³ |
| Nom de la palette : | Bois |

Poids total de la palette : 333333,0 kg

Composition de la Palette (Masse en kg)

| | | | | | | |
|--------------|-----|-----|-----|-----|-----|-----|
| Palette Bois | NC | NC | NC | NC | NC | NC |
| 333333,0 | 0,0 | 0,0 | 0,0 | 0,0 | 0,0 | 0,0 |

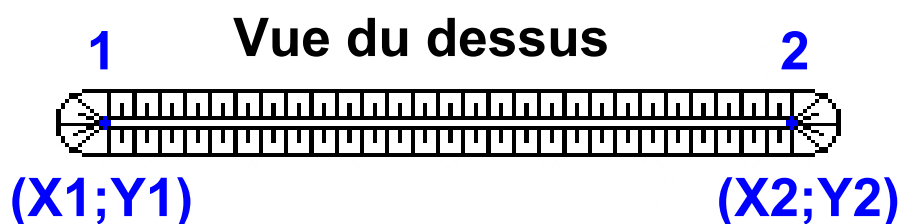
| | | | | | | |
|-----|-----|-----|-----|-----|-----|-----|
| NC | NC | NC | NC | NC | NC | NC |
| 0,0 | 0,0 | 0,0 | 0,0 | 0,0 | 0,0 | 0,0 |

| | | | |
|-----|-----|-----|-----|
| NC | NC | NC | NC |
| 0,0 | 0,0 | 0,0 | 0,0 |

Données supplémentaires

| | |
|-------------------------------------|-------------|
| Durée de combustion de la palette : | 180,0 min |
| Puissance dégagée par la palette : | 279808,0 kW |

Merlons



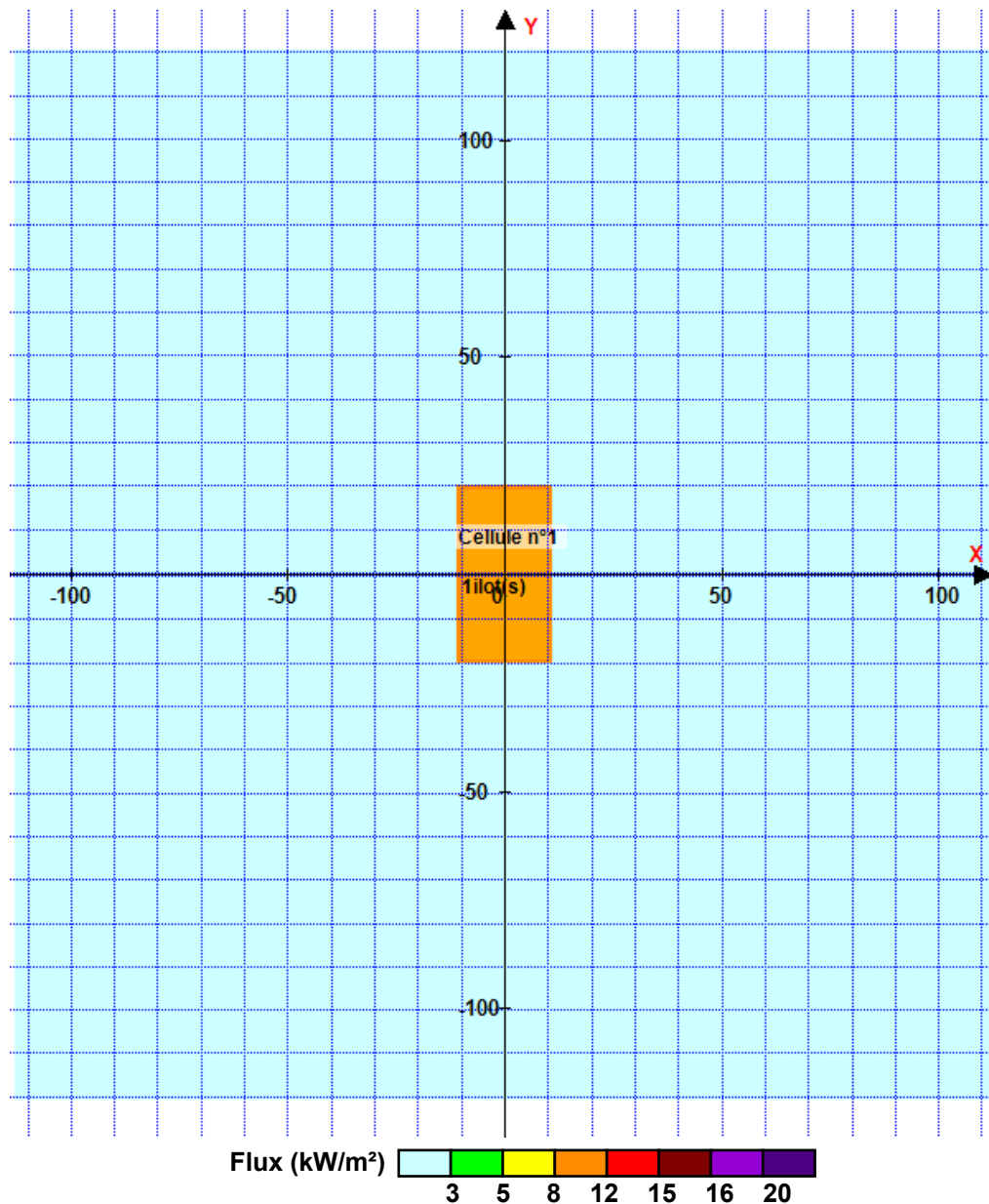
| Merlon n° | Hauteur (m) | Coordonnées du premier point | | Coordonnées du deuxième point | |
|-----------|-------------|------------------------------|--------|-------------------------------|--------|
| | | X1 (m) | Y1 (m) | X2 (m) | Y2 (m) |
| 1 | 0,0 | 0,0 | 0,0 | 0,0 | 0,0 |
| 2 | 0,0 | 0,0 | 0,0 | 0,0 | 0,0 |
| 3 | 0,0 | 0,0 | 0,0 | 0,0 | 0,0 |
| 4 | 0,0 | 0,0 | 0,0 | 0,0 | 0,0 |
| 5 | 0,0 | 0,0 | 0,0 | 0,0 | 0,0 |
| 6 | 0,0 | 0,0 | 0,0 | 0,0 | 0,0 |
| 7 | 0,0 | 0,0 | 0,0 | 0,0 | 0,0 |
| 8 | 0,0 | 0,0 | 0,0 | 0,0 | 0,0 |
| 9 | 0,0 | 0,0 | 0,0 | 0,0 | 0,0 |
| 10 | 0,0 | 0,0 | 0,0 | 0,0 | 0,0 |
| 11 | 0,0 | 0,0 | 0,0 | 0,0 | 0,0 |
| 12 | 0,0 | 0,0 | 0,0 | 0,0 | 0,0 |
| 13 | 0,0 | 0,0 | 0,0 | 0,0 | 0,0 |
| 14 | 0,0 | 0,0 | 0,0 | 0,0 | 0,0 |
| 15 | 0,0 | 0,0 | 0,0 | 0,0 | 0,0 |
| 16 | 0,0 | 0,0 | 0,0 | 0,0 | 0,0 |
| 17 | 0,0 | 0,0 | 0,0 | 0,0 | 0,0 |
| 18 | 0,0 | 0,0 | 0,0 | 0,0 | 0,0 |
| 19 | 0,0 | 0,0 | 0,0 | 0,0 | 0,0 |
| 20 | 0,0 | 0,0 | 0,0 | 0,0 | 0,0 |

II. RESULTATS :

Départ de l'incendie dans la cellule : **Cellule n°1**

Durée de l'incendie dans la cellule : Cellule n°1 **197,0** min

Distance d'effets des flux maximum



Pour information : Dans l'environnement proche de la flamme, le transfert convectif de chaleur ne peut être négligé. Il est donc préconisé pour de faibles distances d'effets comprises entre 1 et 5 m de retenir une distance d'effets de 5 m et pour celles comprises entre 6 m et 10 m de retenir 10 m.



Interface graphique v.5.4.0.5

Outil de calculV5.4

Flux Thermiques

Détermination des distances d'effets

| | |
|--|---|
| Utilisateur : | NMA |
| Société : | EODD |
| Nom du Projet : | EDD_PAM_Bois_21x21_1 |
| Cellule : | PAM_100%_bois |
| Commentaire : | Dimension 21 par 21 m (demi ilot de bois) |
| Création du fichier de données d'entrée : | 15/10/2020 à 10:57:44 avec l'interface graphique v. 5.4.0.5 |
| Date de création du fichier de résultats : | 15/10/20 |

I. DONNEES D'ENTREE :

Donnée Cible

Hauteur de la cible : 1,8 m

Stockage à l'air libre

Oui

Géométrie Cellule1

| Nom de la Cellule :Cellule n°1 | | | | |
|--|-------------|--------|-----|--|
| Longueur maximum de la zone de stockage(m) | | 21,5 | | |
| Largeur maximum de la zone de stockage (m) | | 21,5 | | |
| Coin 1 | non tronqué | L1 (m) | 0,0 | |
| | | L2 (m) | 0,0 | |
| Coin 2 | non tronqué | L1 (m) | 0,0 | |
| | | L2 (m) | 0,0 | |
| Coin 3 | non tronqué | L1 (m) | 0,0 | |
| | | L2 (m) | 0,0 | |
| Coin 4 | non tronqué | L1 (m) | 0,0 | |
| | | L2 (m) | 0,0 | |

Stockage de la cellule : Cellule n°1

Mode de stockage

Masse

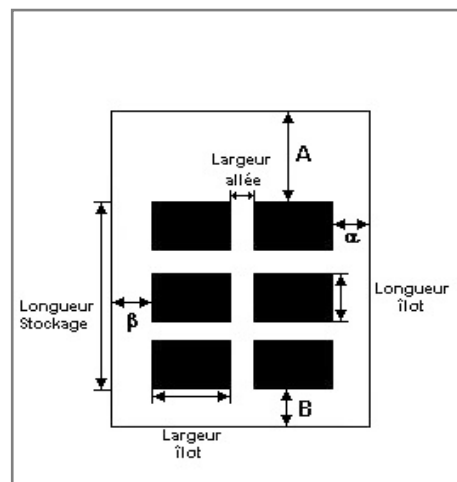
Dimensions

Longueur de préparation A 0,3 m

Longueur de préparation B 0,3 m

Déport latéral α 0,3 m

Déport latéral β 0,3 m



Stockage en masse

Nombre d'îlots dans le sens de la longueur 1

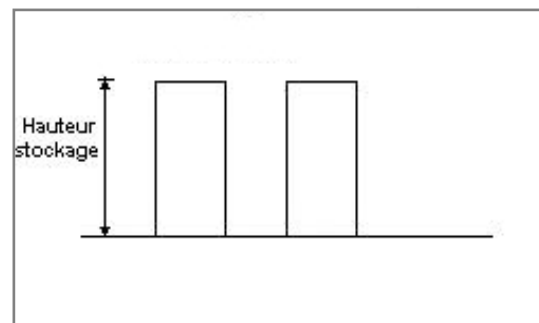
Nombre d'îlots dans le sens de la largeur 1

Largeur des îlots 21,0 m

Longueur des îlots 21,0 m

Hauteur des îlots 4,0 m

Largeur des allées entre îlots 0,0 m



Palette type de la cellule Cellule n°1

Dimensions Palette

Longueur de la palette : 21,0 m

Largeur de la palette : 21,0 m

Hauteur de la palette : 4,0 m

Volume de la palette : 1764,0 m³

Nom de la palette :

Poids total de la palette : 175000,0 kg

Composition de la Palette (Masse en kg)

| Palette Bois | NC | NC | NC | NC | NC | NC |
|--------------|-----|-----|-----|-----|-----|-----|
| 175000,0 | 0,0 | 0,0 | 0,0 | 0,0 | 0,0 | 0,0 |

| NC | NC | NC | NC | NC | NC | NC |
|-----|-----|-----|-----|-----|-----|-----|
| 0,0 | 0,0 | 0,0 | 0,0 | 0,0 | 0,0 | 0,0 |

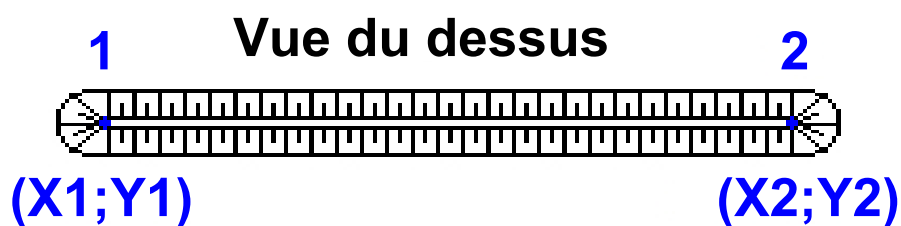
| NC | NC | NC | NC |
|-----|-----|-----|-----|
| 0,0 | 0,0 | 0,0 | 0,0 |

Données supplémentaires

Durée de combustion de la palette : 180,0 min

Puissance dégagée par la palette : 163713,0 kW

Merlons



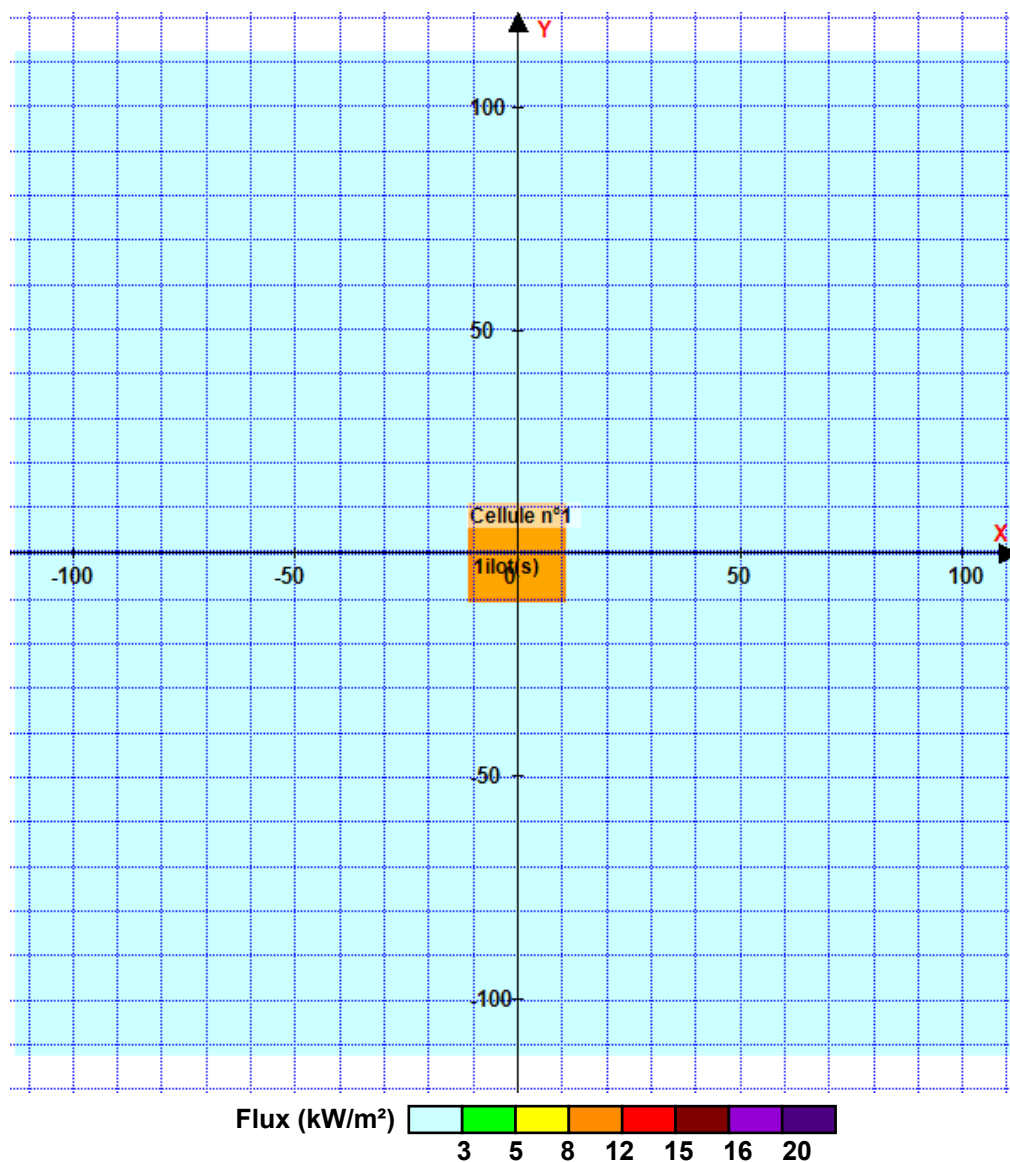
| Merlon n° | Hauteur (m) | Coordonnées du premier point | | Coordonnées du deuxième point | |
|-----------|-------------|------------------------------|--------|-------------------------------|--------|
| | | X1 (m) | Y1 (m) | X2 (m) | Y2 (m) |
| 1 | 0,0 | 0,0 | 0,0 | 0,0 | 0,0 |
| 2 | 0,0 | 0,0 | 0,0 | 0,0 | 0,0 |
| 3 | 0,0 | 0,0 | 0,0 | 0,0 | 0,0 |
| 4 | 0,0 | 0,0 | 0,0 | 0,0 | 0,0 |
| 5 | 0,0 | 0,0 | 0,0 | 0,0 | 0,0 |
| 6 | 0,0 | 0,0 | 0,0 | 0,0 | 0,0 |
| 7 | 0,0 | 0,0 | 0,0 | 0,0 | 0,0 |
| 8 | 0,0 | 0,0 | 0,0 | 0,0 | 0,0 |
| 9 | 0,0 | 0,0 | 0,0 | 0,0 | 0,0 |
| 10 | 0,0 | 0,0 | 0,0 | 0,0 | 0,0 |
| 11 | 0,0 | 0,0 | 0,0 | 0,0 | 0,0 |
| 12 | 0,0 | 0,0 | 0,0 | 0,0 | 0,0 |
| 13 | 0,0 | 0,0 | 0,0 | 0,0 | 0,0 |
| 14 | 0,0 | 0,0 | 0,0 | 0,0 | 0,0 |
| 15 | 0,0 | 0,0 | 0,0 | 0,0 | 0,0 |
| 16 | 0,0 | 0,0 | 0,0 | 0,0 | 0,0 |
| 17 | 0,0 | 0,0 | 0,0 | 0,0 | 0,0 |
| 18 | 0,0 | 0,0 | 0,0 | 0,0 | 0,0 |
| 19 | 0,0 | 0,0 | 0,0 | 0,0 | 0,0 |
| 20 | 0,0 | 0,0 | 0,0 | 0,0 | 0,0 |

II. RESULTATS :

Départ de l'incendie dans la cellule : **Cellule n°1**

Durée de l'incendie dans la cellule : Cellule n°1 **194,0** min

Distance d'effets des flux maximum



Pour information : Dans l'environnement proche de la flamme, le transfert convectif de chaleur ne peut être négligé. Il est donc préconisé pour de faibles distances d'effets comprises entre 1 et 5 m de retenir une distance d'effets de 5 m et pour celles comprises entre 6 m et 10 m de retenir 10 m.



Interface graphique v.5.4.0.4

Outil de calculV5.4

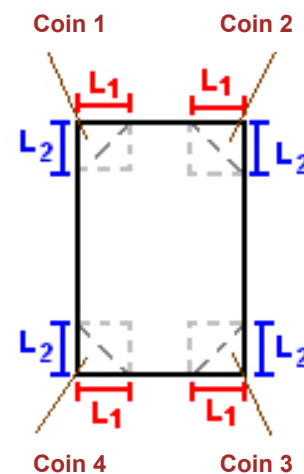
Flux Thermiques

Détermination des distances d'effets

| | |
|--|---|
| Utilisateur : | NMA |
| Société : | EODD |
| Nom du Projet : | EDD_PAM_CSR_21x40m_2 |
| Cellule : | PAM_100%_Bois |
| Commentaire : | Dimension 21 par 40 m |
| Création du fichier de données d'entrée : | 04/09/2020 à 13:59:16 avec l'interface graphique v. 5.4.0.4 |
| Date de création du fichier de résultats : | 4/9/20 |

I. DONNEES D'ENTREE :**Donnée Cible**Hauteur de la cible : **1,8** m**Stockage à l'air libre****Oui****Géométrie Cellule1**

| Nom de la Cellule :Cellule n°1 | | | | |
|--|--------------------|-------------|------------|--|
| Longueur maximum de la zone de stockage(m) | | 40,5 | | |
| Largeur maximum de la zone de stockage (m) | | 21,5 | | |
| Coin 1 | non tronqué | L1 (m) | 0,0 | |
| | | L2 (m) | 0,0 | |
| Coin 2 | non tronqué | L1 (m) | 0,0 | |
| | | L2 (m) | 0,0 | |
| Coin 3 | non tronqué | L1 (m) | 0,0 | |
| | | L2 (m) | 0,0 | |
| Coin 4 | non tronqué | L1 (m) | 0,0 | |
| | | L2 (m) | 0,0 | |



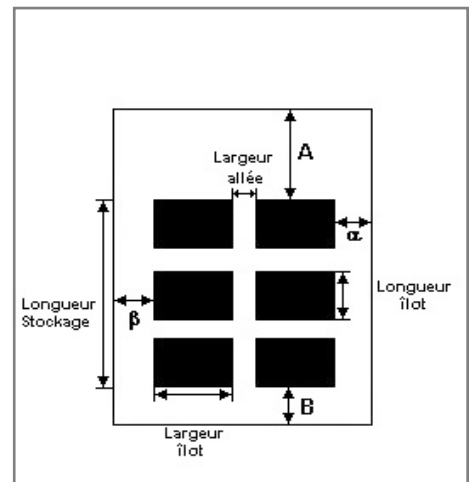
Stockage de la cellule : Cellule n°1

Mode de stockage

Masse

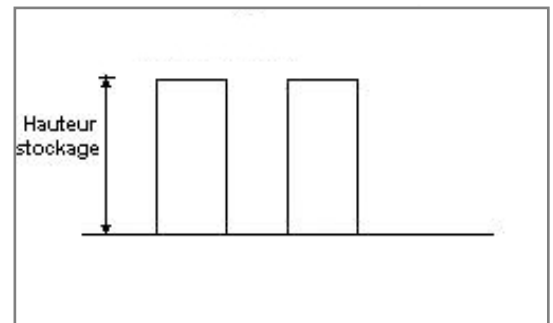
Dimensions

| | |
|---------------------------|-------|
| Longueur de préparation A | 0,3 m |
| Longueur de préparation B | 0,3 m |
| Déport latéral α | 0,3 m |
| Déport latéral β | 0,3 m |



Stockage en masse

| | |
|--|--------|
| Nombre d'îlots dans le sens de la longueur | 1 |
| Nombre d'îlots dans le sens de la largeur | 1 |
| Largeur des îlots | 21,0 m |
| Longueur des îlots | 40,0 m |
| Hauteur des îlots | 3,3 m |
| Largeur des allées entre îlots | 0,0 m |



Palette type de la cellule Cellule n°1

Dimensions Palette

| | |
|--------------------------|-----------------------|
| Longueur de la palette : | 21,0 m |
| Largeur de la palette : | 40,0 m |
| Hauteur de la palette : | 3,3 m |
| Volume de la palette : | 2772,0 m ³ |
| Nom de la palette : | |

Poids total de la palette : 1155000,0kg

Composition de la Palette (Masse en kg)

| PE | Carton | NC | NC | NC | NC | NC |
|----------|----------|-----|-----|-----|-----|-----|
| 577500,0 | 577500,0 | 0,0 | 0,0 | 0,0 | 0,0 | 0,0 |

| NC | NC | NC | NC | NC | NC | NC |
|-----|-----|-----|-----|-----|-----|-----|
| 0,0 | 0,0 | 0,0 | 0,0 | 0,0 | 0,0 | 0,0 |

| NC | NC | NC | NC |
|-----|-----|-----|-----|
| 0,0 | 0,0 | 0,0 | 0,0 |

Données supplémentaires

| | |
|-------------------------------------|------------|
| Durée de combustion de la palette : | 45,0 min |
| Puissance dégagée par la palette : | 57966,4 kW |

Vue du dessus

1 2

(X1;Y1) (X2;Y2)

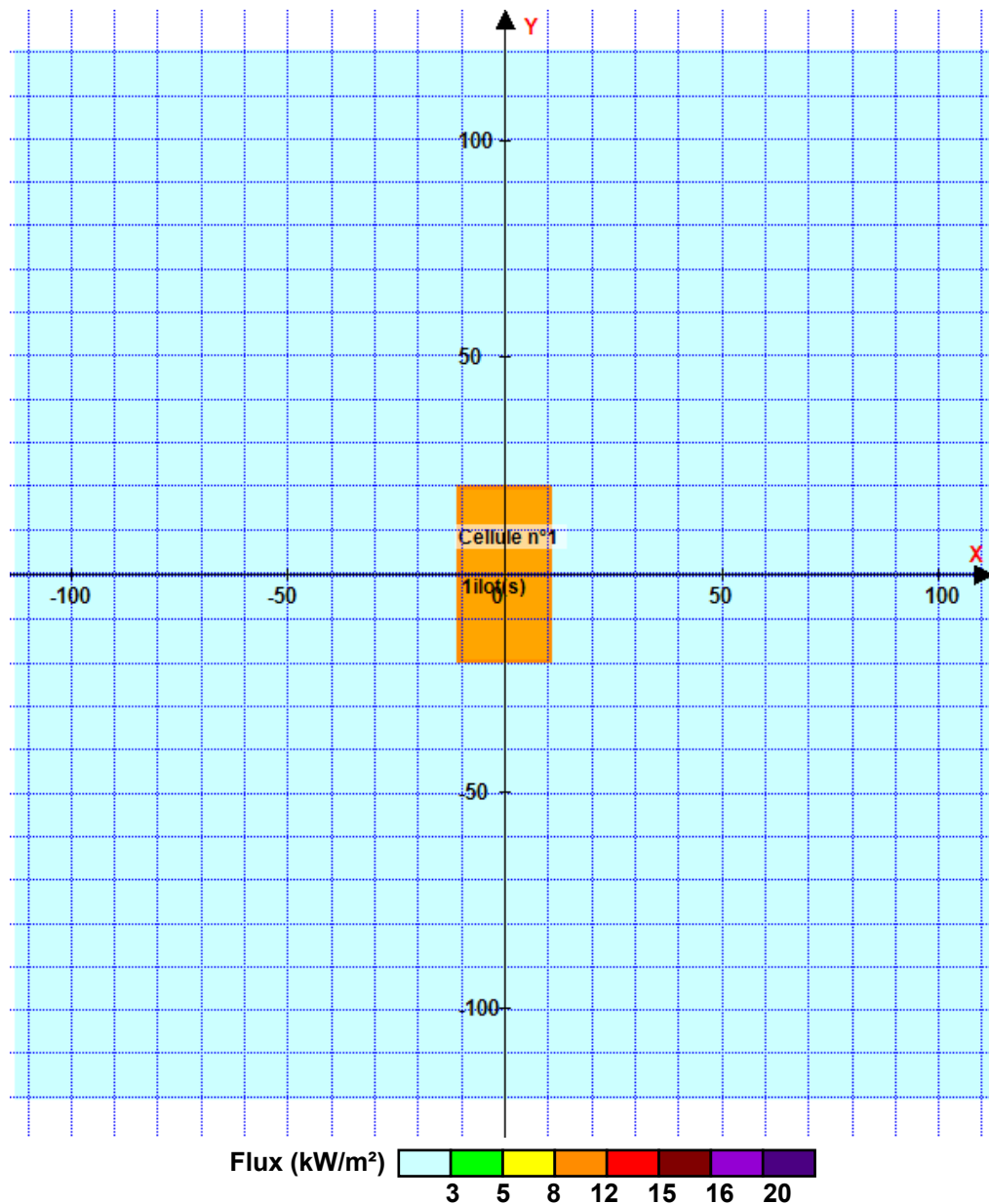
| | | Coordonnées du premier point | | Coordonnées du deuxième point | |
|-----------|-------------|------------------------------|--------|-------------------------------|--------|
| Merlon n° | Hauteur (m) | X1 (m) | Y1 (m) | X2 (m) | Y2 (m) |
| 1 | 0,0 | 0,0 | 0,0 | 0,0 | 0,0 |
| 2 | 0,0 | 0,0 | 0,0 | 0,0 | 0,0 |
| 3 | 0,0 | 0,0 | 0,0 | 0,0 | 0,0 |
| 4 | 0,0 | 0,0 | 0,0 | 0,0 | 0,0 |
| 5 | 0,0 | 0,0 | 0,0 | 0,0 | 0,0 |
| 6 | 0,0 | 0,0 | 0,0 | 0,0 | 0,0 |
| 7 | 0,0 | 0,0 | 0,0 | 0,0 | 0,0 |
| 8 | 0,0 | 0,0 | 0,0 | 0,0 | 0,0 |
| 9 | 0,0 | 0,0 | 0,0 | 0,0 | 0,0 |
| 10 | 0,0 | 0,0 | 0,0 | 0,0 | 0,0 |
| 11 | 0,0 | 0,0 | 0,0 | 0,0 | 0,0 |
| 12 | 0,0 | 0,0 | 0,0 | 0,0 | 0,0 |
| 13 | 0,0 | 0,0 | 0,0 | 0,0 | 0,0 |
| 14 | 0,0 | 0,0 | 0,0 | 0,0 | 0,0 |
| 15 | 0,0 | 0,0 | 0,0 | 0,0 | 0,0 |
| 16 | 0,0 | 0,0 | 0,0 | 0,0 | 0,0 |
| 17 | 0,0 | 0,0 | 0,0 | 0,0 | 0,0 |
| 18 | 0,0 | 0,0 | 0,0 | 0,0 | 0,0 |
| 19 | 0,0 | 0,0 | 0,0 | 0,0 | 0,0 |
| 20 | 0,0 | 0,0 | 0,0 | 0,0 | 0,0 |

II. RESULTATS :

Départ de l'incendie dans la cellule : **Cellule n°1**

Durée de l'incendie dans la cellule : Cellule n°1 **74,0** min

Distance d'effets des flux maximum



Pour information : Dans l'environnement proche de la flamme, le transfert convectif de chaleur ne peut être négligé. Il est donc préconisé pour de faibles distances d'effets comprises entre 1 et 5 m de retenir une distance d'effets de 5 m et pour celles comprises entre 6 m et 10 m de retenir 10 m.



Interface graphique v.5.4.0.5

Outil de calculV5.4

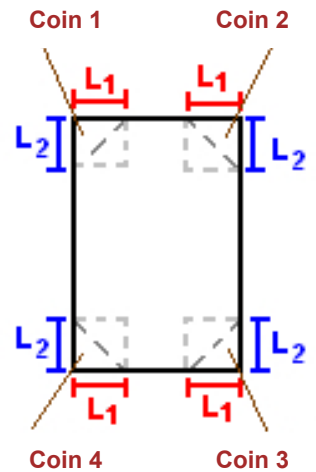
Flux Thermiques

Détermination des distances d'effets

| | |
|--|---|
| Utilisateur : | NMA |
| Société : | EODD |
| Nom du Projet : | EDD_PAM_CSR_21x11m_1 |
| Cellule : | PAM_CSR_21x11m |
| Commentaire : | Cellules de 21 par 11 m |
| Création du fichier de données d'entrée : | 16/10/2020 à 11:39:52 avec l'interface graphique v. 5.4.0.5 |
| Date de création du fichier de résultats : | 16/10/20 |

I. DONNEES D'ENTREE :**Donnée Cible**Hauteur de la cible : **1,8** m**Stockage à l'air libre****Oui****Géométrie Cellule1**

| Nom de la Cellule :Cellule n°1 | | | | |
|--|--------------------|-------------|------------|--|
| Longueur maximum de la zone de stockage(m) | | 21,5 | | |
| Largeur maximum de la zone de stockage (m) | | 11,5 | | |
| Coin 1 | non tronqué | L1 (m) | 0,0 | |
| | | L2 (m) | 0,0 | |
| Coin 2 | non tronqué | L1 (m) | 0,0 | |
| | | L2 (m) | 0,0 | |
| Coin 3 | non tronqué | L1 (m) | 0,0 | |
| | | L2 (m) | 0,0 | |
| Coin 4 | non tronqué | L1 (m) | 0,0 | |
| | | L2 (m) | 0,0 | |



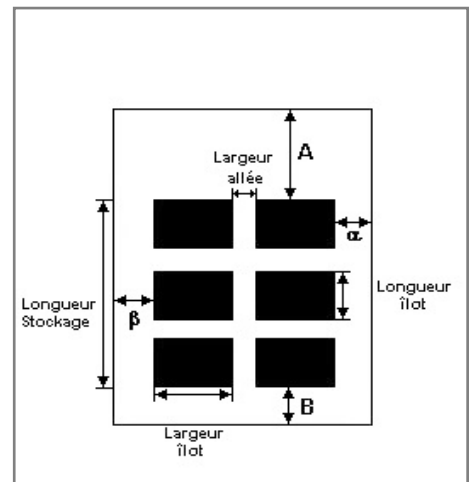
Stockage de la cellule : Cellule n°1

Mode de stockage

Masse

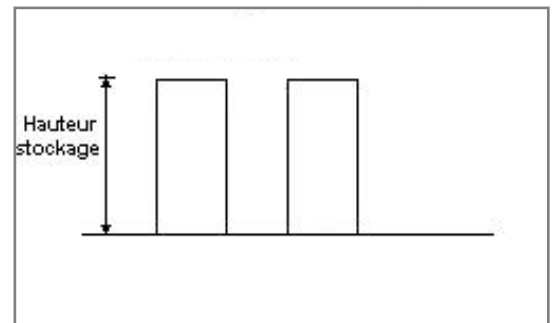
Dimensions

| | |
|---------------------------|-------|
| Longueur de préparation A | 0,3 m |
| Longueur de préparation B | 0,3 m |
| Déport latéral α | 0,3 m |
| Déport latéral β | 0,3 m |



Stockage en masse

| | |
|--|--------|
| Nombre d'îlots dans le sens de la longueur | 1 |
| Nombre d'îlots dans le sens de la largeur | 1 |
| Largeur des îlots | 11,0 m |
| Longueur des îlots | 21,0 m |
| Hauteur des îlots | 3,3 m |
| Largeur des allées entre îlots | 0,0 m |



Palette type de la cellule Cellule n°1

Dimensions Palette

| | |
|--------------------------|----------------------|
| Longueur de la palette : | 11,0 m |
| Largeur de la palette : | 21,0 m |
| Hauteur de la palette : | 3,3 m |
| Volume de la palette : | 762,3 m ³ |
| Nom de la palette : | |

Poids total de la palette : 381000,0 kg

Composition de la Palette (Masse en kg)

| | | | | | | |
|----------|----------|-----|-----|-----|-----|-----|
| PE | Carton | NC | NC | NC | NC | NC |
| 190500,0 | 190500,0 | 0,0 | 0,0 | 0,0 | 0,0 | 0,0 |

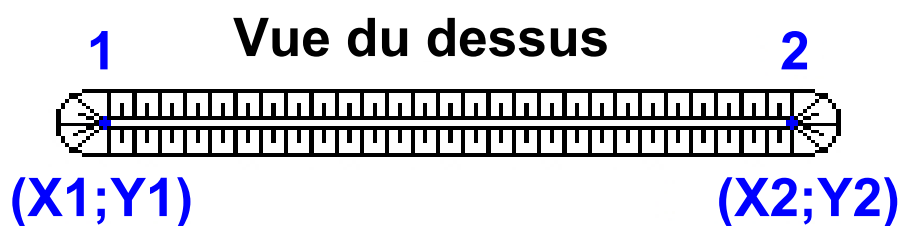
| | | | | | | |
|-----|-----|-----|-----|-----|-----|-----|
| NC | NC | NC | NC | NC | NC | NC |
| 0,0 | 0,0 | 0,0 | 0,0 | 0,0 | 0,0 | 0,0 |

| | | | |
|-----|-----|-----|-----|
| NC | NC | NC | NC |
| 0,0 | 0,0 | 0,0 | 0,0 |

Données supplémentaires

| | |
|-------------------------------------|------------|
| Durée de combustion de la palette : | 45,0 min |
| Puissance dégagée par la palette : | 30506,0 kW |

Merlons



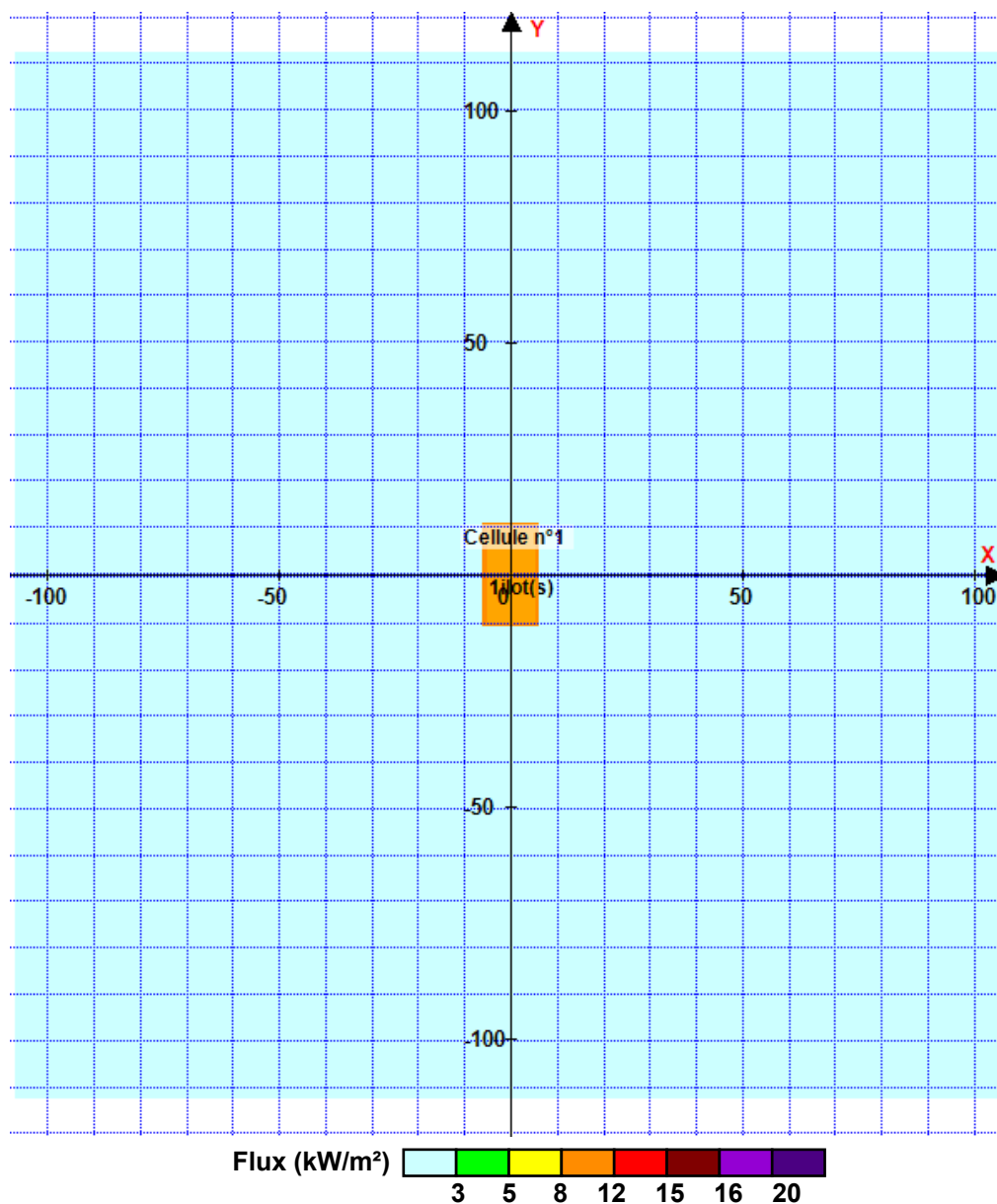
| Merlon n° | Hauteur (m) | Coordonnées du premier point | | Coordonnées du deuxième point | |
|-----------|-------------|------------------------------|--------|-------------------------------|--------|
| | | X1 (m) | Y1 (m) | X2 (m) | Y2 (m) |
| 1 | 0,0 | 0,0 | 0,0 | 0,0 | 0,0 |
| 2 | 0,0 | 0,0 | 0,0 | 0,0 | 0,0 |
| 3 | 0,0 | 0,0 | 0,0 | 0,0 | 0,0 |
| 4 | 0,0 | 0,0 | 0,0 | 0,0 | 0,0 |
| 5 | 0,0 | 0,0 | 0,0 | 0,0 | 0,0 |
| 6 | 0,0 | 0,0 | 0,0 | 0,0 | 0,0 |
| 7 | 0,0 | 0,0 | 0,0 | 0,0 | 0,0 |
| 8 | 0,0 | 0,0 | 0,0 | 0,0 | 0,0 |
| 9 | 0,0 | 0,0 | 0,0 | 0,0 | 0,0 |
| 10 | 0,0 | 0,0 | 0,0 | 0,0 | 0,0 |
| 11 | 0,0 | 0,0 | 0,0 | 0,0 | 0,0 |
| 12 | 0,0 | 0,0 | 0,0 | 0,0 | 0,0 |
| 13 | 0,0 | 0,0 | 0,0 | 0,0 | 0,0 |
| 14 | 0,0 | 0,0 | 0,0 | 0,0 | 0,0 |
| 15 | 0,0 | 0,0 | 0,0 | 0,0 | 0,0 |
| 16 | 0,0 | 0,0 | 0,0 | 0,0 | 0,0 |
| 17 | 0,0 | 0,0 | 0,0 | 0,0 | 0,0 |
| 18 | 0,0 | 0,0 | 0,0 | 0,0 | 0,0 |
| 19 | 0,0 | 0,0 | 0,0 | 0,0 | 0,0 |
| 20 | 0,0 | 0,0 | 0,0 | 0,0 | 0,0 |

II. RESULTATS :

Départ de l'incendie dans la cellule : **Cellule n°1**

Durée de l'incendie dans la cellule : Cellule n°1 **69,0** min

Distance d'effets des flux maximum



Pour information : Dans l'environnement proche de la flamme, le transfert convectif de chaleur ne peut être négligé. Il est donc préconisé pour de faibles distances d'effets comprises entre 1 et 5 m de retenir une distance d'effets de 5 m et pour celles comprises entre 6 m et 10 m de retenir 10 m.



Interface graphique v.5.3.1.1

Outil de calculV5.3

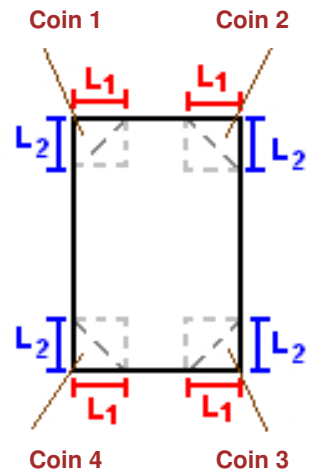
Flux Thermiques

Détermination des distances d'effets

| | |
|--|---|
| Utilisateur : | |
| Société : | EODD |
| Nom du Projet : | I11-Charbon_actif_usage_V3_1 |
| Cellule : | Incendie d'un big bag de charbon actif usagé au nord de la |
| Commentaire : | |
| Création du fichier de données d'entrée : | 18/03/2020 à 18:29:37 avec l'interface graphique v. 5.3.1.1 |
| Date de création du fichier de résultats : | 18/3/20 |

I. DONNEES D'ENTREE :**Donnée Cible**Hauteur de la cible : **1.8** m**Stockage à l'air libre****Oui****Géométrie Cellule1**

| Nom de la Cellule :Cellule n°1 | | | | |
|--|--------------------|------------|------------|--|
| Longueur maximum de la zone de stockage(m) | | 5.4 | | |
| Largeur maximum de la zone de stockage (m) | | 2.5 | | |
| Coin 1 | non tronqué | L1 (m) | 0.0 | |
| | | L2 (m) | 0.0 | |
| Coin 2 | non tronqué | L1 (m) | 0.0 | |
| | | L2 (m) | 0.0 | |
| Coin 3 | non tronqué | L1 (m) | 0.0 | |
| | | L2 (m) | 0.0 | |
| Coin 4 | non tronqué | L1 (m) | 0.0 | |
| | | L2 (m) | 0.0 | |



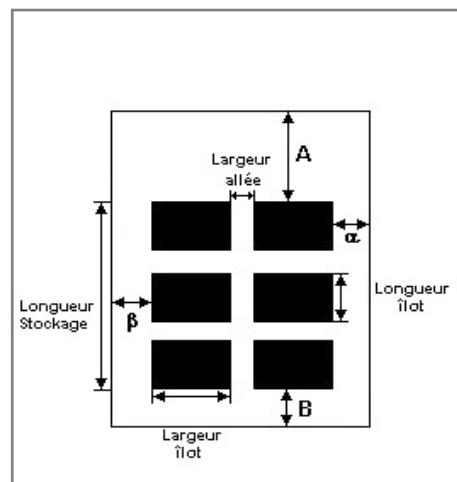
Stockage de la cellule : Cellule n°1

Mode de stockage

Masse

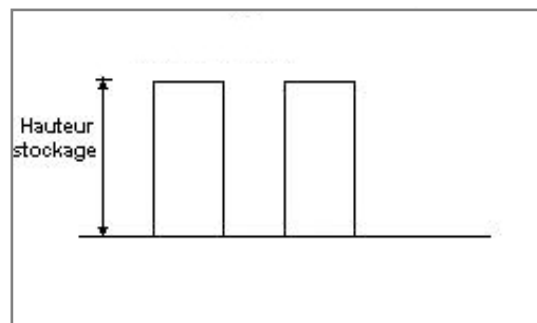
Dimensions

| | |
|---------------------------|-------|
| Longueur de préparation A | 0.0 m |
| Longueur de préparation B | 1.9 m |
| Déport latéral α | 0.0 m |
| Déport latéral β | 0.0 m |



Stockage en masse

| | |
|--|-------|
| Nombre d'îlots dans le sens de la longueur | 1 |
| Nombre d'îlots dans le sens de la largeur | 1 |
| Largeur des îlots | 2.5 m |
| Longueur des îlots | 3.5 m |
| Hauteur des îlots | 1.3 m |
| Largeur des allées entre îlots | 0.0 m |



Palette type de la cellule Cellule n°1

Dimensions Palette

| | |
|--------------------------|---------------------|
| Longueur de la palette : | 2.5 m |
| Largeur de la palette : | 3.5 m |
| Hauteur de la palette : | 1.3 m |
| Volume de la palette : | 11.4 m ³ |
| Nom de la palette : | |

Poids total de la palette : 219.0 kg

Composition de la Palette (Masse en kg)

| | | | | | | |
|-------|-----|-----|-----|-----|-----|-----|
| PS | NC | NC | NC | NC | NC | NC |
| 219.0 | 0.0 | 0.0 | 0.0 | 0.0 | 0.0 | 0.0 |

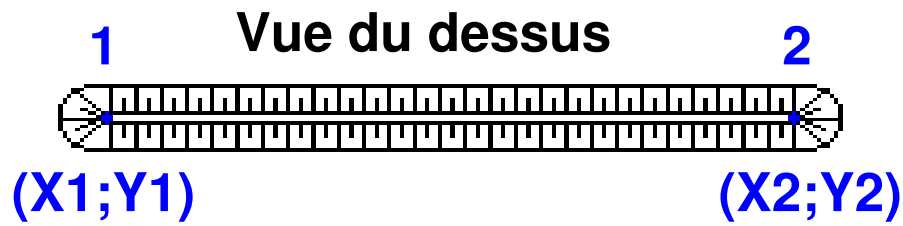
| | | | | | | |
|-----|-----|-----|-----|-----|-----|-----|
| NC | NC | NC | NC | NC | NC | NC |
| 0.0 | 0.0 | 0.0 | 0.0 | 0.0 | 0.0 | 0.0 |

| | | | |
|-----|-----|-----|-----|
| NC | NC | NC | NC |
| 0.0 | 0.0 | 0.0 | 0.0 |

Données supplémentaires

| | |
|-------------------------------------|-----------|
| Durée de combustion de la palette : | 59.3 min |
| Puissance dégagée par la palette : | 2015.2 kW |

Merlons



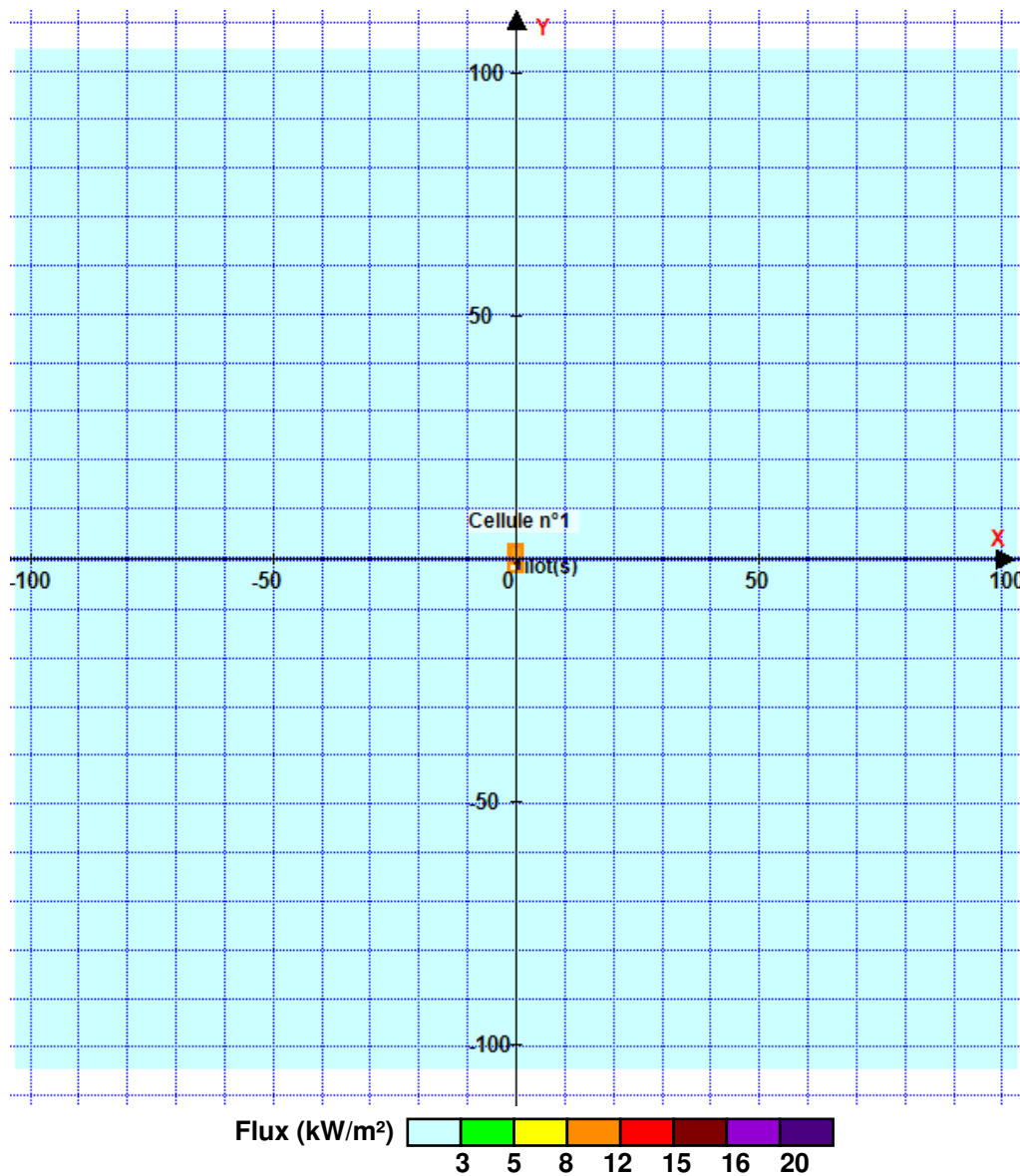
| Merlon n° | Hauteur (m) | Coordonnées du premier point | | Coordonnées du deuxième point | |
|-----------|-------------|------------------------------|--------|-------------------------------|--------|
| | | X1 (m) | Y1 (m) | X2 (m) | Y2 (m) |
| 1 | 0.0 | 0.0 | 0.0 | 0.0 | 0.0 |
| 2 | 0.0 | 0.0 | 0.0 | 0.0 | 0.0 |
| 3 | 0.0 | 0.0 | 0.0 | 0.0 | 0.0 |
| 4 | 0.0 | 0.0 | 0.0 | 0.0 | 0.0 |
| 5 | 0.0 | 0.0 | 0.0 | 0.0 | 0.0 |
| 6 | 0.0 | 0.0 | 0.0 | 0.0 | 0.0 |
| 7 | 0.0 | 0.0 | 0.0 | 0.0 | 0.0 |
| 8 | 0.0 | 0.0 | 0.0 | 0.0 | 0.0 |
| 9 | 0.0 | 0.0 | 0.0 | 0.0 | 0.0 |
| 10 | 0.0 | 0.0 | 0.0 | 0.0 | 0.0 |
| 11 | 0.0 | 0.0 | 0.0 | 0.0 | 0.0 |
| 12 | 0.0 | 0.0 | 0.0 | 0.0 | 0.0 |
| 13 | 0.0 | 0.0 | 0.0 | 0.0 | 0.0 |
| 14 | 0.0 | 0.0 | 0.0 | 0.0 | 0.0 |
| 15 | 0.0 | 0.0 | 0.0 | 0.0 | 0.0 |
| 16 | 0.0 | 0.0 | 0.0 | 0.0 | 0.0 |
| 17 | 0.0 | 0.0 | 0.0 | 0.0 | 0.0 |
| 18 | 0.0 | 0.0 | 0.0 | 0.0 | 0.0 |
| 19 | 0.0 | 0.0 | 0.0 | 0.0 | 0.0 |
| 20 | 0.0 | 0.0 | 0.0 | 0.0 | 0.0 |

II. RESULTATS :

Départ de l'incendie dans la cellule : **Cellule n°1**

Durée de l'incendie dans la cellule : Cellule n°1 **68.0** min

Distance d'effets des flux maximum



Pour information : Dans l'environnement proche de la flamme, le transfert convectif de chaleur ne peut être négligé. Il est donc préconisé pour de faibles distances d'effets comprises entre 1 et 5 m de retenir une distance d'effets de 5 m et pour celles comprises entre 6 m et 10 m de retenir 10 m.



Interface graphique v.5.3.1.1

Outil de calculV5.3

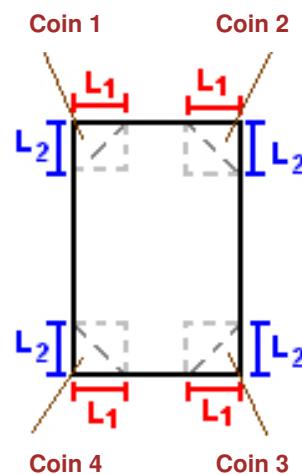
Flux Thermiques

Détermination des distances d'effets

| | |
|--|---|
| Utilisateur : | |
| Société : | EODD |
| Nom du Projet : | I12-Charbon_neuf_V2_1 |
| Cellule : | Stock charbon actif neuf |
| Commentaire : | Stockage de charbon actif neuf sur la VBTL |
| Création du fichier de données d'entrée : | 19/03/2020 à 09:11:51 avec l'interface graphique v. 5.3.1.1 |
| Date de création du fichier de résultats : | 19/3/20 |

I. DONNEES D'ENTREE :**Donnée Cible**Hauteur de la cible : **1.8** m**Stockage à l'air libre****Oui****Géométrie Cellule1**

| Nom de la Cellule :Cellule n°1 | | | | |
|--|--------------------|-------------|------------|--|
| Longueur maximum de la zone de stockage(m) | | 17.5 | | |
| Largeur maximum de la zone de stockage (m) | | 2.5 | | |
| Coin 1 | non tronqué | L1 (m) | 0.0 | |
| | | L2 (m) | 0.0 | |
| Coin 2 | non tronqué | L1 (m) | 0.0 | |
| | | L2 (m) | 0.0 | |
| Coin 3 | non tronqué | L1 (m) | 0.0 | |
| | | L2 (m) | 0.0 | |
| Coin 4 | non tronqué | L1 (m) | 0.0 | |
| | | L2 (m) | 0.0 | |



Stockage de la cellule : Cellule n°1

Mode de stockage

Masse

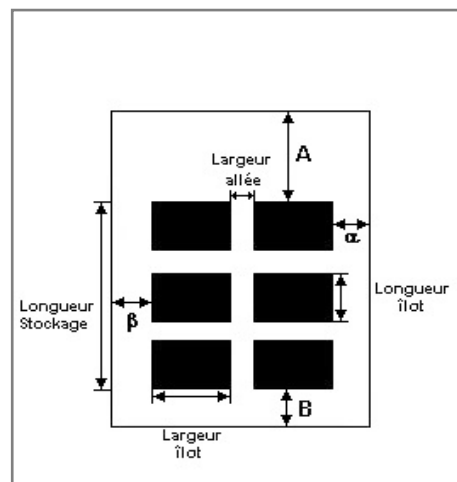
Dimensions

Longueur de préparation A 0.0 m

Longueur de préparation B 11.5 m

Déport latéral α 0.0 m

Déport latéral β 0.0 m



Stockage en masse

Nombre d'îlots dans le sens de la longueur 1

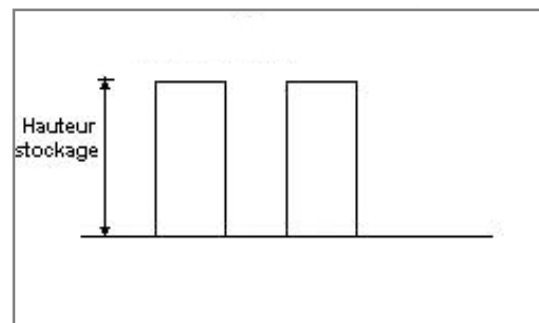
Nombre d'îlots dans le sens de la largeur 1

Largeur des îlots 2.5 m

Longueur des îlots 6.0 m

Hauteur des îlots 1.3 m

Largeur des allées entre îlots 0.0 m



Palette type de la cellule Cellule n°1

Dimensions Palette

Longueur de la palette : 2.5 m

Largeur de la palette : 3.5 m

Hauteur de la palette : 1.3 m

Volume de la palette : 11.4 m³

Nom de la palette :

Poids total de la palette : 219.0 kg

Composition de la Palette (Masse en kg)

| PS | NC | NC | NC | NC | NC | NC |
|-------|-----|-----|-----|-----|-----|-----|
| 219.0 | 0.0 | 0.0 | 0.0 | 0.0 | 0.0 | 0.0 |

| NC | NC | NC | NC | NC | NC | NC |
|-----|-----|-----|-----|-----|-----|-----|
| 0.0 | 0.0 | 0.0 | 0.0 | 0.0 | 0.0 | 0.0 |

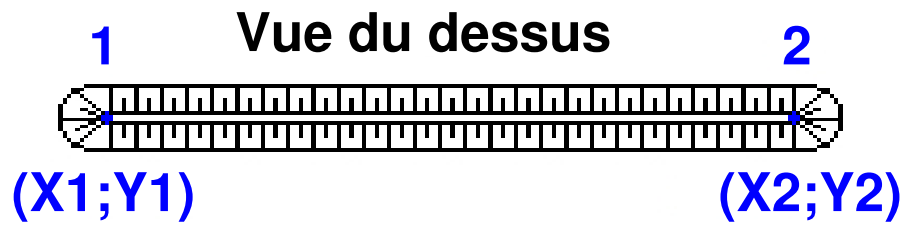
| NC | NC | NC | NC |
|-----|-----|-----|-----|
| 0.0 | 0.0 | 0.0 | 0.0 |

Données supplémentaires

Durée de combustion de la palette : 59.3 min

Puissance dégagée par la palette : 2015.2 kW

Merlons



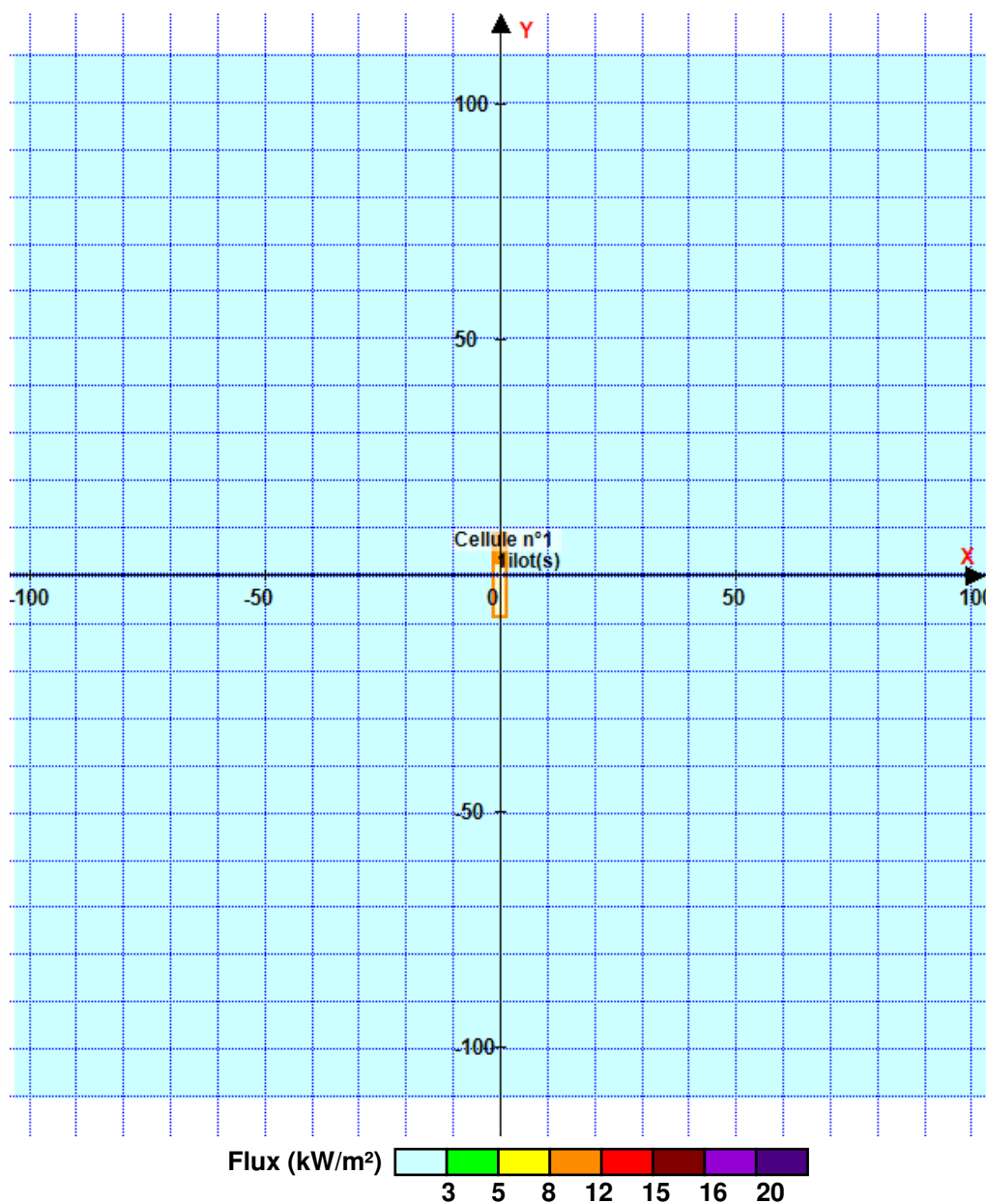
| Merlon n° | Hauteur (m) | Coordonnées du premier point | | Coordonnées du deuxième point | |
|-----------|-------------|------------------------------|--------|-------------------------------|--------|
| | | X1 (m) | Y1 (m) | X2 (m) | Y2 (m) |
| 1 | 0.0 | 0.0 | 0.0 | 0.0 | 0.0 |
| 2 | 0.0 | 0.0 | 0.0 | 0.0 | 0.0 |
| 3 | 0.0 | 0.0 | 0.0 | 0.0 | 0.0 |
| 4 | 0.0 | 0.0 | 0.0 | 0.0 | 0.0 |
| 5 | 0.0 | 0.0 | 0.0 | 0.0 | 0.0 |
| 6 | 0.0 | 0.0 | 0.0 | 0.0 | 0.0 |
| 7 | 0.0 | 0.0 | 0.0 | 0.0 | 0.0 |
| 8 | 0.0 | 0.0 | 0.0 | 0.0 | 0.0 |
| 9 | 0.0 | 0.0 | 0.0 | 0.0 | 0.0 |
| 10 | 0.0 | 0.0 | 0.0 | 0.0 | 0.0 |
| 11 | 0.0 | 0.0 | 0.0 | 0.0 | 0.0 |
| 12 | 0.0 | 0.0 | 0.0 | 0.0 | 0.0 |
| 13 | 0.0 | 0.0 | 0.0 | 0.0 | 0.0 |
| 14 | 0.0 | 0.0 | 0.0 | 0.0 | 0.0 |
| 15 | 0.0 | 0.0 | 0.0 | 0.0 | 0.0 |
| 16 | 0.0 | 0.0 | 0.0 | 0.0 | 0.0 |
| 17 | 0.0 | 0.0 | 0.0 | 0.0 | 0.0 |
| 18 | 0.0 | 0.0 | 0.0 | 0.0 | 0.0 |
| 19 | 0.0 | 0.0 | 0.0 | 0.0 | 0.0 |
| 20 | 0.0 | 0.0 | 0.0 | 0.0 | 0.0 |

II. RESULTATS :

Départ de l'incendie dans la cellule : **Cellule n°1**

Durée de l'incendie dans la cellule : Cellule n°1 **69.0** min

Distance d'effets des flux maximum



Pour information : Dans l'environnement proche de la flamme, le transfert convectif de chaleur ne peut être négligé. Il est donc préconisé pour de faibles distances d'effets comprises entre 1 et 5 m de retenir une distance d'effets de 5 m et pour celles comprises entre 6 m et 10 m de retenir 10 m.



Interface graphique v.5.3.1.1

Outil de calculV5.3

Flux Thermiques

Détermination des distances d'effets

| | |
|--|---|
| Utilisateur : | |
| Société : | EODD |
| Nom du Projet : | I15-Moteurs_1 |
| Cellule : | Containers moteur sur la VBTL |
| Commentaire : | |
| Création du fichier de données d'entrée : | 06/03/2020 à 09:32:39 avec l'interface graphique v. 5.3.1.1 |
| Date de création du fichier de résultats : | 6/3/20 |

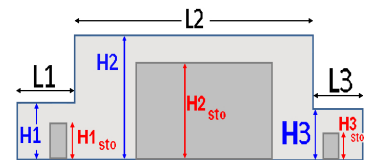
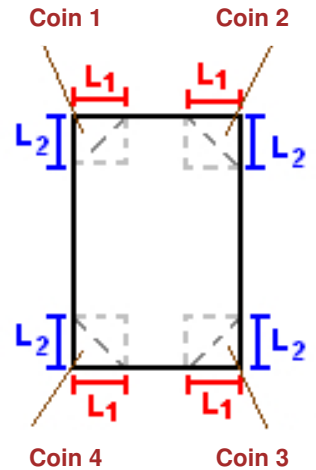
I. DONNEES D'ENTREE :

Donnée Cible

Hauteur de la cible : **1.8** m

Géométrie Cellule1

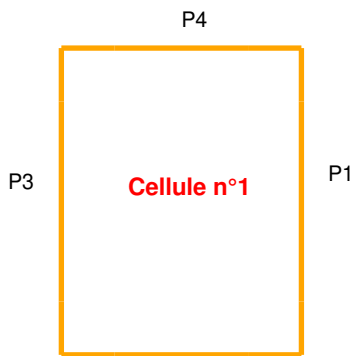
| Nom de la Cellule :Cellule n°1 | | | | |
|------------------------------------|-------------|--------|-----|--|
| Longueur maximum de la cellule (m) | | 12.0 | | |
| Largeur maximum de la cellule (m) | | 2.3 | | |
| Hauteur maximum de la cellule (m) | | 2.4 | | |
| Coin 1 | non tronqué | L1 (m) | 0.0 | |
| | | L2 (m) | 0.0 | |
| Coin 2 | non tronqué | L1 (m) | 0.0 | |
| | | L2 (m) | 0.0 | |
| Coin 3 | non tronqué | L1 (m) | 0.0 | |
| | | L2 (m) | 0.0 | |
| Coin 4 | non tronqué | L1 (m) | 0.0 | |
| | | L2 (m) | 0.0 | |
| Hauteur complexe | | | | |
| | 1 | 2 | 3 | |
| L (m) | 0.0 | 0.0 | 0.0 | |
| H (m) | 0.0 | 0.0 | 0.0 | |
| H sto (m) | 0.0 | 0.0 | 0.0 | |



Toiture

| | |
|-------------------------------------|-------------------------------|
| Résistance au feu des poutres (min) | 120 |
| Résistance au feu des pannes (min) | 120 |
| Matériaux constituant la couverture | metallique simple peau |
| Nombre d'exutoires | 0 |
| Longueur des exutoires (m) | 3.0 |
| Largeur des exutoires (m) | 2.0 |

Parois de la cellule : Cellule n°1

[illegible]

Stockage de la cellule : Cellule n°1

Mode de stockage **LI**
Masse totale de liquides inflammables **0.5** t

**Palette type de la cellule Cellule n°1****Dimensions Palette**

Longueur de la palette : **Sans Objet**
Largeur de la palette : **Sans Objet**
Hauteur de la palette : **Sans Objet**
Volume de la palette : **Sans Objet**
Nom de la palette : **Palette LI utilisateur**

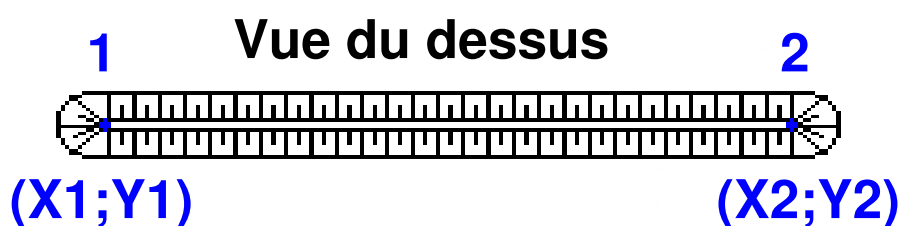
Poids total de la palette : **Par défaut**

La palette LI est définie par l'utilisateur.

Les données suivantes sont utilisées

Vitesse de combustion : **39** g/m²/s
Chaleur de combustion : **46.4** MJ/kg

Merlons



| Merlon n° | Hauteur (m) | Coordonnées du premier point | | Coordonnées du deuxième point | |
|-----------|-------------|------------------------------|--------|-------------------------------|--------|
| | | X1 (m) | Y1 (m) | X2 (m) | Y2 (m) |
| 1 | 0.0 | 0.0 | 0.0 | 0.0 | 0.0 |
| 2 | 0.0 | 0.0 | 0.0 | 0.0 | 0.0 |
| 3 | 0.0 | 0.0 | 0.0 | 0.0 | 0.0 |
| 4 | 0.0 | 0.0 | 0.0 | 0.0 | 0.0 |
| 5 | 0.0 | 0.0 | 0.0 | 0.0 | 0.0 |
| 6 | 0.0 | 0.0 | 0.0 | 0.0 | 0.0 |
| 7 | 0.0 | 0.0 | 0.0 | 0.0 | 0.0 |
| 8 | 0.0 | 0.0 | 0.0 | 0.0 | 0.0 |
| 9 | 0.0 | 0.0 | 0.0 | 0.0 | 0.0 |
| 10 | 0.0 | 0.0 | 0.0 | 0.0 | 0.0 |
| 11 | 0.0 | 0.0 | 0.0 | 0.0 | 0.0 |
| 12 | 0.0 | 0.0 | 0.0 | 0.0 | 0.0 |
| 13 | 0.0 | 0.0 | 0.0 | 0.0 | 0.0 |
| 14 | 0.0 | 0.0 | 0.0 | 0.0 | 0.0 |
| 15 | 0.0 | 0.0 | 0.0 | 0.0 | 0.0 |
| 16 | 0.0 | 0.0 | 0.0 | 0.0 | 0.0 |
| 17 | 0.0 | 0.0 | 0.0 | 0.0 | 0.0 |
| 18 | 0.0 | 0.0 | 0.0 | 0.0 | 0.0 |
| 19 | 0.0 | 0.0 | 0.0 | 0.0 | 0.0 |
| 20 | 0.0 | 0.0 | 0.0 | 0.0 | 0.0 |

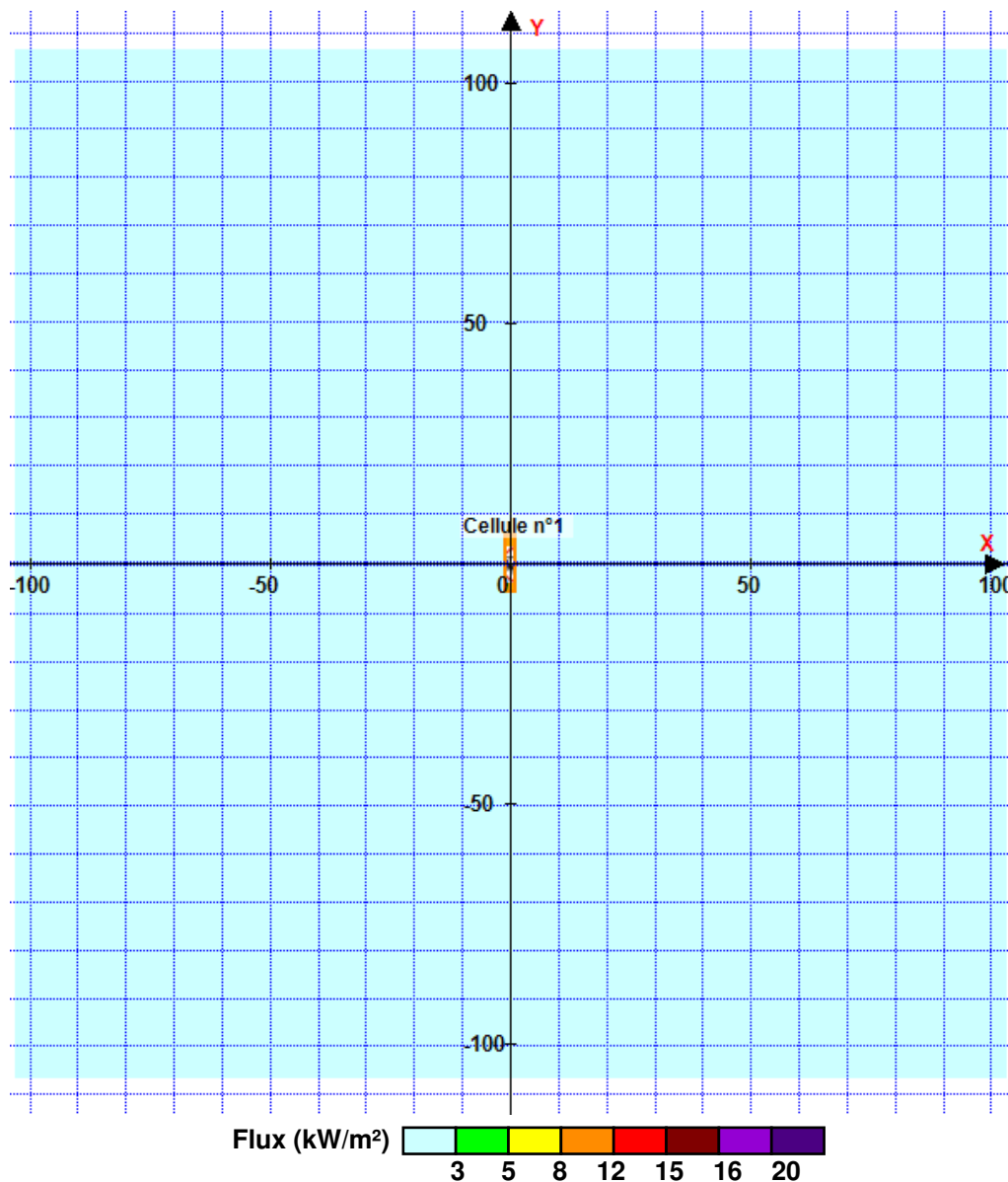
II. RESULTATS :

Départ de l'incendie dans la cellule : **Cellule n°1**

La cinétique de l'incendie n'est pas calculée pour les liquides inflammables.

Durée indicative de l'incendie dans la cellule LI : Cellule n°1 **7.7** min (durée de combustion calculée)

Distance d'effets des flux maximum



Pour information : Dans l'environnement proche de la flamme, le transfert convectif de chaleur ne peut être négligé. Il est donc préconisé pour de faibles distances d'effets comprises entre 1 et 5 m de retenir une distance d'effets de 5 m et pour celles comprises entre 6 m et 10 m de retenir 10 m.



Interface graphique v.5.4.0.5

Outil de calculV5.4

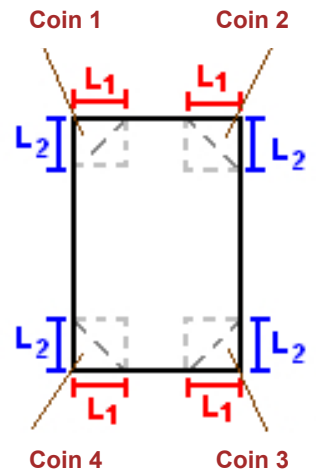
Flux Thermiques

Détermination des distances d'effets

| | |
|--|---|
| Utilisateur : | |
| Société : | EODD |
| Nom du Projet : | I14-Casier_exploit_V2_1 |
| Cellule : | Caisier en cours d'exploitation |
| Commentaire : | |
| Création du fichier de données d'entrée : | 20/11/2020 à 11:42:49 avec l'interface graphique v. 5.4.0.5 |
| Date de création du fichier de résultats : | 20/11/20 |

I. DONNEES D'ENTREE :**Donnée Cible**Hauteur de la cible : **1,8** m**Stockage à l'air libre****Oui****Géométrie Cellule1**

| Nom de la Cellule :Cellule n°1 | | | | |
|--|--------------------|--------------|------------|--|
| Longueur maximum de la zone de stockage(m) | | 100,0 | | |
| Largeur maximum de la zone de stockage (m) | | 50,0 | | |
| Coin 1 | non tronqué | L1 (m) | 0,0 | |
| | | L2 (m) | 0,0 | |
| Coin 2 | non tronqué | L1 (m) | 0,0 | |
| | | L2 (m) | 0,0 | |
| Coin 3 | non tronqué | L1 (m) | 0,0 | |
| | | L2 (m) | 0,0 | |
| Coin 4 | non tronqué | L1 (m) | 0,0 | |
| | | L2 (m) | 0,0 | |



Stockage de la cellule : Cellule n°1

Mode de stockage

Masse

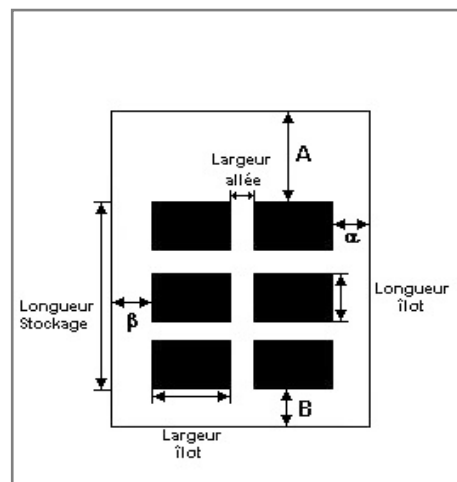
Dimensions

Longueur de préparation A 0,0 m

Longueur de préparation B 0,0 m

Déport latéral α 0,0 m

Déport latéral β 0,0 m



Stockage en masse

Nombre d'îlots dans le sens de la longueur 1

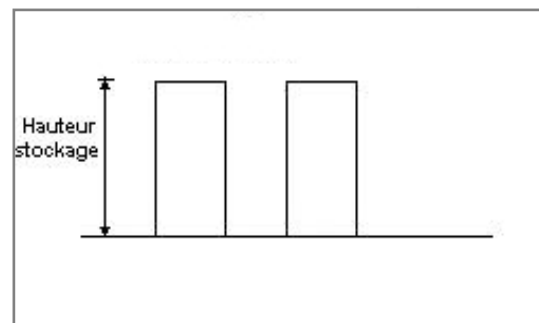
Nombre d'îlots dans le sens de la largeur 1

Largeur des îlots 50,0 m

Longueur des îlots 100,0 m

Hauteur des îlots 5,0 m

Largeur des allées entre îlots 0,0 m



Palette type de la cellule Cellule n°1

Dimensions Palette

Longueur de la palette : 2,0 m

Largeur de la palette : 2,0 m

Hauteur de la palette : 5,0 m

Volume de la palette : 20,0 m³

Nom de la palette :

Poids total de la palette : 12152,0 kg

Composition de la Palette (Masse en kg)

| Bois | PE | Carton | Eau | NC | NC | NC |
|-------|--------|--------|--------|-----|-----|-----|
| 347,0 | 6944,0 | 2083,0 | 2778,0 | 0,0 | 0,0 | 0,0 |

| NC | NC | NC | NC | NC | NC | NC |
|-----|-----|-----|-----|-----|-----|-----|
| 0,0 | 0,0 | 0,0 | 0,0 | 0,0 | 0,0 | 0,0 |

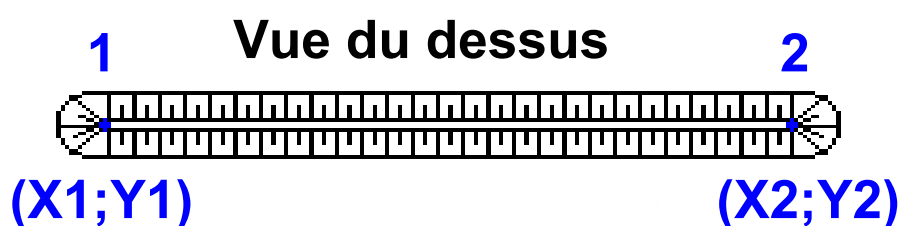
| NC | NC | NC | NC |
|-----|-----|-----|-----|
| 0,0 | 0,0 | 0,0 | 0,0 |

Données supplémentaires

Durée de combustion de la palette : 45,0 min

Puissance dégagée par la palette : 6657,9 kW

Merlons



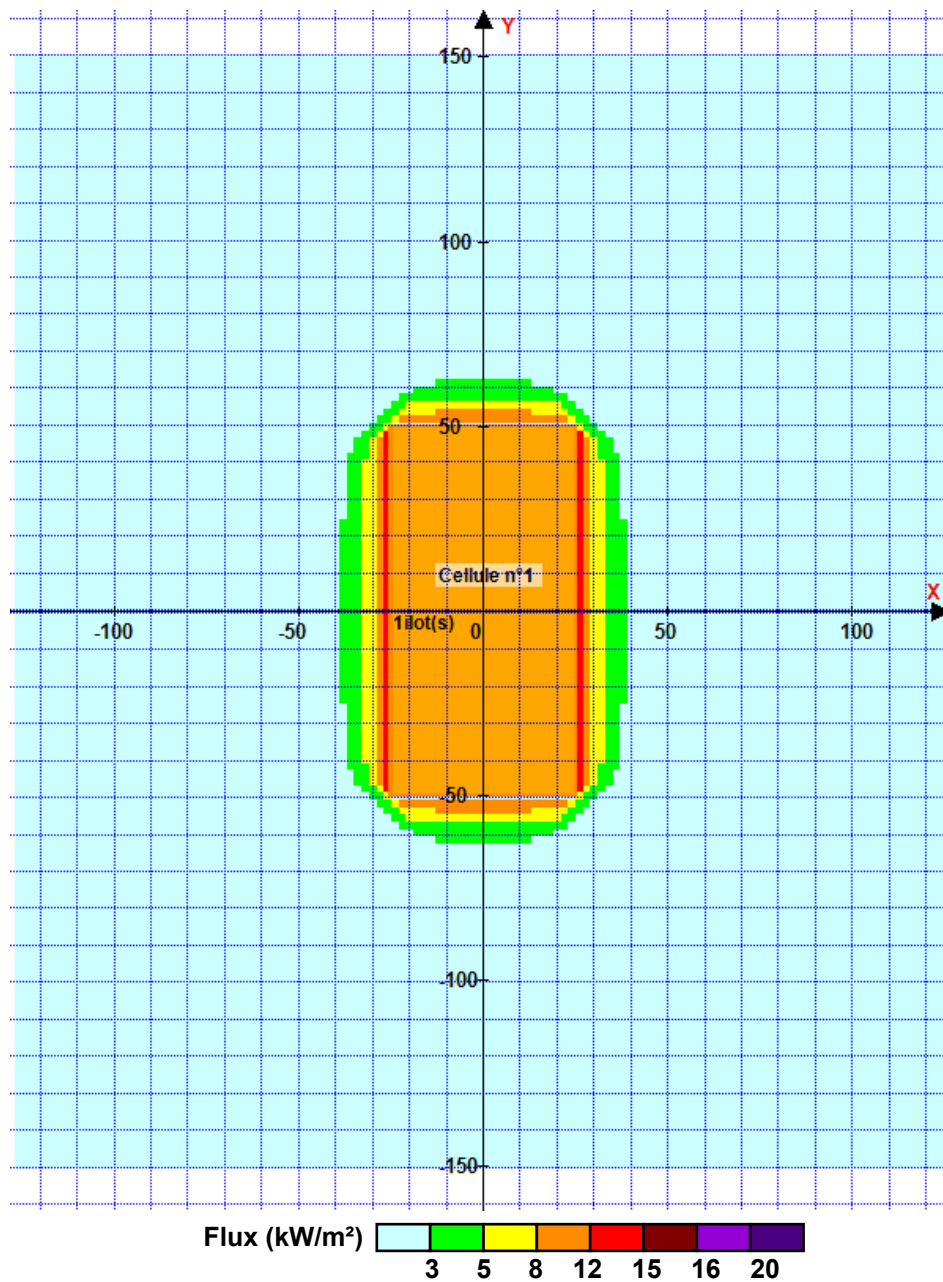
| Merlon n° | Hauteur (m) | Coordonnées du premier point | | Coordonnées du deuxième point | |
|-----------|-------------|------------------------------|--------|-------------------------------|--------|
| | | X1 (m) | Y1 (m) | X2 (m) | Y2 (m) |
| 1 | 0,0 | 0,0 | 0,0 | 0,0 | 0,0 |
| 2 | 0,0 | 0,0 | 0,0 | 0,0 | 0,0 |
| 3 | 0,0 | 0,0 | 0,0 | 0,0 | 0,0 |
| 4 | 0,0 | 0,0 | 0,0 | 0,0 | 0,0 |
| 5 | 0,0 | 0,0 | 0,0 | 0,0 | 0,0 |
| 6 | 0,0 | 0,0 | 0,0 | 0,0 | 0,0 |
| 7 | 0,0 | 0,0 | 0,0 | 0,0 | 0,0 |
| 8 | 0,0 | 0,0 | 0,0 | 0,0 | 0,0 |
| 9 | 0,0 | 0,0 | 0,0 | 0,0 | 0,0 |
| 10 | 0,0 | 0,0 | 0,0 | 0,0 | 0,0 |
| 11 | 0,0 | 0,0 | 0,0 | 0,0 | 0,0 |
| 12 | 0,0 | 0,0 | 0,0 | 0,0 | 0,0 |
| 13 | 0,0 | 0,0 | 0,0 | 0,0 | 0,0 |
| 14 | 0,0 | 0,0 | 0,0 | 0,0 | 0,0 |
| 15 | 0,0 | 0,0 | 0,0 | 0,0 | 0,0 |
| 16 | 0,0 | 0,0 | 0,0 | 0,0 | 0,0 |
| 17 | 0,0 | 0,0 | 0,0 | 0,0 | 0,0 |
| 18 | 0,0 | 0,0 | 0,0 | 0,0 | 0,0 |
| 19 | 0,0 | 0,0 | 0,0 | 0,0 | 0,0 |
| 20 | 0,0 | 0,0 | 0,0 | 0,0 | 0,0 |

II. RESULTATS :

Départ de l'incendie dans la cellule : **Cellule n°1**

Durée de l'incendie dans la cellule : Cellule n°1 **96,0** min

Distance d'effets des flux maximum



Pour information : Dans l'environnement proche de la flamme, le transfert convectif de chaleur ne peut être négligé. Il est donc préconisé pour de faibles distances d'effets comprises entre 1 et 5 m de retenir une distance d'effets de 5 m et pour celles comprises entre 6 m et 10 m de retenir 10 m.



Interface graphique v.5.4.0.5

Outil de calculV5.4

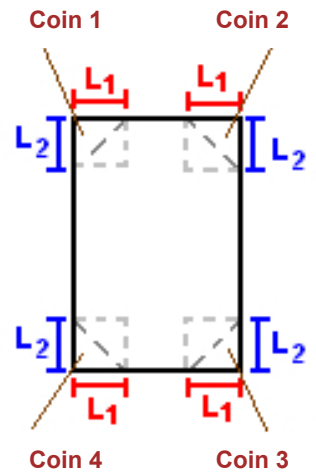
Flux Thermiques

Détermination des distances d'effets

| | |
|--|---|
| Utilisateur : | |
| Société : | EODD |
| Nom du Projet : | I14-Casier_exploit_H380cm_V2_1 |
| Cellule : | Caisier en cours d'exploitation |
| Commentaire : | |
| Création du fichier de données d'entrée : | 20/11/2020 à 13:44:57 avec l'interface graphique v. 5.4.0.5 |
| Date de création du fichier de résultats : | 20/11/20 |

I. DONNEES D'ENTREE :**Donnée Cible**Hauteur de la cible : **3,8** m**Stockage à l'air libre****Oui****Géométrie Cellule1**

| Nom de la Cellule :Cellule n°1 | | | | |
|--|--------------------|--------------|------------|--|
| Longueur maximum de la zone de stockage(m) | | 100,0 | | |
| Largeur maximum de la zone de stockage (m) | | 50,0 | | |
| Coin 1 | non tronqué | L1 (m) | 0,0 | |
| | | L2 (m) | 0,0 | |
| Coin 2 | non tronqué | L1 (m) | 0,0 | |
| | | L2 (m) | 0,0 | |
| Coin 3 | non tronqué | L1 (m) | 0,0 | |
| | | L2 (m) | 0,0 | |
| Coin 4 | non tronqué | L1 (m) | 0,0 | |
| | | L2 (m) | 0,0 | |



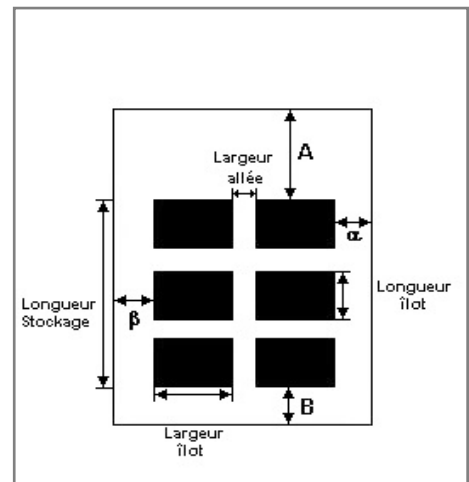
Stockage de la cellule : Cellule n°1

Mode de stockage

Masse

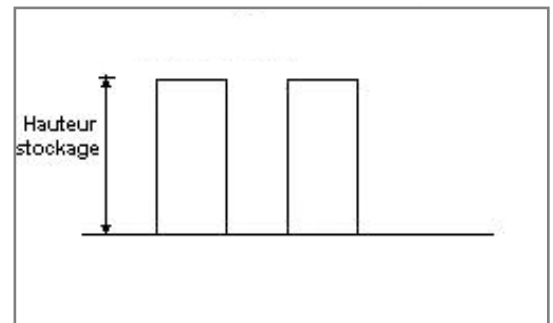
Dimensions

| | |
|---------------------------|-------|
| Longueur de préparation A | 0,0 m |
| Longueur de préparation B | 0,0 m |
| Déport latéral α | 0,0 m |
| Déport latéral β | 0,0 m |



Stockage en masse

| | |
|--|---------|
| Nombre d'îlots dans le sens de la longueur | 1 |
| Nombre d'îlots dans le sens de la largeur | 1 |
| Largeur des îlots | 50,0 m |
| Longueur des îlots | 100,0 m |
| Hauteur des îlots | 5,0 m |
| Largeur des allées entre îlots | 0,0 m |



Palette type de la cellule Cellule n°1

Dimensions Palette

| | |
|--------------------------|---------------------|
| Longueur de la palette : | 2,0 m |
| Largeur de la palette : | 2,0 m |
| Hauteur de la palette : | 5,0 m |
| Volume de la palette : | 20,0 m ³ |
| Nom de la palette : | |

Poids total de la palette : 12152,0 kg

Composition de la Palette (Masse en kg)

| Bois | PE | Carton | Eau | NC | NC | NC |
|-------|--------|--------|--------|-----|-----|-----|
| 347,0 | 6944,0 | 2083,0 | 2778,0 | 0,0 | 0,0 | 0,0 |

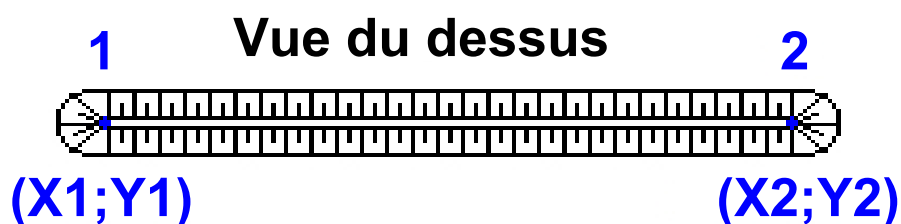
| NC | NC | NC | NC | NC | NC | NC |
|-----|-----|-----|-----|-----|-----|-----|
| 0,0 | 0,0 | 0,0 | 0,0 | 0,0 | 0,0 | 0,0 |

| NC | NC | NC | NC |
|-----|-----|-----|-----|
| 0,0 | 0,0 | 0,0 | 0,0 |

Données supplémentaires

| | |
|-------------------------------------|-----------|
| Durée de combustion de la palette : | 45,0 min |
| Puissance dégagée par la palette : | 6657,9 kW |

Merlons



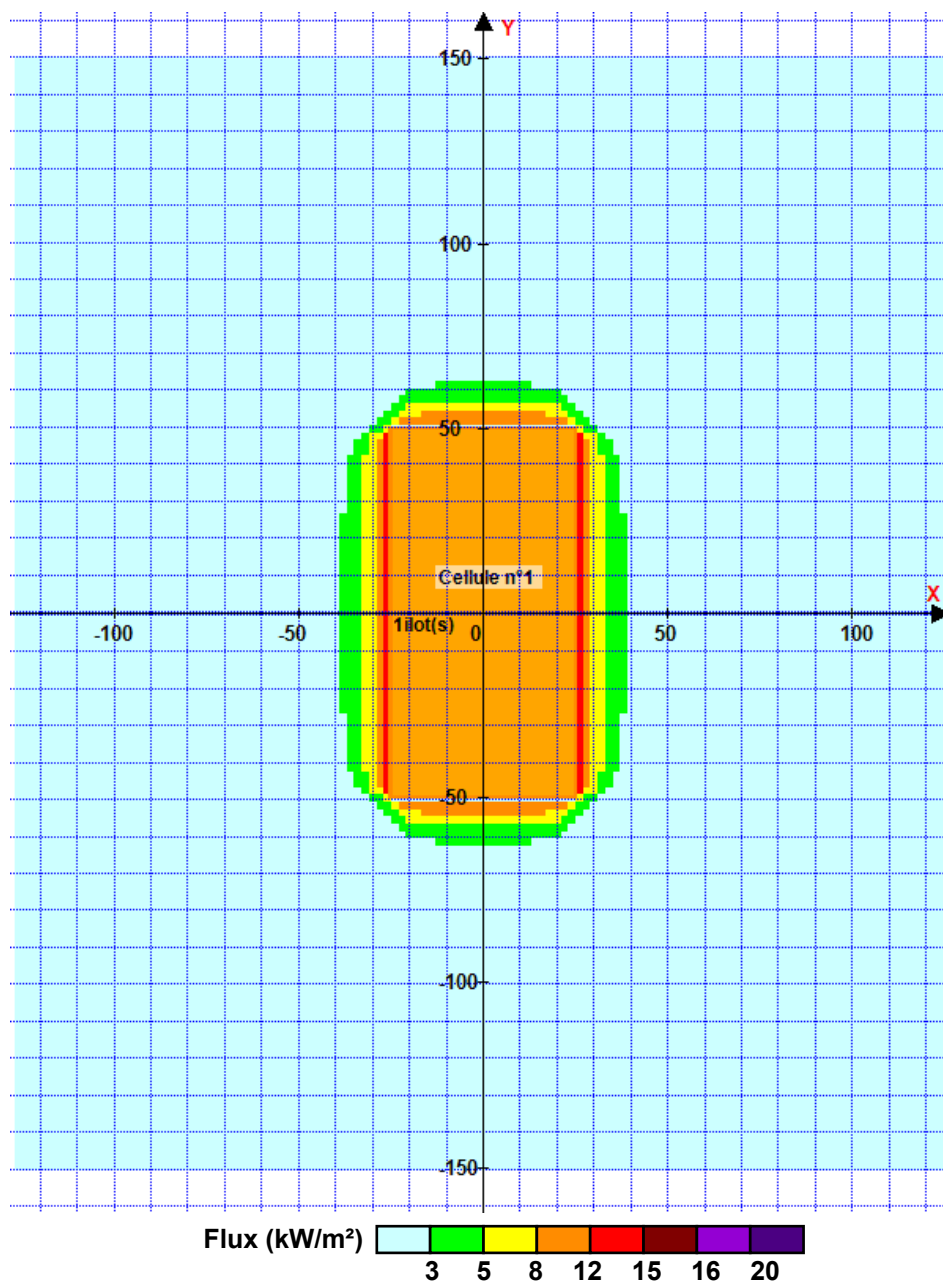
| Merlon n° | Hauteur (m) | Coordonnées du premier point | | Coordonnées du deuxième point | |
|-----------|-------------|------------------------------|--------|-------------------------------|--------|
| | | X1 (m) | Y1 (m) | X2 (m) | Y2 (m) |
| 1 | 0,0 | 0,0 | 0,0 | 0,0 | 0,0 |
| 2 | 0,0 | 0,0 | 0,0 | 0,0 | 0,0 |
| 3 | 0,0 | 0,0 | 0,0 | 0,0 | 0,0 |
| 4 | 0,0 | 0,0 | 0,0 | 0,0 | 0,0 |
| 5 | 0,0 | 0,0 | 0,0 | 0,0 | 0,0 |
| 6 | 0,0 | 0,0 | 0,0 | 0,0 | 0,0 |
| 7 | 0,0 | 0,0 | 0,0 | 0,0 | 0,0 |
| 8 | 0,0 | 0,0 | 0,0 | 0,0 | 0,0 |
| 9 | 0,0 | 0,0 | 0,0 | 0,0 | 0,0 |
| 10 | 0,0 | 0,0 | 0,0 | 0,0 | 0,0 |
| 11 | 0,0 | 0,0 | 0,0 | 0,0 | 0,0 |
| 12 | 0,0 | 0,0 | 0,0 | 0,0 | 0,0 |
| 13 | 0,0 | 0,0 | 0,0 | 0,0 | 0,0 |
| 14 | 0,0 | 0,0 | 0,0 | 0,0 | 0,0 |
| 15 | 0,0 | 0,0 | 0,0 | 0,0 | 0,0 |
| 16 | 0,0 | 0,0 | 0,0 | 0,0 | 0,0 |
| 17 | 0,0 | 0,0 | 0,0 | 0,0 | 0,0 |
| 18 | 0,0 | 0,0 | 0,0 | 0,0 | 0,0 |
| 19 | 0,0 | 0,0 | 0,0 | 0,0 | 0,0 |
| 20 | 0,0 | 0,0 | 0,0 | 0,0 | 0,0 |

II. RESULTATS :

Départ de l'incendie dans la cellule : **Cellule n°1**

Durée de l'incendie dans la cellule : Cellule n°1 **96,0** min

Distance d'effets des flux maximum



Pour information : Dans l'environnement proche de la flamme, le transfert convectif de chaleur ne peut être négligé. Il est donc préconisé pour de faibles distances d'effets comprises entre 1 et 5 m de retenir une distance d'effets de 5 m et pour celles comprises entre 6 m et 10 m de retenir 10 m.



Interface graphique v.5.3.1.1

Outil de calcul V5.3

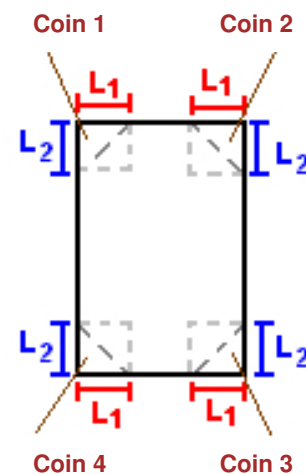
Flux Thermiques

Détermination des distances d'effets

| | |
|--|---|
| Utilisateur : | |
| Société : | EODD |
| Nom du Projet : | I15-Compostage_1 |
| Cellule : | Incendie d'un andin sur le plateforme de compostage |
| Commentaire : | |
| Création du fichier de données d'entrée : | 30/03/2020 à 16:51:34 avec l'interface graphique v. 5.3.1.1 |
| Date de création du fichier de résultats : | 30/3/20 |

I. DONNEES D'ENTREE :**Donnée Cible**Hauteur de la cible : **1.8** m**Stockage à l'air libre****Oui****Géométrie Cellule1**

| Nom de la Cellule :Cellule n°1 | | | | |
|--|--------------------|-------------|------------|--|
| Longueur maximum de la zone de stockage(m) | | 23.0 | | |
| Largeur maximum de la zone de stockage (m) | | 30.0 | | |
| Coin 1 | non tronqué | L1 (m) | 0.0 | |
| | | L2 (m) | 0.0 | |
| Coin 2 | non tronqué | L1 (m) | 0.0 | |
| | | L2 (m) | 0.0 | |
| Coin 3 | non tronqué | L1 (m) | 0.0 | |
| | | L2 (m) | 0.0 | |
| Coin 4 | non tronqué | L1 (m) | 0.0 | |
| | | L2 (m) | 0.0 | |



Stockage de la cellule : Cellule n°1

Mode de stockage

Masse

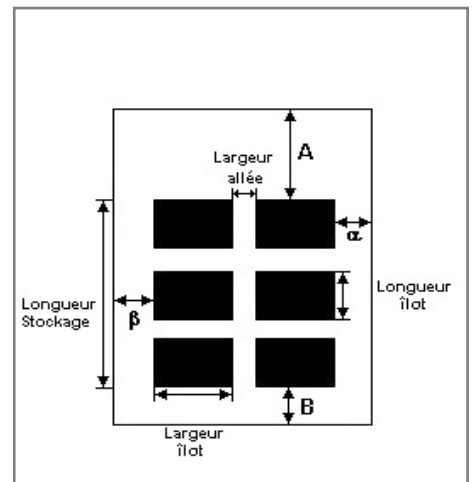
Dimensions

Longueur de préparation A 0.0 m

Longueur de préparation B 0.0 m

Déport latéral α 0.0 m

Déport latéral β 0.0 m



Stockage en masse

Nombre d'îlots dans le sens de la longueur 1

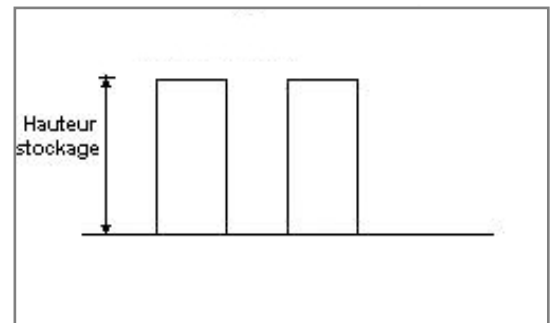
Nombre d'îlots dans le sens de la largeur 1

Largeur des îlots 30.0 m

Longueur des îlots 23.0 m

Hauteur des îlots 5.0 m

Largeur des allées entre îlots 0.0 m



Palette type de la cellule Cellule n°1

Dimensions Palette

Longueur de la palette : 4.0 m

Largeur de la palette : 4.0 m

Hauteur de la palette : 2.5 m

Volume de la palette : 40.0 m³

Nom de la palette :

Poids total de la palette : 16500.0 kg

Composition de la Palette (Masse en kg)

| Bois | Eau | NC | NC | NC | NC | NC |
|---------|--------|-----|-----|-----|-----|-----|
| 14300.0 | 2200.0 | 0.0 | 0.0 | 0.0 | 0.0 | 0.0 |

| NC | NC | NC | NC | NC | NC | NC |
|-----|-----|-----|-----|-----|-----|-----|
| 0.0 | 0.0 | 0.0 | 0.0 | 0.0 | 0.0 | 0.0 |

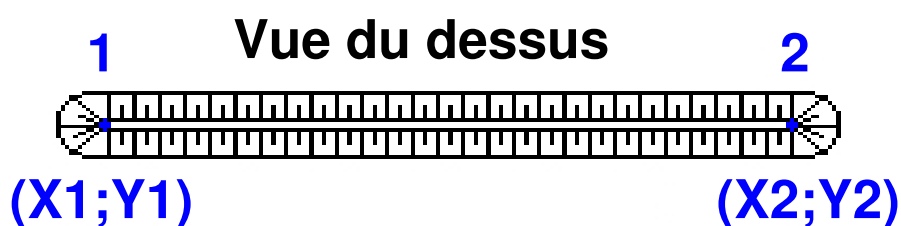
| NC | NC | NC | NC |
|-----|-----|-----|-----|
| 0.0 | 0.0 | 0.0 | 0.0 |

Données supplémentaires

Durée de combustion de la palette : 47.6 min

Puissance dégagée par la palette : 4640.0 kW

Merlons



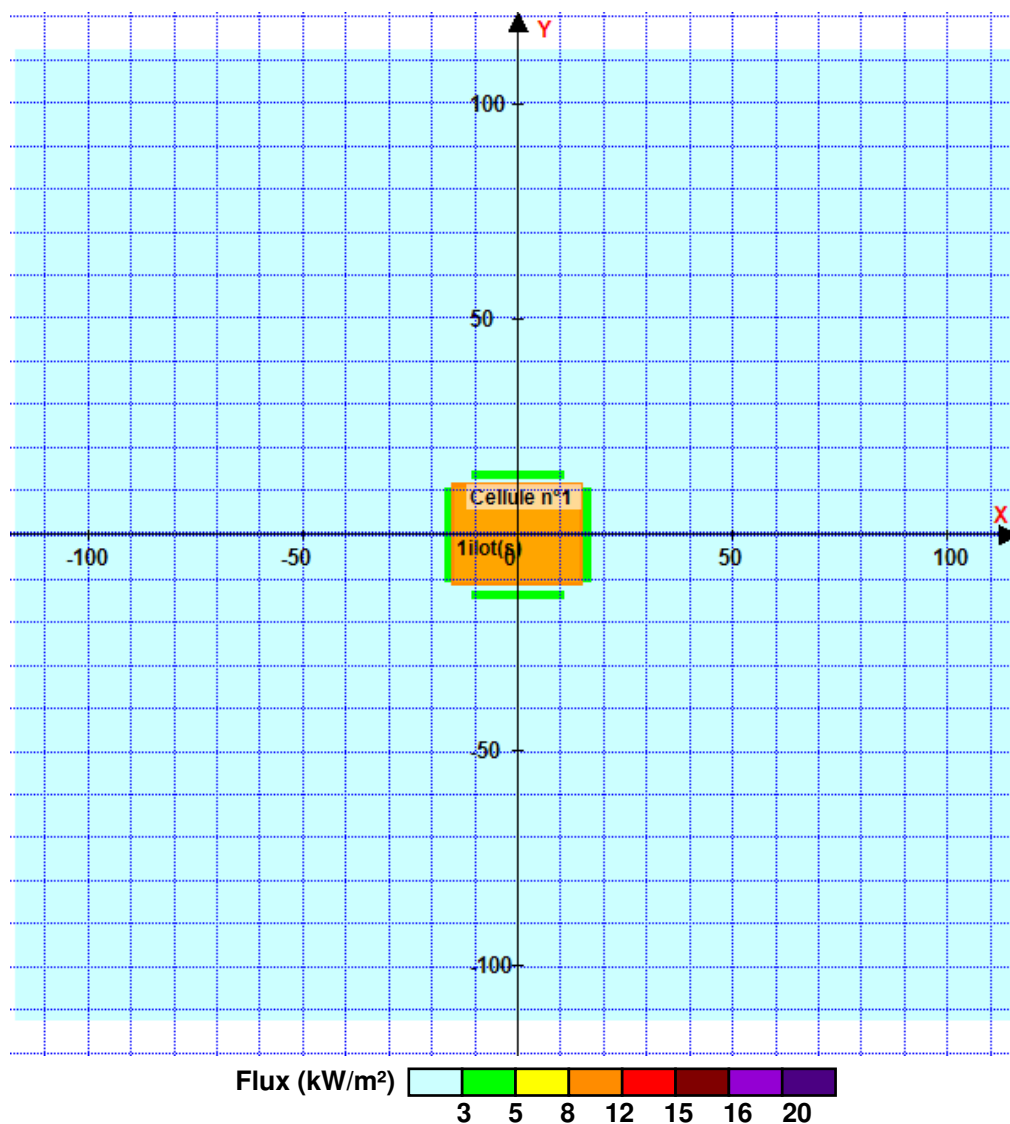
| Merlon n° | Hauteur (m) | Coordonnées du premier point | | Coordonnées du deuxième point | |
|-----------|-------------|------------------------------|--------|-------------------------------|--------|
| | | X1 (m) | Y1 (m) | X2 (m) | Y2 (m) |
| 1 | 0.0 | 0.0 | 0.0 | 0.0 | 0.0 |
| 2 | 0.0 | 0.0 | 0.0 | 0.0 | 0.0 |
| 3 | 0.0 | 0.0 | 0.0 | 0.0 | 0.0 |
| 4 | 0.0 | 0.0 | 0.0 | 0.0 | 0.0 |
| 5 | 0.0 | 0.0 | 0.0 | 0.0 | 0.0 |
| 6 | 0.0 | 0.0 | 0.0 | 0.0 | 0.0 |
| 7 | 0.0 | 0.0 | 0.0 | 0.0 | 0.0 |
| 8 | 0.0 | 0.0 | 0.0 | 0.0 | 0.0 |
| 9 | 0.0 | 0.0 | 0.0 | 0.0 | 0.0 |
| 10 | 0.0 | 0.0 | 0.0 | 0.0 | 0.0 |
| 11 | 0.0 | 0.0 | 0.0 | 0.0 | 0.0 |
| 12 | 0.0 | 0.0 | 0.0 | 0.0 | 0.0 |
| 13 | 0.0 | 0.0 | 0.0 | 0.0 | 0.0 |
| 14 | 0.0 | 0.0 | 0.0 | 0.0 | 0.0 |
| 15 | 0.0 | 0.0 | 0.0 | 0.0 | 0.0 |
| 16 | 0.0 | 0.0 | 0.0 | 0.0 | 0.0 |
| 17 | 0.0 | 0.0 | 0.0 | 0.0 | 0.0 |
| 18 | 0.0 | 0.0 | 0.0 | 0.0 | 0.0 |
| 19 | 0.0 | 0.0 | 0.0 | 0.0 | 0.0 |
| 20 | 0.0 | 0.0 | 0.0 | 0.0 | 0.0 |

II. RESULTATS :

Départ de l'incendie dans la cellule : **Cellule n°1**

Durée de l'incendie dans la cellule : Cellule n°1 **95.0** min

Distance d'effets des flux maximum



Pour information : Dans l'environnement proche de la flamme, le transfert convectif de chaleur ne peut être négligé. Il est donc préconisé pour de faibles distances d'effets comprises entre 1 et 5 m de retenir une distance d'effets de 5 m et pour celles comprises entre 6 m et 10 m de retenir 10 m.

Input Report

Workspace: SEPTEME_Phast model2

SEPTEME EDD

Study

SEPTEME_Phast model2

| Tab | Group | Field | Value | Units |
|----------------------------|-----------------------------|--|-------------------------|-------|
| Context of calculations | Selection of context | Weathers to use for this study | Weather folder | |
| | | Parameters to use for this study | Parameter set | |
| | | Obstructions to use for this study | | |
| Bund, building and terrain | Terrain and bund definition | Type of terrain for dispersion | Land | |
| | | Type of pool substrate and bunds | Concrete, no bund | |
| Toxic parameters | Indoor toxic calculations | Specify the downwind building type | Unselected | |
| | | Building type (downwind building type) | Buildings\Building type | |
| Dispersion | Distances of interest | Distances of interest | | m |

JET FIRE - 250 mm

Pressure vessel

SEPTEME_Phast model2\SEPTEME EDD

| Tab | Group | Field | Value | Units |
|----------|----------|---------------------------|----------------------|----------|
| Material | Material | Material | Biogaz | |
| | | Specify volume inventory? | No | |
| | | Mass inventory | 500 | kg |
| | | Volume inventory | 425,877 | m3 |
| | | Material to track | Biogaz | |
| | Phase | Specified condition | Pressure/temperature | |
| | | Temperature | 15 | degC |
| | | Pressure (gauge) | 0,2 | bar |
| | | Fluid state | Vapour | |
| | | Liquid mole fraction | 0 | fraction |



| | | | | |
|-----------------------|---|--|---|-----|
| Scenario | Pipe dimensions | Pipe length | 10 | m |
| | Release location | Elevation | 2 | m |
| | | Tank head | 0 | m |
| | Direction | Outdoor release direction | Horizontal | |
| | | Outdoor release angle | 0 | deg |
| Discharge parameters | Model settings | Atmospheric expansion method | DNV GL recommended | |
| | | Phase change upstream of orifice? | Disallow liquid phase change only (metastable liquid) | |
| | Droplet break-up mechanism | Droplet break-up mechanism - instantaneous | Use flashing correlation | |
| | | Droplet break-up mechanism - continuous | Do not force correlation | |
| Short pipe | Pipe characteristics | Pipe roughness | 0,045 | mm |
| | Frequencies | Frequency of bends in pipe | 0 | /m |
| | | Frequency of couplings in pipe | 0 | /m |
| | | Frequency of junctions in pipe | 0 | /m |
| | Frequencies of valves | Frequency of excess flow valves | 0 | /m |
| | | Frequency of non-return valves | 0 | /m |
| | | Frequency of shut-off valves | 0 | /m |
| | Velocity head losses | Excess flow valve velocity head losses | 0 | |
| | | Non-return valve velocity head losses | 0 | |
| | | Shut-off valve velocity head losses | 0 | |
| Time varying releases | Modelling of time-varying leaks and line ruptures | Vacuum relief valve | Operating | |
| | | Vacuum relief valve set point | 0 | bar |
| | Inventory data for time-varying releases | Tank volume | 425,877 | m3 |
| | | Tank vapour volume | 425,877 | m3 |
| | | Tank liquid volume | 0 | m3 |
| | | Tank liquid level | 0 | m |
| | | Maximum vapour release height | | m |
| | | Minimum mass inventory | 0,1 | kg |
| | | Maximum mass inventory | 1E+09 | kg |
| | Safety system modelling for time-varying releases | Safety system modelling (isolation and blowdown) | No | |

| | | | | |
|----------------------------|--|--|--------------------------------|-------------------|
| Dispersion | Dispersion scope | Concentration of interest | | ppm |
| | | Averaging time for concentration of interest | | |
| | | Specify user-defined averaging time | No | |
| | | User defined averaging time | | s |
| | Distances of interest | Distances of interest | | m |
| | Averaging time for reports | ERPG [1 hr] | No | |
| | | IDLH [30 mins] | No | |
| | | STEL [15 mins] | No | |
| Bund, building and terrain | Terrain and bund definition | Type of terrain for dispersion | Land | |
| | | Type of pool substrate and bunds | Concrete, no bund | |
| | Building definition | Release building | | |
| | | In-building release? | Outdoor | |
| | | Building wake effect | Roof/lee | |
| | | Wind or release angle from North | 0 deg | |
| | | Handling of droplets | Trapped | |
| | | Indoor mass modification factor | 3 | |
| Explosion parameters | Explosion method (Consequence calculations only) | Explosion method | Multi-Energy: Uniform confined | |
| | Ignition | Supply late ignition location | No ignition location | |
| | | Location of late ignition | | m |
| | Vapour liquid method | Use explosion mass modification factor | Yes | |
| | | Explosion mass modification factor | 3 | |
| Fireball | Result types to calculate | Calculate probit | No | |
| | | Calculate dose | No | |
| | | Calculate lethality | No | |
| | Radiation levels | Number of input radiation levels | 3 | |
| | | Intensity levels | 4; 12,5; 37,5 | kW/m ² |
| | | Probit levels | 2,73; 3,72; 7,5 | |
| | | Dose levels | 1,27E+06; 5,8E+06; 2,51E+07 | |
| | | Lethality levels | 0,01; 0,1; 0,99 | fraction |
| | Parameters | Mass modification factor | 3 | |

| | | | | |
|-----------|---------------------------|---|-----------------------------|-------------------|
| | | Fireball maximum exposure duration | 20 | s |
| | Calculation method | Fireball model | Martinsen time varying | |
| | | TNO model flame temperature | 1726,85 | degC |
| Jet fire | Jet fire method | Jet fire method | Cone model | |
| | Result types to calculate | Calculate probit | No | |
| | | Calculate dose | No | |
| | | Calculate lethality | No | |
| | Radiation levels | Number of input radiation levels | 3 | |
| | | Intensity levels | 3; 5; 8 | kW/m ² |
| | | Probit levels | 2,73; 3,72; 7,5 | |
| | | Dose levels | 1,27E+06; 5,8E+06; 2,51E+07 | |
| | | Lethality levels | 0,01; 0,1; 0,99 | fraction |
| | Parameters | Rate modification factor | 3 | |
| | | Jet fire maximum exposure duration | 20 | s |
| | Cone model data | Crosswind angle | 0 | deg |
| | | Horizontal options | Use standard method | |
| | | Correlation | Recommended | |
| | | Flame-shape adjustment if grounded | Yes | |
| | Surface emissive power | Calculation method for surface emissive power | Calculate SEP | |
| | | Flame emissive power | | kW/m ² |
| | | Emissivity fraction | | fraction |
| Pool fire | Result types to calculate | Calculate probit | No | |
| | | Calculate dose | No | |
| | | Calculate lethality | No | |
| | Radiation levels | Number of input radiation levels | 3 | |
| | | Intensity levels | 4; 12,5; 37,5 | kW/m ² |
| | | Probit levels | 2,73; 3,72; 7,5 | |
| | | Dose levels | 1,27E+06; 5,8E+06; 2,51E+07 | |
| | | Lethality levels | 0,01; 0,1; 0,99 | fraction |

| Parameters | | Radiative fraction for general fires | 0,4 | fraction |
|------------|----------|--------------------------------------|-----|----------|
| | | Pool fire maximum exposure duration | 20 | s |
| Geometry | Geometry | East | 0 | m |
| | | North | 0 | m |

Brèche 50 mm

Short pipe

SEPTEME_Phast model2\SEPTEME EDD\JET FIRE - 250 mm

| Tab | Group | Field | Value | Units |
|----------------------|----------------------------|--|--------------------------|-------|
| Scenario | Scenario | Scenario type | Relief valve | |
| | Pipe dimensions | Pipe internal diameter | 250 | mm |
| | | Pipe length | 10 | m |
| | Hole | Orifice diameter | 50 | mm |
| | Release location | Elevation | 2 | m |
| | | Tank head | 0 | m |
| | Flow control | Flow controller | None | |
| | | Input option | Not applicable | |
| | | Fixed flow rate | | kg/s |
| | | Pump head | | m |
| | Direction | Outdoor release direction | Horizontal | |
| | | Outdoor release angle | 0 | deg |
| Material | Material | Material characteristics | Flammable only | |
| | | Material to track | Biogaz | |
| | | Type of risk effects to model | Flammable only | |
| | Phase | Phase to be released | Vapour | |
| Discharge parameters | Model settings | Atmospheric expansion method | DNV GL recommended | |
| | Droplet break-up mechanism | Droplet break-up mechanism - instantaneous | Use flashing correlation | |
| | | Droplet break-up mechanism - continuous | Do not force correlation | |
| Short pipe | Pipe characteristics | Pipe roughness | 0,045 | mm |
| | Frequencies | Frequency of bends in pipe | 0 | /m |
| | | Frequency of couplings in pipe | 0 | /m |

| | | | | |
|----------------------------|-----------------------------|--|----------------------------|----------|
| | | Frequency of junctions in pipe | 0 | /m |
| | Frequencies of valves | Frequency of excess flow valves | 0 | /m |
| | | Frequency of non-return valves | 0 | /m |
| | | Frequency of shut-off valves | 0 | /m |
| | Velocity head losses | Excess flow valve velocity head losses | 0 | |
| | | Non-return valve velocity head losses | 0 | |
| | | Shut-off valve velocity head losses | 0 | |
| Dispersion | Dispersion scope | Concentration of interest | | ppm |
| | | Averaging time for concentration of interest | | |
| | | Specify user-defined averaging time | No | |
| | | User defined averaging time | | s |
| | Distances of interest | Distances of interest | | m |
| | Averaging time for reports | ERPG [1 hr] | No | |
| | | IDLH [30 mins] | No | |
| | | STEL [15 mins] | No | |
| Bund, building and terrain | Terrain and bund definition | Type of terrain for dispersion | Land | |
| | | Type of pool substrate and bunds | Concrete, no bund | |
| Explosion parameters | Explosion method | Explosion method | Multi-Energy: User-defined | |
| | Ignition | Supply late ignition location | No ignition location | |
| | | Location of late ignition | | m |
| | Vapour liquid method | Use explosion mass modification factor | Yes | |
| | | Explosion mass modification factor | 3 | |
| Multi-Energy | Multi-Energy: User-defined | Unconfined explosion strength | 5 | |
| | | Unconfined explosion efficiency | 100 | % |
| | Confined explosion sources | Number of confined sources | 0 | |
| | | Option for specifying size of confined sources | Use volumes | |
| | | Strength of confined source | | |
| | | Volume of confined source | | m3 |
| | | Volume fraction of confined source | | fraction |
| Fireball | Result types to calculate | Calculate probit | No | |

| | | | | |
|-----------|---------------------------|---|-----------------------------|-------------------|
| | | Calculate dose | No | |
| | | Calculate lethality | No | |
| | Radiation levels | Number of input radiation levels | 3 | |
| | | Intensity levels | 4; 12,5; 37,5 | kW/m ² |
| | | Probit levels | 2,73; 3,72; 7,5 | |
| | | Dose levels | 1,27E+06; 5,8E+06; 2,51E+07 | |
| | | Lethality levels | 0,01; 0,1; 0,99 | fraction |
| | Parameters | Mass modification factor | 3 | |
| | | Fireball maximum exposure duration | 20 | s |
| | Calculation method | Fireball model | Martinsen time varying | |
| | | TNO model flame temperature | 1726,85 | degC |
| Jet fire | Jet fire method | Jet fire method | Cone model | |
| | Result types to calculate | Calculate probit | No | |
| | | Calculate dose | No | |
| | | Calculate lethality | No | |
| | Radiation levels | Number of input radiation levels | 3 | |
| | | Intensity levels | 3; 5; 8 | kW/m ² |
| | | Probit levels | 2,73; 3,72; 7,5 | |
| | | Dose levels | 1,27E+06; 5,8E+06; 2,51E+07 | |
| | | Lethality levels | 0,01; 0,1; 0,99 | fraction |
| | Parameters | Rate modification factor | 3 | |
| | | Jet fire maximum exposure duration | 20 | s |
| | Cone model data | Correlation | Recommended | |
| | | Horizontal options | Use standard method | |
| | | Flame-shape adjustment if grounded | Yes | |
| | Surface emissive power | Calculation method for surface emissive power | Calculate SEP | |
| | | Flame emissive power | | kW/m ² |
| | | Emissivity fraction | | fraction |
| Pool fire | Result types to calculate | Calculate probit | No | |

| | | | | |
|--|------------------|--------------------------------------|--------------------------------|-------------------|
| | | Calculate dose | No | |
| | | Calculate lethality | No | |
| | Radiation levels | Number of input radiation levels | 3 | |
| | | Intensity levels | 4; 12,5; 37,5 | kW/m ² |
| | | Probit levels | 2,73; 3,72; 7,5 | |
| | | Dose levels | 1,27E+06; 5,8E+06; 2,51E+07 | |
| | | Lethality levels | 0,01; 0,1; 0,99 | fraction |
| | Parameters | Radiative fraction for general fires | 0,4 | fraction |
| | | Pool fire maximum exposure duration | 20 | s |

Input Report

Workspace: SEPTEME_Phast model2

SEPTEME EDD

Study

SEPTEME_Phast model2

| Tab | Group | Field | Value | Units |
|----------------------------|-----------------------------|--|-------------------------|-------|
| Context of calculations | Selection of context | Weathers to use for this study | Weather folder | |
| | | Parameters to use for this study | Parameter set | |
| | | Obstructions to use for this study | | |
| Bund, building and terrain | Terrain and bund definition | Type of terrain for dispersion | Land | |
| | | Type of pool substrate and bunds | Concrete, no bund | |
| Toxic parameters | Indoor toxic calculations | Specify the downwind building type | Unselected | |
| | | Building type (downwind building type) | Buildings\Building type | |
| Dispersion | Distances of interest | Distances of interest | | m |

Feu de déchèterie

Pressure vessel

SEPTEME_Phast model2\SEPTEME EDD

| Tab | Group | Field | Value | Units |
|----------|----------|---------------------------|----------------------|----------|
| Material | Material | Material | Fumées déchèterie | |
| | | Specify volume inventory? | No | |
| | | Mass inventory | 1E+12 | kg |
| | | Volume inventory | | m3 |
| | | Material to track | Fumées déchèterie | |
| | Phase | Specified condition | Pressure/temperature | |
| | | Temperature | | degC |
| | | Pressure (gauge) | | bar |
| | | Fluid state | Liquid | |
| | | Liquid mole fraction | 1 | fraction |



| | | | | |
|-----------------------|---|--|---|-----|
| Scenario | Pipe dimensions | Pipe length | | m |
| | Release location | Elevation | 1 | m |
| | | Tank head | 0 | m |
| | Direction | Outdoor release direction | Horizontal | |
| | | Outdoor release angle | 0 | deg |
| Discharge parameters | Model settings | Atmospheric expansion method | DNV GL recommended | |
| | | Phase change upstream of orifice? | Disallow liquid phase change only (metastable liquid) | |
| | Droplet break-up mechanism | Droplet break-up mechanism - instantaneous | Use flashing correlation | |
| | | Droplet break-up mechanism - continuous | Do not force correlation | |
| Short pipe | Pipe characteristics | Pipe roughness | 0,045 | mm |
| | Frequencies | Frequency of bends in pipe | 0 | /m |
| | | Frequency of couplings in pipe | 0 | /m |
| | | Frequency of junctions in pipe | 0 | /m |
| | Frequencies of valves | Frequency of excess flow valves | 0 | /m |
| | | Frequency of non-return valves | 0 | /m |
| | | Frequency of shut-off valves | 0 | /m |
| | Velocity head losses | Excess flow valve velocity head losses | 0 | |
| | | Non-return valve velocity head losses | 0 | |
| | | Shut-off valve velocity head losses | 0 | |
| Time varying releases | Modelling of time-varying leaks and line ruptures | Vacuum relief valve | Operating | |
| | | Vacuum relief valve set point | 0 | bar |
| | Inventory data for time-varying releases | Tank volume | | m3 |
| | | Tank vapour volume | | m3 |
| | | Tank liquid volume | | m3 |
| | | Tank liquid level | | m |
| | | Maximum vapour release height | | m |
| | | Minimum mass inventory | 0,1 | kg |
| | | Maximum mass inventory | | kg |
| | Safety system modelling for time-varying releases | Safety system modelling (isolation and blowdown) | No | |

| | | | | |
|----------------------------|-----------------------------|--|-------------------|-----|
| Dispersion | Dispersion scope | Concentration of interest | 19060 | ppm |
| | | Averaging time for concentration of interest | User-defined | |
| | | Specify user-defined averaging time | Yes | |
| | | User defined averaging time | 3600 | s |
| | Distances of interest | Distances of interest | | m |
| | Averaging time for reports | ERPG [1 hr] | No | |
| | | IDLH [30 mins] | No | |
| | | STEL [15 mins] | No | |
| Bund, building and terrain | Terrain and bund definition | Type of terrain for dispersion | Land | |
| | | Type of pool substrate and bunds | Concrete, no bund | |
| | Building definition | Release building | | |
| | | In-building release? | Outdoor | |
| | | Building wake effect | Roof/lee | |
| | | Wind or release angle from North | 0 | deg |
| | | Handling of droplets | Trapped | |
| | | Indoor mass modification factor | 3 | |
| Geometry | Geometry | East | 0 | m |
| | | North | 0 | m |

Feu de déchèterie - SEI

User defined source

SEPTEME_Phast model2\SEPTEME EDD\Feu de déchèterie

| Tab | Group | Field | Value | Units |
|----------|-------------------|---------------------------------|----------------|----------|
| Scenario | Release scenario | Release scenario | Leak | |
| | | The number of release observers | 2 | |
| | Release observers | Release time | 0; 3600 | s |
| | | Release phase | Vapour; Vapour | |
| | | Mass flow | 204,5; 204,5 | kg/s |
| | | Final velocity | 15,5; 15,5 | m/s |
| | | Final temperature | 270; 270 | degC |
| | | Liquid fraction | 0; 0 | fraction |

| | | | | |
|----------------------------|-----------------------------|--|--------------------|------|
| | | Droplet diameter | 0; 0 | um |
| | | Pool radius | 0; 0 | m |
| | | Pre-dilution air rate | 0; 0 | kg/s |
| | | Downstream calculation status | No errors detected | |
| | Release location | Elevation | 11,3 | m |
| | | Tank head | 0 | m |
| | Direction | Outdoor release direction | Vertical | |
| | | Outdoor release angle | 90 | deg |
| | Fireball emissive power | Use vessel burst pressure | No | |
| | | Vessel burst pressure - gauge | | bar |
| Material | Material | Material characteristics | Inert | |
| | | Material to track | Fumées déchèterie | |
| | | Type of risk effects to model | Inert | |
| Dispersion | Dispersion scope | Concentration of interest | 82143 | ppm |
| | | Averaging time for concentration of interest | User-defined | |
| | | Specify user-defined averaging time | Yes | |
| | | User defined averaging time | 3600 | s |
| | Distances of interest | Distances of interest | | m |
| | Averaging time for reports | ERPG [1 hr] | Yes | |
| | | IDLH [30 mins] | No | |
| | | STEL [15 mins] | No | |
| Bund, building and terrain | Terrain and bund definition | Type of terrain for dispersion | Land | |
| | | Type of pool substrate and bunds | Concrete, no bund | |

Feu de déchèterie - SEL

User defined source

SEPTEME_Phast model2\SEPTEME EDD\Feu de déchèterie

| Tab | Group | Field | Value | Units |
|----------|-------------------|---------------------------------|----------------|-------|
| Scenario | Release scenario | Release scenario | Leak | |
| | | The number of release observers | 2 | |
| | Release observers | Release time | 0; 3600 | s |
| | | Release phase | Vapour; Vapour | |



| | | | | |
|----------------------------|-----------------------------|--|--------------------|----------|
| | | Mass flow | 204,5; 204,5 | kg/s |
| | | Final velocity | 15,5; 15,5 | m/s |
| | | Final temperature | 270; 270 | degC |
| | | Liquid fraction | 0; 0 | fraction |
| | | Droplet diameter | 0; 0 | um |
| | | Pool radius | 0; 0 | m |
| | | Pre-dilution air rate | 0; 0 | kg/s |
| | | Downstream calculation status | No errors detected | |
| | Release location | Elevation | 11,3 | m |
| | | Tank head | 0 | m |
| | Direction | Outdoor release direction | Vertical | |
| | | Outdoor release angle | 90 | deg |
| | Fireball emissive power | Use vessel burst pressure | No | |
| | | Vessel burst pressure - gauge | | bar |
| Material | Material | Material characteristics | Inert | |
| | | Material to track | Fumées déchèterie | |
| | | Type of risk effects to model | Inert | |
| Dispersion | Dispersion scope | Concentration of interest | 368920 | ppm |
| | | Averaging time for concentration of interest | User-defined | |
| | | Specify user-defined averaging time | Yes | |
| | | User defined averaging time | 3600 | s |
| | Distances of interest | Distances of interest | | m |
| | Averaging time for reports | ERPG [1 hr] | Yes | |
| | | IDLH [30 mins] | No | |
| | | STEL [15 mins] | No | |
| Bund, building and terrain | Terrain and bund definition | Type of terrain for dispersion | Land | |
| | | Type of pool substrate and bunds | Concrete, no bund | |

Feu de déchèterie - SELs

User defined source

SEPTEME_Phast model2\SEPTEME EDD\Feu de déchèterie

| Tab | Group | Field | Value | Units |
|----------------------------|-----------------------------|--|--------------------|----------|
| Scenario | Release scenario | Release scenario | Leak | |
| | | The number of release observers | 2 | |
| | Release observers | Release time | 0; 3600 | s |
| | | Release phase | Vapour; Vapour | |
| | | Mass flow | 204,5; 204,5 | kg/s |
| | | Final velocity | 15,5; 15,5 | m/s |
| | | Final temperature | 270; 270 | degC |
| | | Liquid fraction | 0; 0 | fraction |
| | | Droplet diameter | 0; 0 | um |
| | | Pool radius | 0; 0 | m |
| | | Pre-dilution air rate | 0; 0 | kg/s |
| | | Downstream calculation status | No errors detected | |
| | Release location | Elevation | 11,3 | m |
| | | Tank head | 0 | m |
| | Direction | Outdoor release direction | Vertical | |
| | | Outdoor release angle | 90 | deg |
| | Fireball emissive power | Use vessel burst pressure | No | |
| | | Vessel burst pressure - gauge | | bar |
| Material | Material | Material characteristics | Inert | |
| | | Material to track | Fumées déchetterie | |
| | | Type of risk effects to model | Inert | |
| Dispersion | Dispersion scope | Concentration of interest | 465668 | ppm |
| | | Averaging time for concentration of interest | User-defined | |
| | | Specify user-defined averaging time | Yes | |
| | | User defined averaging time | 3600 | s |
| | Distances of interest | Distances of interest | | m |
| | Averaging time for reports | ERPG [1 hr] | Yes | |
| | | IDLH [30 mins] | No | |
| | | STEL [15 mins] | No | |
| Bund, building and terrain | Terrain and bund definition | Type of terrain for dispersion | Land | |
| | | Type of pool substrate and bunds | Concrete, no bund | |

Input Report

Workspace: SEPTEME_Phast model3

SEPTEME EDD

Study

SEPTEME_Phast model3

| Tab | Group | Field | Value | Units |
|----------------------------|-----------------------------|--|-------------------------|-------|
| Context of calculations | Selection of context | Weathers to use for this study | Weather folder | |
| | | Parameters to use for this study | Parameter set | |
| | | Obstructions to use for this study | | |
| Bund, building and terrain | Terrain and bund definition | Type of terrain for dispersion | Land | |
| | | Type of pool substrate and bunds | Concrete, no bund | |
| Toxic parameters | Indoor toxic calculations | Specify the downwind building type | Unselected | |
| | | Building type (downwind building type) | Buildings\Building type | |
| Dispersion | Distances of interest | Distances of interest | | m |

Feu de PAM

Pressure vessel

SEPTEME_Phast model3\SEPTEME EDD

| Tab | Group | Field | Value | Units |
|----------|----------|---------------------------|----------------------|----------|
| Material | Material | Material | Fumées PAM | |
| | | Specify volume inventory? | No | |
| | | Mass inventory | 1E+12 | kg |
| | | Volume inventory | | m3 |
| | | Material to track | Fumées PAM | |
| | Phase | Specified condition | Pressure/temperature | |
| | | Temperature | | degC |
| | | Pressure (gauge) | | bar |
| | | Fluid state | Liquid | |
| | | Liquid mole fraction | 1 | fraction |



| | | | | |
|-----------------------|---|--|---|-----|
| Scenario | Pipe dimensions | Pipe length | | m |
| | Release location | Elevation | 1 | m |
| | | Tank head | 0 | m |
| | Direction | Outdoor release direction | Horizontal | |
| | | Outdoor release angle | 0 | deg |
| Discharge parameters | Model settings | Atmospheric expansion method | DNV GL recommended | |
| | | Phase change upstream of orifice? | Disallow liquid phase change only (metastable liquid) | |
| | Droplet break-up mechanism | Droplet break-up mechanism - instantaneous | Use flashing correlation | |
| | | Droplet break-up mechanism - continuous | Do not force correlation | |
| Short pipe | Pipe characteristics | Pipe roughness | 0,045 | mm |
| | Frequencies | Frequency of bends in pipe | 0 | /m |
| | | Frequency of couplings in pipe | 0 | /m |
| | | Frequency of junctions in pipe | 0 | /m |
| | Frequencies of valves | Frequency of excess flow valves | 0 | /m |
| | | Frequency of non-return valves | 0 | /m |
| | | Frequency of shut-off valves | 0 | /m |
| | Velocity head losses | Excess flow valve velocity head losses | 0 | |
| | | Non-return valve velocity head losses | 0 | |
| | | Shut-off valve velocity head losses | 0 | |
| Time varying releases | Modelling of time-varying leaks and line ruptures | Vacuum relief valve | Operating | |
| | | Vacuum relief valve set point | 0 | bar |
| | Inventory data for time-varying releases | Tank volume | | m3 |
| | | Tank vapour volume | | m3 |
| | | Tank liquid volume | | m3 |
| | | Tank liquid level | | m |
| | | Maximum vapour release height | | m |
| | | Minimum mass inventory | 0,1 | kg |
| | | Maximum mass inventory | | kg |
| | Safety system modelling for time-varying releases | Safety system modelling (isolation and blowdown) | No | |

| | | | | |
|----------------------------|-----------------------------|--|-------------------|-----|
| Dispersion | Dispersion scope | Concentration of interest | 10000 | ppm |
| | | Averaging time for concentration of interest | User-defined | |
| | | Specify user-defined averaging time | Yes | |
| | | User defined averaging time | 3600 | s |
| | Distances of interest | Distances of interest | | m |
| | Averaging time for reports | ERPG [1 hr] | No | |
| | | IDLH [30 mins] | No | |
| | | STEL [15 mins] | No | |
| Bund, building and terrain | Terrain and bund definition | Type of terrain for dispersion | Land | |
| | | Type of pool substrate and bunds | Concrete, no bund | |
| | Building definition | Release building | | |
| | | In-building release? | Outdoor | |
| | | Building wake effect | Roof/lee | |
| | | Wind or release angle from North | 0 | deg |
| | | Handling of droplets | Trapped | |
| | | Indoor mass modification factor | 3 | |
| Geometry | Geometry | East | 0 | m |
| | | North | 0 | m |

Feu de PAM - SEI

User defined source

SEPTEME_Phast model3\SEPTEME EDD\Feu de PAM

| Tab | Group | Field | Value | Units |
|----------|-------------------|---------------------------------|----------------|----------|
| Scenario | Release scenario | Release scenario | Leak | |
| | | The number of release observers | 2 | |
| | Release observers | Release time | 0; 3600 | s |
| | | Release phase | Vapour; Vapour | |
| | | Mass flow | 2862; 2862 | kg/s |
| | | Final velocity | 49,1; 49,1 | m/s |
| | | Final temperature | 270; 270 | degC |
| | | Liquid fraction | 0; 0 | fraction |



| | | | | |
|----------------------------|-----------------------------|--|--------------------|------|
| | | Droplet diameter | 0; 0 | um |
| | | Pool radius | 0; 0 | m |
| | | Pre-dilution air rate | 0; 0 | kg/s |
| | | Downstream calculation status | No errors detected | |
| | Release location | Elevation | 4,9 | m |
| | | Tank head | 0 | m |
| | Direction | Outdoor release direction | Vertical | |
| | | Outdoor release angle | 90 | deg |
| | Fireball emissive power | Use vessel burst pressure | No | |
| | | Vessel burst pressure - gauge | | bar |
| Material | Material | Material characteristics | Inert | |
| | | Material to track | Fumées PAM | |
| | | Type of risk effects to model | Inert | |
| Dispersion | Dispersion scope | Concentration of interest | 31055 | ppm |
| | | Averaging time for concentration of interest | User-defined | |
| | | Specify user-defined averaging time | Yes | |
| | | User defined averaging time | 3600 | s |
| | Distances of interest | Distances of interest | | m |
| | Averaging time for reports | ERPG [1 hr] | Yes | |
| | | IDLH [30 mins] | No | |
| | | STEL [15 mins] | No | |
| Bund, building and terrain | Terrain and bund definition | Type of terrain for dispersion | Land | |
| | | Type of pool substrate and bunds | Concrete, no bund | |

Feu de PAM - SEL

User defined source

SEPTEME_Phast model3\SEPTEME EDD\Feu de PAM

| Tab | Group | Field | Value | Units |
|----------|-------------------|---------------------------------|----------------|-------|
| Scenario | Release scenario | Release scenario | Leak | |
| | | The number of release observers | 2 | |
| | Release observers | Release time | 0; 3600 | s |
| | | Release phase | Vapour; Vapour | |



| | | | | |
|----------------------------|-----------------------------|--|--------------------|----------|
| | | Mass flow | 2862; 2862 | kg/s |
| | | Final velocity | 49,1; 49,1 | m/s |
| | | Final temperature | 270; 270 | degC |
| | | Liquid fraction | 0; 0 | fraction |
| | | Droplet diameter | 0; 0 | um |
| | | Pool radius | 0; 0 | m |
| | | Pre-dilution air rate | 0; 0 | kg/s |
| | | Downstream calculation status | No errors detected | |
| | Release location | Elevation | 4,9 | m |
| | | Tank head | 0 | m |
| | Direction | Outdoor release direction | Vertical | |
| | | Outdoor release angle | 90 | deg |
| | Fireball emissive power | Use vessel burst pressure | No | |
| | | Vessel burst pressure - gauge | | bar |
| Material | Material | Material characteristics | Inert | |
| | | Material to track | Fumées PAM | |
| | | Type of risk effects to model | Inert | |
| Dispersion | Dispersion scope | Concentration of interest | 171092 | ppm |
| | | Averaging time for concentration of interest | User-defined | |
| | | Specify user-defined averaging time | Yes | |
| | | User defined averaging time | 3600 | s |
| | Distances of interest | Distances of interest | | m |
| | Averaging time for reports | ERPG [1 hr] | Yes | |
| | | IDLH [30 mins] | No | |
| | | STEL [15 mins] | No | |
| Bund, building and terrain | Terrain and bund definition | Type of terrain for dispersion | Land | |
| | | Type of pool substrate and bunds | Concrete, no bund | |

Feu de PAM - SELs

User defined source

SEPTEME_Phast model3\SEPTEME EDD\Feu de PAM



| Tab | Group | Field | Value | Units |
|----------------------------|-----------------------------|--|--------------------|----------|
| Scenario | Release scenario | Release scenario | Leak | |
| | | The number of release observers | 2 | |
| | Release observers | Release time | 0; 3600 | s |
| | | Release phase | Vapour; Vapour | |
| | | Mass flow | 2862; 2862 | kg/s |
| | | Final velocity | 49,1; 49,1 | m/s |
| | | Final temperature | 270; 270 | degC |
| | | Liquid fraction | 0; 0 | fraction |
| | | Droplet diameter | 0; 0 | um |
| | | Pool radius | 0; 0 | m |
| | | Pre-dilution air rate | 0; 0 | kg/s |
| | | Downstream calculation status | No errors detected | |
| | Release location | Elevation | 4,9 | m |
| | | Tank head | 0 | m |
| | Direction | Outdoor release direction | Vertical | |
| | | Outdoor release angle | 90 | deg |
| | Fireball emissive power | Use vessel burst pressure | No | |
| | | Vessel burst pressure - gauge | | bar |
| Material | Material | Material characteristics | Inert | |
| | | Material to track | Fumées PAM | |
| | | Type of risk effects to model | Inert | |
| Dispersion | Dispersion scope | Concentration of interest | 249933 | ppm |
| | | Averaging time for concentration of interest | User-defined | |
| | | Specify user-defined averaging time | Yes | |
| | | User defined averaging time | 3600 | s |
| | Distances of interest | Distances of interest | | m |
| | Averaging time for reports | ERPG [1 hr] | Yes | |
| | | IDLH [30 mins] | No | |
| | | STEL [15 mins] | No | |
| Bund, building and terrain | Terrain and bund definition | Type of terrain for dispersion | Land | |
| | | Type of pool substrate and bunds | Concrete, no bund | |

Input Report

Workspace: SEPTIME_Phast model2

SEPTIME EDD

Study

SEPTIME_Phast model2

| Tab | Group | Field | Value | Units |
|----------------------------|-----------------------------|--|-------------------------|-------|
| Context of calculations | Selection of context | Weathers to use for this study | Weather folder | |
| | | Parameters to use for this study | Parameter set | |
| | | Obstructions to use for this study | | |
| Bund, building and terrain | Terrain and bund definition | Type of terrain for dispersion | Land | |
| | | Type of pool substrate and bunds | Concrete, no bund | |
| Toxic parameters | Indoor toxic calculations | Specify the downwind building type | Unselected | |
| | | Building type (downwind building type) | Buildings\Building type | |
| Dispersion | Distances of interest | Distances of interest | | m |

Feu de casier

Pressure vessel

SEPTIME_Phast model2\SEPTIME EDD

| Tab | Group | Field | Value | Units |
|----------|----------|---------------------------|----------------------|----------|
| Material | Material | Material | Fumées casier | |
| | | Specify volume inventory? | No | |
| | | Mass inventory | 1E+12 | kg |
| | | Volume inventory | | m3 |
| | | Material to track | Fumées casier | |
| | Phase | Specified condition | Pressure/temperature | |
| | | Temperature | | degC |
| | | Pressure (gauge) | | bar |
| | | Fluid state | Liquid | |
| | | Liquid mole fraction | 1 | fraction |



| | | | | |
|-----------------------|---|--|---|-----|
| Scenario | Pipe dimensions | Pipe length | | m |
| | Release location | Elevation | 1 | m |
| | | Tank head | 0 | m |
| | Direction | Outdoor release direction | Horizontal | |
| | | Outdoor release angle | 0 | deg |
| Discharge parameters | Model settings | Atmospheric expansion method | DNV GL recommended | |
| | | Phase change upstream of orifice? | Disallow liquid phase change only (metastable liquid) | |
| | Droplet break-up mechanism | Droplet break-up mechanism - instantaneous | Use flashing correlation | |
| | | Droplet break-up mechanism - continuous | Do not force correlation | |
| Short pipe | Pipe characteristics | Pipe roughness | 0,045 | mm |
| | Frequencies | Frequency of bends in pipe | 0 | /m |
| | | Frequency of couplings in pipe | 0 | /m |
| | | Frequency of junctions in pipe | 0 | /m |
| | Frequencies of valves | Frequency of excess flow valves | 0 | /m |
| | | Frequency of non-return valves | 0 | /m |
| | | Frequency of shut-off valves | 0 | /m |
| | Velocity head losses | Excess flow valve velocity head losses | 0 | |
| | | Non-return valve velocity head losses | 0 | |
| | | Shut-off valve velocity head losses | 0 | |
| Time varying releases | Modelling of time-varying leaks and line ruptures | Vacuum relief valve | Operating | |
| | | Vacuum relief valve set point | 0 | bar |
| | Inventory data for time-varying releases | Tank volume | | m3 |
| | | Tank vapour volume | | m3 |
| | | Tank liquid volume | | m3 |
| | | Tank liquid level | | m |
| | | Maximum vapour release height | | m |
| | | Minimum mass inventory | 0,1 | kg |
| | | Maximum mass inventory | | kg |
| | Safety system modelling for time-varying releases | Safety system modelling (isolation and blowdown) | No | |

| | | | | |
|----------------------------|-----------------------------|--|-------------------|-----|
| Dispersion | Dispersion scope | Concentration of interest | 19060 | ppm |
| | | Averaging time for concentration of interest | User-defined | |
| | | Specify user-defined averaging time | Yes | |
| | | User defined averaging time | 3600 | s |
| | Distances of interest | Distances of interest | | m |
| | Averaging time for reports | ERPG [1 hr] | No | |
| | | IDLH [30 mins] | No | |
| | | STEL [15 mins] | No | |
| Bund, building and terrain | Terrain and bund definition | Type of terrain for dispersion | Land | |
| | | Type of pool substrate and bunds | Concrete, no bund | |
| | Building definition | Release building | | |
| | | In-building release? | Outdoor | |
| | | Building wake effect | Roof/lee | |
| | | Wind or release angle from North | 0 | deg |
| | | Handling of droplets | Trapped | |
| | | Indoor mass modification factor | 3 | |
| Geometry | Geometry | East | 0 | m |
| | | North | 0 | m |

Feu de casier - SEI

User defined source

SEPTEME_Phast model2\SEPTEME EDD\Feu de casier

| Tab | Group | Field | Value | Units |
|----------|-------------------|---------------------------------|----------------|----------|
| Scenario | Release scenario | Release scenario | Leak | |
| | | The number of release observers | 2 | |
| | Release observers | Release time | 0; 3600 | s |
| | | Release phase | Vapour; Vapour | |
| | | Mass flow | 5936; 5936 | kg/s |
| | | Final velocity | 30,3; 30,3 | m/s |
| | | Final temperature | 270; 270 | degC |
| | | Liquid fraction | 0; 0 | fraction |

| | | | | |
|----------------------------|-----------------------------|--|--------------------|------|
| | | Droplet diameter | 0; 0 | um |
| | | Pool radius | 0; 0 | m |
| | | Pre-dilution air rate | 0; 0 | kg/s |
| | | Downstream calculation status | No errors detected | |
| | Release location | Elevation | 43,3 | m |
| | | Tank head | 0 | m |
| | Direction | Outdoor release direction | Vertical | |
| | | Outdoor release angle | 90 | deg |
| | Fireball emissive power | Use vessel burst pressure | No | |
| | | Vessel burst pressure - gauge | | bar |
| Material | Material | Material characteristics | Inert | |
| | | Material to track | Fumées casier | |
| | | Type of risk effects to model | Inert | |
| Dispersion | Dispersion scope | Concentration of interest | 19060 | ppm |
| | | Averaging time for concentration of interest | User-defined | |
| | | Specify user-defined averaging time | Yes | |
| | | User defined averaging time | 3600 | s |
| | Distances of interest | Distances of interest | | m |
| | Averaging time for reports | ERPG [1 hr] | Yes | |
| | | IDLH [30 mins] | No | |
| | | STEL [15 mins] | No | |
| Bund, building and terrain | Terrain and bund definition | Type of terrain for dispersion | Land | |
| | | Type of pool substrate and bunds | Concrete, no bund | |

Feu de casier - SEL

User defined source

SEPTEME_Phast model2\SEPTEME EDD\Feu de casier

| Tab | Group | Field | Value | Units |
|----------|-------------------|---------------------------------|----------------|-------|
| Scenario | Release scenario | Release scenario | Leak | |
| | | The number of release observers | 2 | |
| | Release observers | Release time | 0; 3600 | s |
| | | Release phase | Vapour; Vapour | |



| | | | | |
|----------------------------|-----------------------------|--|--------------------|----------|
| | | Mass flow | 5936; 5936 | kg/s |
| | | Final velocity | 30,3; 30,3 | m/s |
| | | Final temperature | 270; 270 | degC |
| | | Liquid fraction | 0; 0 | fraction |
| | | Droplet diameter | 0; 0 | um |
| | | Pool radius | 0; 0 | m |
| | | Pre-dilution air rate | 0; 0 | kg/s |
| | | Downstream calculation status | No errors detected | |
| | Release location | Elevation | 43,3 | m |
| | | Tank head | 0 | m |
| | Direction | Outdoor release direction | Vertical | |
| | | Outdoor release angle | 90 | deg |
| | Fireball emissive power | Use vessel burst pressure | No | |
| | | Vessel burst pressure - gauge | | bar |
| Material | Material | Material characteristics | Inert | |
| | | Material to track | Fumées casier | |
| | | Type of risk effects to model | Inert | |
| Dispersion | Dispersion scope | Concentration of interest | 96547 | ppm |
| | | Averaging time for concentration of interest | User-defined | |
| | | Specify user-defined averaging time | Yes | |
| | | User defined averaging time | 3600 | s |
| | Distances of interest | Distances of interest | | m |
| | Averaging time for reports | ERPG [1 hr] | Yes | |
| | | IDLH [30 mins] | No | |
| | | STEL [15 mins] | No | |
| Bund, building and terrain | Terrain and bund definition | Type of terrain for dispersion | Land | |
| | | Type of pool substrate and bunds | Concrete, no bund | |

Feu de casier - SELs

User defined source

SEPTEME_Phast model2\SEPTEME EDD\Feu de casier

| Tab | Group | Field | Value | Units |
|----------------------------|-----------------------------|--|--------------------|----------|
| Scenario | Release scenario | Release scenario | Leak | |
| | | The number of release observers | 2 | |
| | Release observers | Release time | 0; 3600 | s |
| | | Release phase | Vapour; Vapour | |
| | | Mass flow | 5936; 5936 | kg/s |
| | | Final velocity | 30,3; 30,3 | m/s |
| | | Final temperature | 270; 270 | degC |
| | | Liquid fraction | 0; 0 | fraction |
| | | Droplet diameter | 0; 0 | um |
| | | Pool radius | 0; 0 | m |
| | | Pre-dilution air rate | 0; 0 | kg/s |
| | | Downstream calculation status | No errors detected | |
| | Release location | Elevation | 43,3 | m |
| | | Tank head | 0 | m |
| | Direction | Outdoor release direction | Vertical | |
| | | Outdoor release angle | 90 | deg |
| | Fireball emissive power | Use vessel burst pressure | No | |
| | | Vessel burst pressure - gauge | | bar |
| Material | Material | Material characteristics | Inert | |
| | | Material to track | Fumées casier | |
| | | Type of risk effects to model | Inert | |
| Dispersion | Dispersion scope | Concentration of interest | 135551 | ppm |
| | | Averaging time for concentration of interest | User-defined | |
| | | Specify user-defined averaging time | Yes | |
| | | User defined averaging time | 3600 | s |
| | Distances of interest | Distances of interest | | m |
| | Averaging time for reports | ERPG [1 hr] | Yes | |
| | | IDLH [30 mins] | No | |
| | | STEL [15 mins] | No | |
| Bund, building and terrain | Terrain and bund definition | Type of terrain for dispersion | Land | |
| | | Type of pool substrate and bunds | Concrete, no bund | |

Input Report

Workspace: SEPTEME_Phast model2

SEPTEME EDD

Study

SEPTEME_Phast model2

| Tab | Group | Field | Value | Units |
|----------------------------|-----------------------------|--|-------------------------|-------|
| Context of calculations | Selection of context | Weathers to use for this study | Weather folder | |
| | | Parameters to use for this study | Parameter set | |
| | | Obstructions to use for this study | | |
| Bund, building and terrain | Terrain and bund definition | Type of terrain for dispersion | Land | |
| | | Type of pool substrate and bunds | Concrete, no bund | |
| Toxic parameters | Indoor toxic calculations | Specify the downwind building type | Unselected | |
| | | Building type (downwind building type) | Buildings\Building type | |
| Dispersion | Distances of interest | Distances of interest | | m |

Rupture réseau BIOGAZ - H2S

Pressure vessel

SEPTEME_Phast model2\SEPTEME EDD

| Tab | Group | Field | Value | Units |
|----------|----------|---------------------------|----------------------|----------|
| Material | Material | Material | Biogaz | |
| | | Specify volume inventory? | No | |
| | | Mass inventory | 87 | kg |
| | | Volume inventory | 90,2281 | m3 |
| | | Material to track | HYDROGEN SULFIDE | |
| | Phase | Specified condition | Pressure/temperature | |
| | | Temperature | 20 | degC |
| | | Pressure (gauge) | 0,001 | bar |
| | | Fluid state | Vapour | |
| | | Liquid mole fraction | 0 | fraction |



| | | | | |
|-----------------------|---|--|---|-----|
| Scenario | Pipe dimensions | Pipe length | 10 | m |
| | Release location | Elevation | 1 | m |
| | | Tank head | 0 | m |
| | Direction | Outdoor release direction | Horizontal | |
| | | Outdoor release angle | 0 | deg |
| Discharge parameters | Model settings | Atmospheric expansion method | DNV GL recommended | |
| | | Phase change upstream of orifice? | Disallow liquid phase change only (metastable liquid) | |
| | Droplet break-up mechanism | Droplet break-up mechanism - instantaneous | Use flashing correlation | |
| | | Droplet break-up mechanism - continuous | Do not force correlation | |
| Short pipe | Pipe characteristics | Pipe roughness | 0,045 | mm |
| | Frequencies | Frequency of bends in pipe | 0 | /m |
| | | Frequency of couplings in pipe | 0 | /m |
| | | Frequency of junctions in pipe | 0 | /m |
| | Frequencies of valves | Frequency of excess flow valves | 0 | /m |
| | | Frequency of non-return valves | 0 | /m |
| | | Frequency of shut-off valves | 0 | /m |
| | Velocity head losses | Excess flow valve velocity head losses | 0 | |
| | | Non-return valve velocity head losses | 0 | |
| | | Shut-off valve velocity head losses | 0 | |
| Time varying releases | Modelling of time-varying leaks and line ruptures | Vacuum relief valve | Operating | |
| | | Vacuum relief valve set point | 0 | bar |
| | Inventory data for time-varying releases | Tank volume | 90,2281 | m3 |
| | | Tank vapour volume | 90,2281 | m3 |
| | | Tank liquid volume | 0 | m3 |
| | | Tank liquid level | 0 | m |
| | | Maximum vapour release height | | m |
| | | Minimum mass inventory | 0,1 | kg |
| | | Maximum mass inventory | 1E+09 | kg |
| | Safety system modelling for time-varying releases | Safety system modelling (isolation and blowdown) | No | |

| | | | | |
|----------------------------|--|--|--------------------------------|-------------------|
| Dispersion | Dispersion scope | Concentration of interest | | ppm |
| | | Averaging time for concentration of interest | | |
| | | Specify user-defined averaging time | No | |
| | | User defined averaging time | | s |
| | Distances of interest | Distances of interest | | m |
| | Averaging time for reports | ERPG [1 hr] | No | |
| | | IDLH [30 mins] | No | |
| | | STEL [15 mins] | No | |
| Bund, building and terrain | Terrain and bund definition | Type of terrain for dispersion | Land | |
| | | Type of pool substrate and bunds | Concrete, no bund | |
| | Building definition | Release building | | |
| | | In-building release? | Outdoor | |
| | | Building wake effect | Roof/lee | |
| | | Wind or release angle from North | 0 deg | |
| | | Handling of droplets | Trapped | |
| | | Indoor mass modification factor | 3 | |
| Explosion parameters | Explosion method (Consequence calculations only) | Explosion method | Multi-Energy: Uniform confined | |
| | Ignition | Supply late ignition location | No ignition location | |
| | | Location of late ignition | | m |
| | Vapour liquid method | Use explosion mass modification factor | Yes | |
| | | Explosion mass modification factor | 3 | |
| Fireball | Result types to calculate | Calculate probit | No | |
| | | Calculate dose | No | |
| | | Calculate lethality | No | |
| | Radiation levels | Number of input radiation levels | 3 | |
| | | Intensity levels | 4; 12,5; 37,5 | kW/m ² |
| | | Probit levels | 2,73; 3,72; 7,5 | |
| | | Dose levels | 1,27E+06; 5,8E+06; 2,51E+07 | |
| | | Lethality levels | 0,01; 0,1; 0,99 | fraction |
| | Parameters | Mass modification factor | 3 | |

| | | | | |
|-----------|---------------------------|---|-----------------------------|-------------------|
| | | Fireball maximum exposure duration | 20 | s |
| | Calculation method | Fireball model | Martinsen time varying | |
| | | TNO model flame temperature | 1726,85 | degC |
| Jet fire | Jet fire method | Jet fire method | Cone model | |
| | Result types to calculate | Calculate probit | No | |
| | | Calculate dose | No | |
| | | Calculate lethality | No | |
| | Radiation levels | Number of input radiation levels | 3 | |
| | | Intensity levels | 4; 12,5; 37,5 | kW/m ² |
| | | Probit levels | 2,73; 3,72; 7,5 | |
| | | Dose levels | 1,27E+06; 5,8E+06; 2,51E+07 | |
| | | Lethality levels | 0,01; 0,1; 0,99 | fraction |
| | Parameters | Rate modification factor | 3 | |
| | | Jet fire maximum exposure duration | 20 | s |
| | Cone model data | Crosswind angle | 0 | deg |
| | | Horizontal options | Use standard method | |
| | | Correlation | Recommended | |
| | | Flame-shape adjustment if grounded | Yes | |
| | Surface emissive power | Calculation method for surface emissive power | Calculate SEP | |
| | | Flame emissive power | | kW/m ² |
| | | Emissivity fraction | | fraction |
| Pool fire | Result types to calculate | Calculate probit | No | |
| | | Calculate dose | No | |
| | | Calculate lethality | No | |
| | Radiation levels | Number of input radiation levels | 3 | |
| | | Intensity levels | 4; 12,5; 37,5 | kW/m ² |
| | | Probit levels | 2,73; 3,72; 7,5 | |
| | | Dose levels | 1,27E+06; 5,8E+06; 2,51E+07 | |
| | | Lethality levels | 0,01; 0,1; 0,99 | fraction |

| | | | | |
|------------|----------|--------------------------------------|-----|----------|
| Parameters | | Radiative fraction for general fires | 0,4 | fraction |
| | | Pool fire maximum exposure duration | 20 | s |
| Geometry | Geometry | East | 0 | m |
| | | North | 0 | m |

Rupture réseau BIOGAZ

Short pipe

SEPTEME_Phast model2\SEPTEME EDD\Rupture réseau BIOGAZ - H2S

| Tab | Group | Field | Value | Units |
|----------------------|----------------------------|--|--------------------------|-------|
| Scenario | Scenario | Scenario type | Disc rupture | |
| | Pipe dimensions | Pipe internal diameter | 355 | mm |
| | | Pipe length | 0,8 | m |
| | Hole | Orifice diameter | | mm |
| | Release location | Elevation | 1 | m |
| | | Tank head | 0 | m |
| | Flow control | Flow controller | None | |
| | | Input option | Not applicable | |
| | | Fixed flow rate | | kg/s |
| | | Pump head | | m |
| | Direction | Outdoor release direction | Horizontal | |
| | | Outdoor release angle | 0 | deg |
| Material | Material | Material characteristics | Flammable only | |
| | | Material to track | HYDROGEN SULFIDE | |
| | | Type of risk effects to model | Flammable only | |
| | Phase | Phase to be released | Vapour | |
| Discharge parameters | Model settings | Atmospheric expansion method | DNV GL recommended | |
| | Droplet break-up mechanism | Droplet break-up mechanism - instantaneous | Use flashing correlation | |
| | | Droplet break-up mechanism - continuous | Do not force correlation | |
| Short pipe | Pipe characteristics | Pipe roughness | 0,045 | mm |
| | Frequencies | Frequency of bends in pipe | 0 | /m |
| | | Frequency of couplings in pipe | 0 | /m |

| | | | | |
|----------------------------|-----------------------------|--|--------------------------------|-------------------|
| | | Frequency of junctions in pipe | 0 | /m |
| | Frequencies of valves | Frequency of excess flow valves | 0 | /m |
| | | Frequency of non-return valves | 0 | /m |
| | | Frequency of shut-off valves | 0 | /m |
| | Velocity head losses | Excess flow valve velocity head losses | 0 | |
| | | Non-return valve velocity head losses | 0 | |
| | | Shut-off valve velocity head losses | 0 | |
| Dispersion | Dispersion scope | Concentration of interest | 150 | ppm |
| | | Averaging time for concentration of interest | User-defined | |
| | | Specify user-defined averaging time | Yes | |
| | | User defined averaging time | 600 | s |
| | Distances of interest | Distances of interest | | m |
| | Averaging time for reports | ERPG [1 hr] | No | |
| | | IDLH [30 mins] | No | |
| | | STEL [15 mins] | No | |
| Bund, building and terrain | Terrain and bund definition | Type of terrain for dispersion | Land | |
| | | Type of pool substrate and bunds | Concrete, no bund | |
| Explosion parameters | Explosion method | Explosion method | Multi-Energy: Uniform confined | |
| | Ignition | Supply late ignition location | No ignition location | |
| | | Location of late ignition | | m |
| | Vapour liquid method | Use explosion mass modification factor | Yes | |
| | | Explosion mass modification factor | 3 | |
| Fireball | Result types to calculate | Calculate probit | No | |
| | | Calculate dose | No | |
| | | Calculate lethality | No | |
| | Radiation levels | Number of input radiation levels | 3 | |
| | | Intensity levels | 4; 12,5; 37,5 | kW/m ² |
| | | Probit levels | 2,73; 3,72; 7,5 | |
| | | Dose levels | 1,27E+06; 5,8E+06; 2,51E+07 | |
| | | Lethality levels | 0,01; 0,1; 0,99 | fraction |

| | | | | |
|-----------|---------------------------|---|-----------------------------|-------------------|
| | Parameters | Mass modification factor | 3 | |
| | | Fireball maximum exposure duration | 20 | s |
| | Calculation method | Fireball model | Martinsen time varying | |
| | | TNO model flame temperature | 1726,85 | degC |
| Jet fire | Jet fire method | Jet fire method | Cone model | |
| | Result types to calculate | Calculate probit | No | |
| | | Calculate dose | No | |
| | | Calculate lethality | No | |
| | Radiation levels | Number of input radiation levels | 3 | |
| | | Intensity levels | 4; 12,5; 37,5 | kW/m ² |
| | | Probit levels | 2,73; 3,72; 7,5 | |
| | | Dose levels | 1,27E+06; 5,8E+06; 2,51E+07 | |
| | | Lethality levels | 0,01; 0,1; 0,99 | fraction |
| | Parameters | Rate modification factor | 3 | |
| | | Jet fire maximum exposure duration | 20 | s |
| | Cone model data | Correlation | Recommended | |
| | | Horizontal options | Use standard method | |
| | | Flame-shape adjustment if grounded | Yes | |
| | Surface emissive power | Calculation method for surface emissive power | Calculate SEP | |
| | | Flame emissive power | | kW/m ² |
| | | Emissivity fraction | | fraction |
| Pool fire | Result types to calculate | Calculate probit | No | |
| | | Calculate dose | No | |
| | | Calculate lethality | No | |
| | Radiation levels | Number of input radiation levels | 3 | |
| | | Intensity levels | 4; 12,5; 37,5 | kW/m ² |
| | | Probit levels | 2,73; 3,72; 7,5 | |
| | | Dose levels | 1,27E+06; 5,8E+06; 2,51E+07 | |
| | | Lethality levels | 0,01; 0,1; 0,99 | fraction |

| | | | | |
|--|------------|--------------------------------------|-----|----------|
| | Parameters | Radiative fraction for general fires | 0,4 | fraction |
| | | Pool fire maximum exposure duration | 20 | s |

Input Report

Workspace: SEPTIME_Phast model2

SEPTIME EDD

Study

SEPTIME_Phast model2

| Tab | Group | Field | Value | Units |
|----------------------------|-----------------------------|--|-------------------------|-------|
| Context of calculations | Selection of context | Weathers to use for this study | Weather folder | |
| | | Parameters to use for this study | Parameter set | |
| | | Obstructions to use for this study | | |
| Bund, building and terrain | Terrain and bund definition | Type of terrain for dispersion | Land | |
| | | Type of pool substrate and bunds | Concrete, no bund | |
| Toxic parameters | Indoor toxic calculations | Specify the downwind building type | Unselected | |
| | | Building type (downwind building type) | Buildings\Building type | |
| Dispersion | Distances of interest | Distances of interest | | m |

Rejet Torchère - H2S

Pressure vessel

SEPTIME_Phast model2\SEPTIME EDD

| Tab | Group | Field | Value | Units |
|----------|----------|---------------------------|----------------------|----------|
| Material | Material | Material | Biogaz | |
| | | Specify volume inventory? | No | |
| | | Mass inventory | 0,5 | kg |
| | | Volume inventory | 0,518552 | m3 |
| | | Material to track | Biogaz | |
| | Phase | Specified condition | Pressure/temperature | |
| | | Temperature | 20 | degC |
| | | Pressure (gauge) | 0,001 | bar |
| | | Fluid state | Vapour | |
| | | Liquid mole fraction | 0 | fraction |



| | | | | |
|-----------------------|---|--|---|-----|
| Scenario | Pipe dimensions | Pipe length | 6,5 | m |
| | Release location | Elevation | 1 | m |
| | | Tank head | 0 | m |
| | Direction | Outdoor release direction | Horizontal | |
| | | Outdoor release angle | 0 | deg |
| Discharge parameters | Model settings | Atmospheric expansion method | DNV GL recommended | |
| | | Phase change upstream of orifice? | Disallow liquid phase change only (metastable liquid) | |
| | Droplet break-up mechanism | Droplet break-up mechanism - instantaneous | Use flashing correlation | |
| | | Droplet break-up mechanism - continuous | Do not force correlation | |
| Short pipe | Pipe characteristics | Pipe roughness | 0,045 | mm |
| | Frequencies | Frequency of bends in pipe | 0 | /m |
| | | Frequency of couplings in pipe | 0 | /m |
| | | Frequency of junctions in pipe | 0 | /m |
| | Frequencies of valves | Frequency of excess flow valves | 0 | /m |
| | | Frequency of non-return valves | 0 | /m |
| | | Frequency of shut-off valves | 0 | /m |
| | Velocity head losses | Excess flow valve velocity head losses | 0 | |
| | | Non-return valve velocity head losses | 0 | |
| | | Shut-off valve velocity head losses | 0 | |
| Time varying releases | Modelling of time-varying leaks and line ruptures | Vacuum relief valve | Operating | |
| | | Vacuum relief valve set point | 0 | bar |
| | Inventory data for time-varying releases | Tank volume | 0,518553 | m3 |
| | | Tank vapour volume | 0,518552 | m3 |
| | | Tank liquid volume | 0 | m3 |
| | | Tank liquid level | 0 | m |
| | | Maximum vapour release height | | m |
| | | Minimum mass inventory | 0,1 | kg |
| | | Maximum mass inventory | 1E+09 | kg |
| | Safety system modelling for time-varying releases | Safety system modelling (isolation and blowdown) | No | |

| | | | | |
|----------------------------|--|--|--------------------------------|-------------------|
| Dispersion | Dispersion scope | Concentration of interest | | ppm |
| | | Averaging time for concentration of interest | | |
| | | Specify user-defined averaging time | No | |
| | | User defined averaging time | | s |
| | Distances of interest | Distances of interest | | m |
| | Averaging time for reports | ERPG [1 hr] | No | |
| | | IDLH [30 mins] | No | |
| | | STEL [15 mins] | No | |
| Bund, building and terrain | Terrain and bund definition | Type of terrain for dispersion | Land | |
| | | Type of pool substrate and bunds | Concrete, no bund | |
| | Building definition | Release building | | |
| | | In-building release? | Outdoor | |
| | | Building wake effect | Roof/lee | |
| | | Wind or release angle from North | 0 deg | |
| | | Handling of droplets | Trapped | |
| | | Indoor mass modification factor | 3 | |
| Explosion parameters | Explosion method (Consequence calculations only) | Explosion method | Multi-Energy: Uniform confined | |
| | Ignition | Supply late ignition location | No ignition location | |
| | | Location of late ignition | | m |
| | Vapour liquid method | Use explosion mass modification factor | Yes | |
| | | Explosion mass modification factor | 3 | |
| Fireball | Result types to calculate | Calculate probit | No | |
| | | Calculate dose | No | |
| | | Calculate lethality | No | |
| | Radiation levels | Number of input radiation levels | 3 | |
| | | Intensity levels | 4; 12,5; 37,5 | kW/m ² |
| | | Probit levels | 2,73; 3,72; 7,5 | |
| | | Dose levels | 1,27E+06; 5,8E+06; 2,51E+07 | |
| | | Lethality levels | 0,01; 0,1; 0,99 | fraction |
| | Parameters | Mass modification factor | 3 | |

| | | | | |
|-----------|---------------------------|---|-----------------------------|-------------------|
| | | Fireball maximum exposure duration | 20 | s |
| | Calculation method | Fireball model | Martinsen time varying | |
| | | TNO model flame temperature | 1726,85 | degC |
| Jet fire | Jet fire method | Jet fire method | Cone model | |
| | Result types to calculate | Calculate probit | No | |
| | | Calculate dose | No | |
| | | Calculate lethality | No | |
| | Radiation levels | Number of input radiation levels | 3 | |
| | | Intensity levels | 4; 12,5; 37,5 | kW/m ² |
| | | Probit levels | 2,73; 3,72; 7,5 | |
| | | Dose levels | 1,27E+06; 5,8E+06; 2,51E+07 | |
| | | Lethality levels | 0,01; 0,1; 0,99 | fraction |
| | Parameters | Rate modification factor | 3 | |
| | | Jet fire maximum exposure duration | 20 | s |
| | Cone model data | Crosswind angle | 0 | deg |
| | | Horizontal options | Use standard method | |
| | | Correlation | Recommended | |
| | | Flame-shape adjustment if grounded | Yes | |
| | Surface emissive power | Calculation method for surface emissive power | Calculate SEP | |
| | | Flame emissive power | | kW/m ² |
| | | Emissivity fraction | | fraction |
| Pool fire | Result types to calculate | Calculate probit | No | |
| | | Calculate dose | No | |
| | | Calculate lethality | No | |
| | Radiation levels | Number of input radiation levels | 3 | |
| | | Intensity levels | 4; 12,5; 37,5 | kW/m ² |
| | | Probit levels | 2,73; 3,72; 7,5 | |
| | | Dose levels | 1,27E+06; 5,8E+06; 2,51E+07 | |
| | | Lethality levels | 0,01; 0,1; 0,99 | fraction |

| | | | | |
|------------|----------|--------------------------------------|-----|----------|
| Parameters | | Radiative fraction for general fires | 0,4 | fraction |
| | | Pool fire maximum exposure duration | 20 | s |
| Geometry | Geometry | East | 0 | m |
| | | North | 0 | m |

Torchère

Short pipe

SEPTEME_Phast model2\SEPTEME EDD\Rejet Torchère - H2S

| Tab | Group | Field | Value | Units |
|----------------------|----------------------------|--|--------------------------|-------|
| Scenario | Scenario | Scenario type | Disc rupture | |
| | Pipe dimensions | Pipe internal diameter | 1420 | mm |
| | | Pipe length | 6,5 | m |
| | Hole | Orifice diameter | | mm |
| | Release location | Elevation | 7,5 | m |
| | | Tank head | 0 | m |
| | Flow control | Flow controller | None | |
| | | Input option | Not applicable | |
| | | Fixed flow rate | | kg/s |
| | | Pump head | | m |
| | Direction | Outdoor release direction | Vertical | |
| | | Outdoor release angle | 90 | deg |
| Material | Material | Material characteristics | Flammable only | |
| | | Material to track | Biogaz | |
| | | Type of risk effects to model | Flammable only | |
| | Phase | Phase to be released | Vapour | |
| Discharge parameters | Model settings | Atmospheric expansion method | DNV GL recommended | |
| | Droplet break-up mechanism | Droplet break-up mechanism - instantaneous | Use flashing correlation | |
| | | Droplet break-up mechanism - continuous | Do not force correlation | |
| Short pipe | Pipe characteristics | Pipe roughness | 0,045 | mm |
| | Frequencies | Frequency of bends in pipe | 0 | /m |
| | | Frequency of couplings in pipe | 0 | /m |

| | | | | |
|----------------------------|-----------------------------|--|----------------------------|----------|
| | | Frequency of junctions in pipe | 0 | /m |
| | Frequencies of valves | Frequency of excess flow valves | 0 | /m |
| | | Frequency of non-return valves | 0 | /m |
| | | Frequency of shut-off valves | 0 | /m |
| | Velocity head losses | Excess flow valve velocity head losses | 0 | |
| | | Non-return valve velocity head losses | 0 | |
| | | Shut-off valve velocity head losses | 0 | |
| Dispersion | Dispersion scope | Concentration of interest | 68286,2 | ppm |
| | | Averaging time for concentration of interest | User-defined | |
| | | Specify user-defined averaging time | Yes | |
| | | User defined averaging time | 600 | s |
| | Distances of interest | Distances of interest | | m |
| | Averaging time for reports | ERPG [1 hr] | No | |
| | | IDLH [30 mins] | No | |
| | | STEL [15 mins] | No | |
| Bund, building and terrain | Terrain and bund definition | Type of terrain for dispersion | Land | |
| | | Type of pool substrate and bunds | Concrete, no bund | |
| Explosion parameters | Explosion method | Explosion method | Multi-Energy: User-defined | |
| | Ignition | Supply late ignition location | No ignition location | |
| | | Location of late ignition | | m |
| | Vapour liquid method | Use explosion mass modification factor | Yes | |
| | | Explosion mass modification factor | 3 | |
| Multi-Energy | Multi-Energy: User-defined | Unconfined explosion strength | 4 | |
| | | Unconfined explosion efficiency | 100 | % |
| | Confined explosion sources | Number of confined sources | 0 | |
| | | Option for specifying size of confined sources | Use volumes | |
| | | Strength of confined source | | |
| | | Volume of confined source | | m3 |
| | | Volume fraction of confined source | | fraction |
| Fireball | Result types to calculate | Calculate probit | No | |

| | | | | |
|-----------|---------------------------|---|--------------------------------|-------------------|
| | | Calculate dose | No | |
| | | Calculate lethality | No | |
| | Radiation levels | Number of input radiation levels | 3 | |
| | | Intensity levels | 4; 12,5; 37,5 | kW/m ² |
| | | Probit levels | 2,73; 3,72; 7,5 | |
| | | Dose levels | 1,27E+06; 5,8E+06; 2,51E+07 | |
| | | Lethality levels | 0,01; 0,1; 0,99 | fraction |
| | Parameters | Mass modification factor | 3 | |
| | | Fireball maximum exposure duration | 20 | s |
| | Calculation method | Fireball model | Martinsen time varying | |
| | | TNO model flame temperature | 1726,85 | degC |
| Jet fire | Jet fire method | Jet fire method | Cone model | |
| | Result types to calculate | Calculate probit | No | |
| | | Calculate dose | No | |
| | | Calculate lethality | No | |
| | Radiation levels | Number of input radiation levels | 3 | |
| | | Intensity levels | 4; 12,5; 37,5 | kW/m ² |
| | | Probit levels | 2,73; 3,72; 7,5 | |
| | | Dose levels | 1,27E+06; 5,8E+06; 2,51E+07 | |
| | | Lethality levels | 0,01; 0,1; 0,99 | fraction |
| | Parameters | Rate modification factor | 3 | |
| | | Jet fire maximum exposure duration | 20 | s |
| | Cone model data | Correlation | Recommended | |
| | | Horizontal options | Use standard method | |
| | | Flame-shape adjustment if grounded | Yes | |
| | Surface emissive power | Calculation method for surface emissive power | Calculate SEP | |
| | | Flame emissive power | | kW/m ² |
| | | Emissivity fraction | | fraction |
| Pool fire | Result types to calculate | Calculate probit | No | |

| | | | | |
|--|------------------|--------------------------------------|--------------------------------|-----------------------|
| | | Calculate dose | No | |
| | | Calculate lethality | No | |
| | Radiation levels | Number of input radiation levels | 3 | |
| | | Intensity levels | 4; 12,5; 37,5 | kW/ m ² |
| | | Probit levels | 2,73; 3,72; 7,5 | |
| | | Dose levels | 1,27E+06; 5,8E+06; 2,51E+07 | |
| | | Lethality levels | 0,01; 0,1; 0,99 | fraction |
| | Parameters | Radiative fraction for general fires | 0,4 | fraction |
| | | Pool fire maximum exposure duration | 20 | s |

Input Report

Workspace: SEPTEME_Phast model2

SEPTEME EDD

Study

SEPTEME_Phast model2

| Tab | Group | Field | Value | Units |
|----------------------------|-----------------------------|--|-------------------------|-------|
| Context of calculations | Selection of context | Weathers to use for this study | Weather folder | |
| | | Parameters to use for this study | Parameter set | |
| | | Obstructions to use for this study | | |
| Bund, building and terrain | Terrain and bund definition | Type of terrain for dispersion | Land | |
| | | Type of pool substrate and bunds | Concrete, no bund | |
| Toxic parameters | Indoor toxic calculations | Specify the downwind building type | Unselected | |
| | | Building type (downwind building type) | Buildings\Building type | |
| Dispersion | Distances of interest | Distances of interest | | m |

Explosion aval surpresseur - BIOGAZ

Pressure vessel

SEPTEME_Phast model2\SEPTEME EDD

| Tab | Group | Field | Value | Units |
|----------|----------|---------------------------|----------------------|----------|
| Material | Material | Material | Biogaz | |
| | | Specify volume inventory? | No | |
| | | Mass inventory | 500 | kg |
| | | Volume inventory | 425,877 | m3 |
| | | Material to track | Biogaz | |
| | Phase | Specified condition | Pressure/temperature | |
| | | Temperature | 15 | degC |
| | | Pressure (gauge) | 0,2 | bar |
| | | Fluid state | Vapour | |
| | | Liquid mole fraction | 0 | fraction |



| | | | | |
|-----------------------|---|--|---|-----|
| Scenario | Pipe dimensions | Pipe length | 10 | m |
| | Release location | Elevation | 2 | m |
| | | Tank head | 0 | m |
| | Direction | Outdoor release direction | Horizontal | |
| | | Outdoor release angle | 0 | deg |
| Discharge parameters | Model settings | Atmospheric expansion method | DNV GL recommended | |
| | | Phase change upstream of orifice? | Disallow liquid phase change only (metastable liquid) | |
| | Droplet break-up mechanism | Droplet break-up mechanism - instantaneous | Use flashing correlation | |
| | | Droplet break-up mechanism - continuous | Do not force correlation | |
| Short pipe | Pipe characteristics | Pipe roughness | 0,045 | mm |
| | Frequencies | Frequency of bends in pipe | 0 | /m |
| | | Frequency of couplings in pipe | 0 | /m |
| | | Frequency of junctions in pipe | 0 | /m |
| | Frequencies of valves | Frequency of excess flow valves | 0 | /m |
| | | Frequency of non-return valves | 0 | /m |
| | | Frequency of shut-off valves | 0 | /m |
| | Velocity head losses | Excess flow valve velocity head losses | 0 | |
| | | Non-return valve velocity head losses | 0 | |
| | | Shut-off valve velocity head losses | 0 | |
| Time varying releases | Modelling of time-varying leaks and line ruptures | Vacuum relief valve | Operating | |
| | | Vacuum relief valve set point | 0 | bar |
| | Inventory data for time-varying releases | Tank volume | 425,877 | m3 |
| | | Tank vapour volume | 425,877 | m3 |
| | | Tank liquid volume | 0 | m3 |
| | | Tank liquid level | 0 | m |
| | | Maximum vapour release height | | m |
| | | Minimum mass inventory | 0,1 | kg |
| | | Maximum mass inventory | 1E+09 | kg |
| | Safety system modelling for time-varying releases | Safety system modelling (isolation and blowdown) | No | |

| | | | | |
|----------------------------|--|--|--------------------------------|-------------------|
| Dispersion | Dispersion scope | Concentration of interest | | ppm |
| | | Averaging time for concentration of interest | | |
| | | Specify user-defined averaging time | No | |
| | | User defined averaging time | | s |
| | Distances of interest | Distances of interest | | m |
| | Averaging time for reports | ERPG [1 hr] | No | |
| | | IDLH [30 mins] | No | |
| | | STEL [15 mins] | No | |
| Bund, building and terrain | Terrain and bund definition | Type of terrain for dispersion | Land | |
| | | Type of pool substrate and bunds | Concrete, no bund | |
| | Building definition | Release building | | |
| | | In-building release? | Outdoor | |
| | | Building wake effect | Roof/lee | |
| | | Wind or release angle from North | 0 | deg |
| | | Handling of droplets | Trapped | |
| | | Indoor mass modification factor | 3 | |
| Explosion parameters | Explosion method (Consequence calculations only) | Explosion method | Multi-Energy: Uniform confined | |
| | Ignition | Supply late ignition location | No ignition location | |
| | | Location of late ignition | | m |
| | Vapour liquid method | Use explosion mass modification factor | Yes | |
| | | Explosion mass modification factor | 3 | |
| Fireball | Result types to calculate | Calculate probit | No | |
| | | Calculate dose | No | |
| | | Calculate lethality | No | |
| | Radiation levels | Number of input radiation levels | 3 | |
| | | Intensity levels | 4; 12,5; 37,5 | kW/m ² |
| | | Probit levels | 2,73; 3,72; 7,5 | |
| | | Dose levels | 1,27E+06; 5,8E+06; 2,51E+07 | |
| | | Lethality levels | 0,01; 0,1; 0,99 | fraction |
| | Parameters | Mass modification factor | 3 | |

| | | | | |
|-----------|---------------------------|---|--------------------------------|-----------|
| | | Fireball maximum exposure duration | 20 | s |
| | Calculation method | Fireball model | Martinsen time varying | |
| | | TNO model flame temperature | 1726,85 | degC |
| Jet fire | Jet fire method | Jet fire method | Cone model | |
| | Result types to calculate | Calculate probit | No | |
| | | Calculate dose | No | |
| | | Calculate lethality | No | |
| | Radiation levels | Number of input radiation levels | 3 | |
| | | Intensity levels | 3; 5; 8 | kW/ m2 |
| | | Probit levels | 2,73; 3,72; 7,5 | |
| | | Dose levels | 1,27E+06; 5,8E+06; 2,51E+07 | |
| | | Lethality levels | 0,01; 0,1; 0,99 | fraction |
| | Parameters | Rate modification factor | 3 | |
| | | Jet fire maximum exposure duration | 20 | s |
| | Cone model data | Crosswind angle | 0 | deg |
| | | Horizontal options | Use standard method | |
| | | Correlation | Recommended | |
| | | Flame-shape adjustment if grounded | Yes | |
| | Surface emissive power | Calculation method for surface emissive power | Calculate SEP | |
| | | Flame emissive power | | kW/ m2 |
| | | Emissivity fraction | | fraction |
| Pool fire | Result types to calculate | Calculate probit | No | |
| | | Calculate dose | No | |
| | | Calculate lethality | No | |
| | Radiation levels | Number of input radiation levels | 3 | |
| | | Intensity levels | 4; 12,5; 37,5 | kW/ m2 |
| | | Probit levels | 2,73; 3,72; 7,5 | |
| | | Dose levels | 1,27E+06; 5,8E+06; 2,51E+07 | |
| | | Lethality levels | 0,01; 0,1; 0,99 | fraction |

| Parameters | | Radiative fraction for general fires | 0,4 | fraction |
|------------|----------|--------------------------------------|-----|----------|
| | | Pool fire maximum exposure duration | 20 | s |
| Geometry | Geometry | East | 0 | m |
| | | North | 0 | m |

Brèche 50 mm

Short pipe

SEPTEME_Phast model2\SEPTEME EDD\Explosion aval surpresseur - BIOGAZ

| Tab | Group | Field | Value | Units |
|----------------------|----------------------------|--|--------------------------|-------|
| Scenario | Scenario | Scenario type | Relief valve | |
| | Pipe dimensions | Pipe internal diameter | 250 | mm |
| | | Pipe length | 10 | m |
| | Hole | Orifice diameter | 50 | mm |
| | Release location | Elevation | 2 | m |
| | | Tank head | 0 | m |
| | Flow control | Flow controller | None | |
| | | Input option | Not applicable | |
| | | Fixed flow rate | | kg/s |
| | | Pump head | | m |
| | Direction | Outdoor release direction | Horizontal | |
| | | Outdoor release angle | 0 | deg |
| Material | Material | Material characteristics | Flammable only | |
| | | Material to track | Biogaz | |
| | | Type of risk effects to model | Flammable only | |
| | Phase | Phase to be released | Vapour | |
| Discharge parameters | Model settings | Atmospheric expansion method | DNV GL recommended | |
| | Droplet break-up mechanism | Droplet break-up mechanism - instantaneous | Use flashing correlation | |
| | | Droplet break-up mechanism - continuous | Do not force correlation | |
| Short pipe | Pipe characteristics | Pipe roughness | 0,045 | mm |
| | Frequencies | Frequency of bends in pipe | 0 | /m |
| | | Frequency of couplings in pipe | 0 | /m |

| | | | | |
|----------------------------|-----------------------------|--|----------------------------|----------|
| | | Frequency of junctions in pipe | 0 | /m |
| | Frequencies of valves | Frequency of excess flow valves | 0 | /m |
| | | Frequency of non-return valves | 0 | /m |
| | | Frequency of shut-off valves | 0 | /m |
| | Velocity head losses | Excess flow valve velocity head losses | 0 | |
| | | Non-return valve velocity head losses | 0 | |
| | | Shut-off valve velocity head losses | 0 | |
| Dispersion | Dispersion scope | Concentration of interest | | ppm |
| | | Averaging time for concentration of interest | | |
| | | Specify user-defined averaging time | No | |
| | | User defined averaging time | | s |
| | Distances of interest | Distances of interest | | m |
| | Averaging time for reports | ERPG [1 hr] | No | |
| | | IDLH [30 mins] | No | |
| | | STEL [15 mins] | No | |
| Bund, building and terrain | Terrain and bund definition | Type of terrain for dispersion | Land | |
| | | Type of pool substrate and bunds | Concrete, no bund | |
| Explosion parameters | Explosion method | Explosion method | Multi-Energy: User-defined | |
| | Ignition | Supply late ignition location | No ignition location | |
| | | Location of late ignition | | m |
| | Vapour liquid method | Use explosion mass modification factor | Yes | |
| | | Explosion mass modification factor | 3 | |
| Multi-Energy | Multi-Energy: User-defined | Unconfined explosion strength | 5 | |
| | | Unconfined explosion efficiency | 100 | % |
| | Confined explosion sources | Number of confined sources | 0 | |
| | | Option for specifying size of confined sources | Use volumes | |
| | | Strength of confined source | | |
| | | Volume of confined source | | m3 |
| | | Volume fraction of confined source | | fraction |
| Fireball | Result types to calculate | Calculate probit | No | |

| | | | | |
|-----------|---------------------------|---|-----------------------------|-------------------|
| | | Calculate dose | No | |
| | | Calculate lethality | No | |
| | Radiation levels | Number of input radiation levels | 3 | |
| | | Intensity levels | 4; 12,5; 37,5 | kW/m ² |
| | | Probit levels | 2,73; 3,72; 7,5 | |
| | | Dose levels | 1,27E+06; 5,8E+06; 2,51E+07 | |
| | | Lethality levels | 0,01; 0,1; 0,99 | fraction |
| | Parameters | Mass modification factor | 3 | |
| | | Fireball maximum exposure duration | 20 | s |
| | Calculation method | Fireball model | Martinsen time varying | |
| | | TNO model flame temperature | 1726,85 | degC |
| Jet fire | Jet fire method | Jet fire method | Cone model | |
| | Result types to calculate | Calculate probit | No | |
| | | Calculate dose | No | |
| | | Calculate lethality | No | |
| | Radiation levels | Number of input radiation levels | 3 | |
| | | Intensity levels | 3; 5; 8 | kW/m ² |
| | | Probit levels | 2,73; 3,72; 7,5 | |
| | | Dose levels | 1,27E+06; 5,8E+06; 2,51E+07 | |
| | | Lethality levels | 0,01; 0,1; 0,99 | fraction |
| | Parameters | Rate modification factor | 3 | |
| | | Jet fire maximum exposure duration | 20 | s |
| | Cone model data | Correlation | Recommended | |
| | | Horizontal options | Use standard method | |
| | | Flame-shape adjustment if grounded | Yes | |
| | Surface emissive power | Calculation method for surface emissive power | Calculate SEP | |
| | | Flame emissive power | | kW/m ² |
| | | Emissivity fraction | | fraction |
| Pool fire | Result types to calculate | Calculate probit | No | |

| | | | | |
|--|------------------|--------------------------------------|--------------------------------|-------------------|
| | | Calculate dose | No | |
| | | Calculate lethality | No | |
| | Radiation levels | Number of input radiation levels | 3 | |
| | | Intensity levels | 4; 12,5; 37,5 | kW/m ² |
| | | Probit levels | 2,73; 3,72; 7,5 | |
| | | Dose levels | 1,27E+06; 5,8E+06; 2,51E+07 | |
| | | Lethality levels | 0,01; 0,1; 0,99 | fraction |
| | Parameters | Radiative fraction for general fires | 0,4 | fraction |
| | | Pool fire maximum exposure duration | 20 | s |

Input Report

Workspace: SEPTEME_Phast model2

SEPTEME EDD

Study

SEPTEME_Phast model2

| Tab | Group | Field | Value | Units |
|----------------------------|-----------------------------|--|-------------------------|-------|
| Context of calculations | Selection of context | Weathers to use for this study | Weather folder | |
| | | Parameters to use for this study | Parameter set | |
| | | Obstructions to use for this study | | |
| Bund, building and terrain | Terrain and bund definition | Type of terrain for dispersion | Land | |
| | | Type of pool substrate and bunds | Concrete, no bund | |
| Toxic parameters | Indoor toxic calculations | Specify the downwind building type | Unselected | |
| | | Building type (downwind building type) | Buildings\Building type | |
| Dispersion | Distances of interest | Distances of interest | | m |

Explosions BIOGAZ

Pressure vessel

SEPTEME_Phast model2\SEPTEME EDD

| Tab | Group | Field | Value | Units |
|----------|----------|---------------------------|----------------------|----------|
| Material | Material | Material | Biogaz | |
| | | Specify volume inventory? | Yes | |
| | | Mass inventory | 111,647 | kg |
| | | Volume inventory | 113,8 | m3 |
| | | Material to track | Biogaz | |
| | Phase | Specified condition | Pressure/temperature | |
| | | Temperature | 15 | degC |
| | | Pressure (gauge) | 0,001 | bar |
| | | Fluid state | Vapour | |
| | | Liquid mole fraction | 0 | fraction |



| | | | | |
|-----------------------|---|--|---|-----|
| Scenario | Pipe dimensions | Pipe length | 0,1 | m |
| | Release location | Elevation | 1 | m |
| | | Tank head | 0 | m |
| | Direction | Outdoor release direction | Horizontal | |
| | | Outdoor release angle | 0 | deg |
| Discharge parameters | Model settings | Atmospheric expansion method | DNV GL recommended | |
| | | Phase change upstream of orifice? | Disallow liquid phase change only (metastable liquid) | |
| | Droplet break-up mechanism | Droplet break-up mechanism - instantaneous | Use flashing correlation | |
| | | Droplet break-up mechanism - continuous | Do not force correlation | |
| Short pipe | Pipe characteristics | Pipe roughness | 0,045 | mm |
| | Frequencies | Frequency of bends in pipe | 0 | /m |
| | | Frequency of couplings in pipe | 0 | /m |
| | | Frequency of junctions in pipe | 0 | /m |
| | Frequencies of valves | Frequency of excess flow valves | 0 | /m |
| | | Frequency of non-return valves | 0 | /m |
| | | Frequency of shut-off valves | 0 | /m |
| | Velocity head losses | Excess flow valve velocity head losses | 0 | |
| | | Non-return valve velocity head losses | 0 | |
| | | Shut-off valve velocity head losses | 0 | |
| Time varying releases | Modelling of time-varying leaks and line ruptures | Vacuum relief valve | Operating | |
| | | Vacuum relief valve set point | 0 | bar |
| | Inventory data for time-varying releases | Tank volume | 113,8 | m3 |
| | | Tank vapour volume | 113,8 | m3 |
| | | Tank liquid volume | 0 | m3 |
| | | Tank liquid level | 0 | m |
| | | Maximum vapour release height | | m |
| | | Minimum mass inventory | 0,1 | kg |
| | | Maximum mass inventory | 1E+09 | kg |
| | Safety system modelling for time-varying releases | Safety system modelling (isolation and blowdown) | No | |

| | | | | |
|----------------------------|--|--|--------------------------------|-------------------|
| Dispersion | Dispersion scope | Concentration of interest | | ppm |
| | | Averaging time for concentration of interest | | |
| | | Specify user-defined averaging time | No | |
| | | User defined averaging time | | s |
| | Distances of interest | Distances of interest | | m |
| | Averaging time for reports | ERPG [1 hr] | No | |
| | | IDLH [30 mins] | No | |
| | | STEL [15 mins] | No | |
| Bund, building and terrain | Terrain and bund definition | Type of terrain for dispersion | Land | |
| | | Type of pool substrate and bunds | Concrete, no bund | |
| | Building definition | Release building | | |
| | | In-building release? | Outdoor | |
| | | Building wake effect | Roof/lee | |
| | | Wind or release angle from North | 0 deg | |
| | | Handling of droplets | Trapped | |
| | | Indoor mass modification factor | 3 | |
| Explosion parameters | Explosion method (Consequence calculations only) | Explosion method | Multi-Energy: Uniform confined | |
| | Ignition | Supply late ignition location | No ignition location | |
| | | Location of late ignition | | m |
| | Vapour liquid method | Use explosion mass modification factor | Yes | |
| | | Explosion mass modification factor | 3 | |
| Fireball | Result types to calculate | Calculate probit | No | |
| | | Calculate dose | No | |
| | | Calculate lethality | No | |
| | Radiation levels | Number of input radiation levels | 3 | |
| | | Intensity levels | 4; 12,5; 37,5 | kW/m ² |
| | | Probit levels | 2,73; 3,72; 7,5 | |
| | | Dose levels | 1,27E+06; 5,8E+06; 2,51E+07 | |
| | | Lethality levels | 0,01; 0,1; 0,99 | fraction |
| | Parameters | Mass modification factor | 3 | |

| | | | | |
|-----------|---------------------------|---|-----------------------------|-------------------|
| | | Fireball maximum exposure duration | 20 | s |
| | Calculation method | Fireball model | Martinsen time varying | |
| | | TNO model flame temperature | 1726,85 | degC |
| Jet fire | Jet fire method | Jet fire method | Cone model | |
| | Result types to calculate | Calculate probit | No | |
| | | Calculate dose | No | |
| | | Calculate lethality | No | |
| | Radiation levels | Number of input radiation levels | 3 | |
| | | Intensity levels | 3; 5; 8 | kW/m ² |
| | | Probit levels | 2,73; 3,72; 7,5 | |
| | | Dose levels | 1,27E+06; 5,8E+06; 2,51E+07 | |
| | | Lethality levels | 0,01; 0,1; 0,99 | fraction |
| | Parameters | Rate modification factor | 3 | |
| | | Jet fire maximum exposure duration | 20 | s |
| | Cone model data | Crosswind angle | 0 | deg |
| | | Horizontal options | Use standard method | |
| | | Correlation | Recommended | |
| | | Flame-shape adjustment if grounded | Yes | |
| | Surface emissive power | Calculation method for surface emissive power | Calculate SEP | |
| | | Flame emissive power | | kW/m ² |
| | | Emissivity fraction | | fraction |
| Pool fire | Result types to calculate | Calculate probit | No | |
| | | Calculate dose | No | |
| | | Calculate lethality | No | |
| | Radiation levels | Number of input radiation levels | 3 | |
| | | Intensity levels | 4; 12,5; 37,5 | kW/m ² |
| | | Probit levels | 2,73; 3,72; 7,5 | |
| | | Dose levels | 1,27E+06; 5,8E+06; 2,51E+07 | |
| | | Lethality levels | 0,01; 0,1; 0,99 | fraction |

| | | | | |
|------------|----------|--------------------------------------|-----|----------|
| Parameters | | Radiative fraction for general fires | 0,4 | fraction |
| | | Pool fire maximum exposure duration | 20 | s |
| Geometry | Geometry | East | 0 | m |
| | | North | 0 | m |

Rupture Réseau biogaz

Short pipe

SEPTEME_Phast model2\SEPTEME EDD\Explosions BIOGAZ

| Tab | Group | Field | Value | Units |
|----------------------|----------------------------|--|--------------------------|-------|
| Scenario | Scenario | Scenario type | Disc rupture | |
| | Pipe dimensions | Pipe internal diameter | 355 | mm |
| | | Pipe length | 0,1 | m |
| | Hole | Orifice diameter | | mm |
| | Release location | Elevation | 1 | m |
| | | Tank head | 0 | m |
| | Flow control | Flow controller | None | |
| | | Input option | Not applicable | |
| | | Fixed flow rate | | kg/s |
| | | Pump head | | m |
| | Direction | Outdoor release direction | Horizontal | |
| | | Outdoor release angle | 0 | deg |
| Material | Material | Material characteristics | Flammable only | |
| | | Material to track | Biogaz | |
| | | Type of risk effects to model | Flammable only | |
| | Phase | Phase to be released | Vapour | |
| Discharge parameters | Model settings | Atmospheric expansion method | DNV GL recommended | |
| | Droplet break-up mechanism | Droplet break-up mechanism - instantaneous | Use flashing correlation | |
| | | Droplet break-up mechanism - continuous | Do not force correlation | |
| Short pipe | Pipe characteristics | Pipe roughness | 0,045 | mm |
| | Frequencies | Frequency of bends in pipe | 0 | /m |
| | | Frequency of couplings in pipe | 0 | /m |

| | | | | |
|----------------------------|-----------------------------|--|--------------------------------|-------------------|
| | | Frequency of junctions in pipe | 0 | /m |
| | Frequencies of valves | Frequency of excess flow valves | 0 | /m |
| | | Frequency of non-return valves | 0 | /m |
| | | Frequency of shut-off valves | 0 | /m |
| | Velocity head losses | Excess flow valve velocity head losses | 0 | |
| | | Non-return valve velocity head losses | 0 | |
| | | Shut-off valve velocity head losses | 0 | |
| Dispersion | Dispersion scope | Concentration of interest | | ppm |
| | | Averaging time for concentration of interest | | |
| | | Specify user-defined averaging time | No | |
| | | User defined averaging time | | s |
| | Distances of interest | Distances of interest | | m |
| | Averaging time for reports | ERPG [1 hr] | No | |
| | | IDLH [30 mins] | No | |
| | | STEL [15 mins] | No | |
| Bund, building and terrain | Terrain and bund definition | Type of terrain for dispersion | Land | |
| | | Type of pool substrate and bunds | Concrete, no bund | |
| Explosion parameters | Explosion method | Explosion method | Multi-Energy: Uniform confined | |
| | Ignition | Supply late ignition location | No ignition location | |
| | | Location of late ignition | | m |
| | Vapour liquid method | Use explosion mass modification factor | Yes | |
| | | Explosion mass modification factor | 3 | |
| Fireball | Result types to calculate | Calculate probit | No | |
| | | Calculate dose | No | |
| | | Calculate lethality | No | |
| | Radiation levels | Number of input radiation levels | 3 | |
| | | Intensity levels | 4; 12,5; 37,5 | kW/m ² |
| | | Probit levels | 2,73; 3,72; 7,5 | |
| | | Dose levels | 1,27E+06; 5,8E+06; 2,51E+07 | |
| | | Lethality levels | 0,01; 0,1; 0,99 | fraction |

| | | | | |
|-----------|---------------------------|---|-----------------------------|-------------------|
| | Parameters | Mass modification factor | 3 | |
| | | Fireball maximum exposure duration | 20 | s |
| | Calculation method | Fireball model | Martinsen time varying | |
| | | TNO model flame temperature | 1726,85 | degC |
| Jet fire | Jet fire method | Jet fire method | Cone model | |
| | Result types to calculate | Calculate probit | No | |
| | | Calculate dose | No | |
| | | Calculate lethality | No | |
| | Radiation levels | Number of input radiation levels | 3 | |
| | | Intensity levels | 3; 5; 8 | kW/m ² |
| | | Probit levels | 2,73; 3,72; 7,5 | |
| | | Dose levels | 1,27E+06; 5,8E+06; 2,51E+07 | |
| | | Lethality levels | 0,01; 0,1; 0,99 | fraction |
| | Parameters | Rate modification factor | 3 | |
| | | Jet fire maximum exposure duration | 20 | s |
| | Cone model data | Correlation | Recommended | |
| | | Horizontal options | Use standard method | |
| | | Flame-shape adjustment if grounded | Yes | |
| | Surface emissive power | Calculation method for surface emissive power | Calculate SEP | |
| | | Flame emissive power | | kW/m ² |
| | | Emissivity fraction | | fraction |
| Pool fire | Result types to calculate | Calculate probit | No | |
| | | Calculate dose | No | |
| | | Calculate lethality | No | |
| | Radiation levels | Number of input radiation levels | 3 | |
| | | Intensity levels | 4; 12,5; 37,5 | kW/m ² |
| | | Probit levels | 2,73; 3,72; 7,5 | |
| | | Dose levels | 1,27E+06; 5,8E+06; 2,51E+07 | |
| | | Lethality levels | 0,01; 0,1; 0,99 | fraction |

| | | | | |
|--|------------|--------------------------------------|-----|----------|
| | Parameters | Radiative fraction for general fires | 0,4 | fraction |
| | | Pool fire maximum exposure duration | 20 | s |

Input Report

Workspace: SEPTEME_Phast model2

SEPTEME EDD

Study

SEPTEME_Phast model2

| Tab | Group | Field | Value | Units |
|----------------------------|-----------------------------|--|-------------------------|-------|
| Context of calculations | Selection of context | Weathers to use for this study | Weather folder | |
| | | Parameters to use for this study | Parameter set | |
| | | Obstructions to use for this study | | |
| Bund, building and terrain | Terrain and bund definition | Type of terrain for dispersion | Land | |
| | | Type of pool substrate and bunds | Concrete, no bund | |
| Toxic parameters | Indoor toxic calculations | Specify the downwind building type | Unselected | |
| | | Building type (downwind building type) | Buildings\Building type | |
| Dispersion | Distances of interest | Distances of interest | | m |

Explosion Torchère

Pressure vessel

SEPTEME_Phast model2\SEPTEME EDD

| Tab | Group | Field | Value | Units |
|----------|----------|---------------------------|----------------------|----------|
| Material | Material | Material | Biogaz | |
| | | Specify volume inventory? | No | |
| | | Mass inventory | 0,5 | kg |
| | | Volume inventory | 0,518552 | m3 |
| | | Material to track | Biogaz | |
| | Phase | Specified condition | Pressure/temperature | |
| | | Temperature | 20 | degC |
| | | Pressure (gauge) | 0,001 | bar |
| | | Fluid state | Vapour | |
| | | Liquid mole fraction | 0 | fraction |



| | | | | |
|-----------------------|---|--|---|-----|
| Scenario | Pipe dimensions | Pipe length | 6,5 | m |
| | Release location | Elevation | 1 | m |
| | | Tank head | 0 | m |
| | Direction | Outdoor release direction | Horizontal | |
| | | Outdoor release angle | 0 | deg |
| Discharge parameters | Model settings | Atmospheric expansion method | DNV GL recommended | |
| | | Phase change upstream of orifice? | Disallow liquid phase change only (metastable liquid) | |
| | Droplet break-up mechanism | Droplet break-up mechanism - instantaneous | Use flashing correlation | |
| | | Droplet break-up mechanism - continuous | Do not force correlation | |
| Short pipe | Pipe characteristics | Pipe roughness | 0,045 | mm |
| | Frequencies | Frequency of bends in pipe | 0 | /m |
| | | Frequency of couplings in pipe | 0 | /m |
| | | Frequency of junctions in pipe | 0 | /m |
| | Frequencies of valves | Frequency of excess flow valves | 0 | /m |
| | | Frequency of non-return valves | 0 | /m |
| | | Frequency of shut-off valves | 0 | /m |
| | Velocity head losses | Excess flow valve velocity head losses | 0 | |
| | | Non-return valve velocity head losses | 0 | |
| | | Shut-off valve velocity head losses | 0 | |
| Time varying releases | Modelling of time-varying leaks and line ruptures | Vacuum relief valve | Operating | |
| | | Vacuum relief valve set point | 0 | bar |
| | Inventory data for time-varying releases | Tank volume | 0,518553 | m3 |
| | | Tank vapour volume | 0,518552 | m3 |
| | | Tank liquid volume | 0 | m3 |
| | | Tank liquid level | 0 | m |
| | | Maximum vapour release height | | m |
| | | Minimum mass inventory | 0,1 | kg |
| | | Maximum mass inventory | 1E+09 | kg |
| | Safety system modelling for time-varying releases | Safety system modelling (isolation and blowdown) | No | |

| | | | | |
|----------------------------|--|--|--------------------------------|-------------------|
| Dispersion | Dispersion scope | Concentration of interest | | ppm |
| | | Averaging time for concentration of interest | | |
| | | Specify user-defined averaging time | No | |
| | | User defined averaging time | | s |
| | Distances of interest | Distances of interest | | m |
| | Averaging time for reports | ERPG [1 hr] | No | |
| | | IDLH [30 mins] | No | |
| | | STEL [15 mins] | No | |
| Bund, building and terrain | Terrain and bund definition | Type of terrain for dispersion | Land | |
| | | Type of pool substrate and bunds | Concrete, no bund | |
| | Building definition | Release building | | |
| | | In-building release? | Outdoor | |
| | | Building wake effect | Roof/lee | |
| | | Wind or release angle from North | 0 deg | |
| | | Handling of droplets | Trapped | |
| | | Indoor mass modification factor | 3 | |
| Explosion parameters | Explosion method (Consequence calculations only) | Explosion method | Multi-Energy: Uniform confined | |
| | Ignition | Supply late ignition location | No ignition location | |
| | | Location of late ignition | | m |
| | Vapour liquid method | Use explosion mass modification factor | Yes | |
| | | Explosion mass modification factor | 3 | |
| Fireball | Result types to calculate | Calculate probit | No | |
| | | Calculate dose | No | |
| | | Calculate lethality | No | |
| | Radiation levels | Number of input radiation levels | 3 | |
| | | Intensity levels | 4; 12,5; 37,5 | kW/m ² |
| | | Probit levels | 2,73; 3,72; 7,5 | |
| | | Dose levels | 1,27E+06; 5,8E+06; 2,51E+07 | |
| | | Lethality levels | 0,01; 0,1; 0,99 | fraction |
| | Parameters | Mass modification factor | 3 | |

| | | | | |
|-----------|---------------------------|---|-----------------------------|-------------------|
| | | Fireball maximum exposure duration | 20 | s |
| | Calculation method | Fireball model | Martinsen time varying | |
| | | TNO model flame temperature | 1726,85 | degC |
| Jet fire | Jet fire method | Jet fire method | Cone model | |
| | Result types to calculate | Calculate probit | No | |
| | | Calculate dose | No | |
| | | Calculate lethality | No | |
| | Radiation levels | Number of input radiation levels | 3 | |
| | | Intensity levels | 4; 12,5; 37,5 | kW/m ² |
| | | Probit levels | 2,73; 3,72; 7,5 | |
| | | Dose levels | 1,27E+06; 5,8E+06; 2,51E+07 | |
| | | Lethality levels | 0,01; 0,1; 0,99 | fraction |
| | Parameters | Rate modification factor | 3 | |
| | | Jet fire maximum exposure duration | 20 | s |
| | Cone model data | Crosswind angle | 0 | deg |
| | | Horizontal options | Use standard method | |
| | | Correlation | Recommended | |
| | | Flame-shape adjustment if grounded | Yes | |
| | Surface emissive power | Calculation method for surface emissive power | Calculate SEP | |
| | | Flame emissive power | | kW/m ² |
| | | Emissivity fraction | | fraction |
| Pool fire | Result types to calculate | Calculate probit | No | |
| | | Calculate dose | No | |
| | | Calculate lethality | No | |
| | Radiation levels | Number of input radiation levels | 3 | |
| | | Intensity levels | 4; 12,5; 37,5 | kW/m ² |
| | | Probit levels | 2,73; 3,72; 7,5 | |
| | | Dose levels | 1,27E+06; 5,8E+06; 2,51E+07 | |
| | | Lethality levels | 0,01; 0,1; 0,99 | fraction |

| | | | | |
|------------|----------|--------------------------------------|-----|----------|
| Parameters | | Radiative fraction for general fires | 0,4 | fraction |
| | | Pool fire maximum exposure duration | 20 | s |
| Geometry | Geometry | East | 0 | m |
| | | North | 0 | m |

Torchère

Short pipe

SEPTEME_Phast model2\SEPTEME EDD\Explosion Torchère

| Tab | Group | Field | Value | Units |
|----------------------|----------------------------|--|--------------------------|-------|
| Scenario | Scenario | Scenario type | Disc rupture | |
| | Pipe dimensions | Pipe internal diameter | 1420 | mm |
| | | Pipe length | 6,5 | m |
| | Hole | Orifice diameter | | mm |
| | Release location | Elevation | 7,5 | m |
| | | Tank head | 0 | m |
| | Flow control | Flow controller | None | |
| | | Input option | Not applicable | |
| | | Fixed flow rate | | kg/s |
| | | Pump head | | m |
| | Direction | Outdoor release direction | Vertical | |
| | | Outdoor release angle | 90 | deg |
| Material | Material | Material characteristics | Flammable only | |
| | | Material to track | Biogaz | |
| | | Type of risk effects to model | Flammable only | |
| | Phase | Phase to be released | Vapour | |
| Discharge parameters | Model settings | Atmospheric expansion method | DNV GL recommended | |
| | Droplet break-up mechanism | Droplet break-up mechanism - instantaneous | Use flashing correlation | |
| | | Droplet break-up mechanism - continuous | Do not force correlation | |
| Short pipe | Pipe characteristics | Pipe roughness | 0,045 | mm |
| | Frequencies | Frequency of bends in pipe | 0 | /m |
| | | Frequency of couplings in pipe | 0 | /m |

| | | | | |
|----------------------------|-----------------------------|--|----------------------------|----------|
| | | Frequency of junctions in pipe | 0 | /m |
| | Frequencies of valves | Frequency of excess flow valves | 0 | /m |
| | | Frequency of non-return valves | 0 | /m |
| | | Frequency of shut-off valves | 0 | /m |
| | Velocity head losses | Excess flow valve velocity head losses | 0 | |
| | | Non-return valve velocity head losses | 0 | |
| | | Shut-off valve velocity head losses | 0 | |
| Dispersion | Dispersion scope | Concentration of interest | 68286,2 | ppm |
| | | Averaging time for concentration of interest | User-defined | |
| | | Specify user-defined averaging time | Yes | |
| | | User defined averaging time | 600 | s |
| | Distances of interest | Distances of interest | | m |
| | Averaging time for reports | ERPG [1 hr] | No | |
| | | IDLH [30 mins] | No | |
| | | STEL [15 mins] | No | |
| Bund, building and terrain | Terrain and bund definition | Type of terrain for dispersion | Land | |
| | | Type of pool substrate and bunds | Concrete, no bund | |
| Explosion parameters | Explosion method | Explosion method | Multi-Energy: User-defined | |
| | Ignition | Supply late ignition location | No ignition location | |
| | | Location of late ignition | | m |
| | Vapour liquid method | Use explosion mass modification factor | Yes | |
| | | Explosion mass modification factor | 3 | |
| Multi-Energy | Multi-Energy: User-defined | Unconfined explosion strength | 4 | |
| | | Unconfined explosion efficiency | 100 | % |
| | Confined explosion sources | Number of confined sources | 0 | |
| | | Option for specifying size of confined sources | Use volumes | |
| | | Strength of confined source | | |
| | | Volume of confined source | | m3 |
| | | Volume fraction of confined source | | fraction |
| Fireball | Result types to calculate | Calculate probit | No | |

| | | | | |
|-----------|---------------------------|---|--------------------------------|-------------------|
| | | Calculate dose | No | |
| | | Calculate lethality | No | |
| | Radiation levels | Number of input radiation levels | 3 | |
| | | Intensity levels | 4; 12,5; 37,5 | kW/m ² |
| | | Probit levels | 2,73; 3,72; 7,5 | |
| | | Dose levels | 1,27E+06; 5,8E+06; 2,51E+07 | |
| | | Lethality levels | 0,01; 0,1; 0,99 | fraction |
| | Parameters | Mass modification factor | 3 | |
| | | Fireball maximum exposure duration | 20 | s |
| | Calculation method | Fireball model | Martinsen time varying | |
| | | TNO model flame temperature | 1726,85 | degC |
| Jet fire | Jet fire method | Jet fire method | Cone model | |
| | Result types to calculate | Calculate probit | No | |
| | | Calculate dose | No | |
| | | Calculate lethality | No | |
| | Radiation levels | Number of input radiation levels | 3 | |
| | | Intensity levels | 4; 12,5; 37,5 | kW/m ² |
| | | Probit levels | 2,73; 3,72; 7,5 | |
| | | Dose levels | 1,27E+06; 5,8E+06; 2,51E+07 | |
| | | Lethality levels | 0,01; 0,1; 0,99 | fraction |
| | Parameters | Rate modification factor | 3 | |
| | | Jet fire maximum exposure duration | 20 | s |
| | Cone model data | Correlation | Recommended | |
| | | Horizontal options | Use standard method | |
| | | Flame-shape adjustment if grounded | Yes | |
| | Surface emissive power | Calculation method for surface emissive power | Calculate SEP | |
| | | Flame emissive power | | kW/m ² |
| | | Emissivity fraction | | fraction |
| Pool fire | Result types to calculate | Calculate probit | No | |

| | | | | |
|--|------------------|--------------------------------------|--------------------------------|-----------------------|
| | | Calculate dose | No | |
| | | Calculate lethality | No | |
| | Radiation levels | Number of input radiation levels | 3 | |
| | | Intensity levels | 4; 12,5; 37,5 | kW/ m ² |
| | | Probit levels | 2,73; 3,72; 7,5 | |
| | | Dose levels | 1,27E+06; 5,8E+06; 2,51E+07 | |
| | | Lethality levels | 0,01; 0,1; 0,99 | fraction |
| | Parameters | Radiative fraction for general fires | 0,4 | fraction |
| | | Pool fire maximum exposure duration | 20 | s |